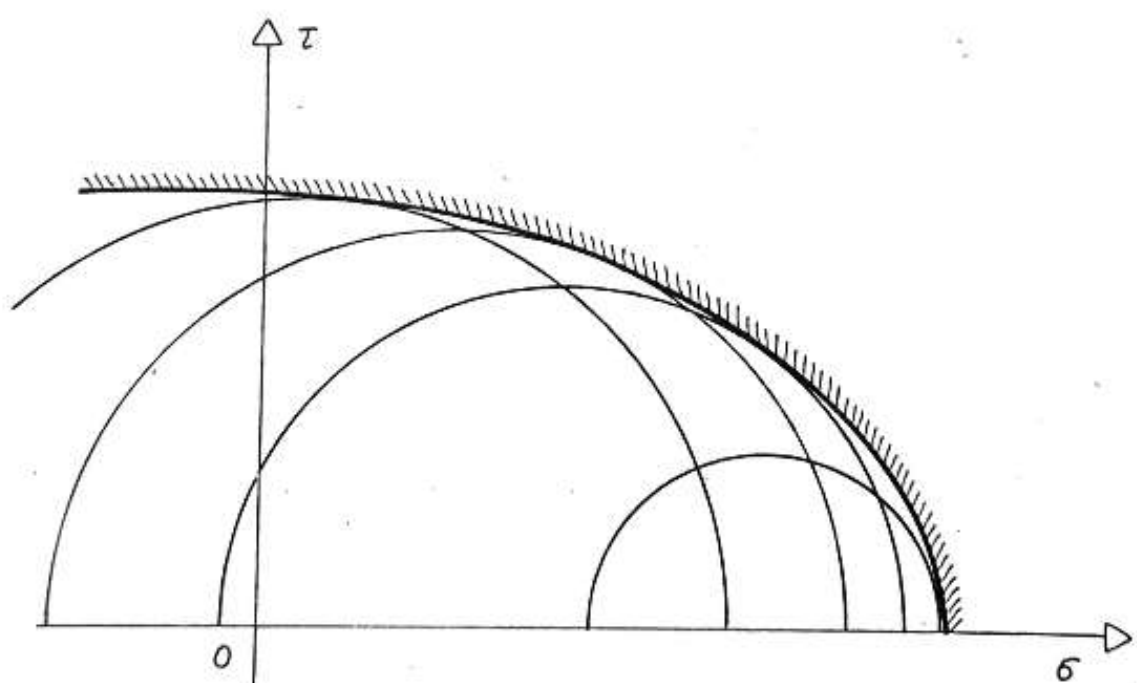


ΦΙΛΟΘΕΟΥ Γ. ΛΟΚΚΑ
Ποδιτικού Μηχανικού
Καθηγητή Σ.Τ.Ε.Φ.
Τ.Ε.Ι. Λαρίσης

ΕΡΓΑΣΤΗΡΙΑΚΑ ΘΕΜΑΤΑ
ΑΝΤΟΧΗΣ ΥΛΙΚΩΝ



ΛΑΡΙΣΑ
Νοέμβριος 1985

ΠΕΡΙΕΧΟΜΕΝΑ

Σελίδα.

Σκοπός τῆς Ανασκόπησης τῶν θηλικῶν	1
Έφελκυσμός	3
Τύποι διαγραμμάτων παραμορφώσεως	8
Θλίψη	9
ΤΟ ΠΕΙΡΑΜΑ ΤΟΥ ΕΦΕΛΚΥΣΜΟΥ	
Κανονισμοί πού διέπουν τις δοκιμές έφελκυσμοῦ	12
Περιγραφή τῆς μυχανῆς έφελκυσμοῦ - Σρόπος Αειτουργίας	13
Μετατροπή τοῦ διαγράμματος ΔΙ-Ρ σε διάγραμμα Σ-6	16
Βρόγχος θετερίσεως	21
Στρέγη	24
Τὸ πείραμα τῆς στρέγης	26
Περιγραφή καὶ ζρόπος Αειτουργίας τῆς μυχανῆς στρέγης	29
Έκσελεψη τοῦ πειράματος	31
ΜΕΤΡΗΣΕΙΣ ΠΑΡΑΜΟΡΦΩΣΕΩΝ	
Άναλυσις καταπονήσεως χαλυβδίνης δοκοῦ διά τῆς χρήσεως δεικτῶν καταπονήσεως ηλεκτρικῆς άντιστάσεως - Γενικά	34
Καθορισμός τοῦ συντελεστοῦ Κ	35
Έκλογή τοῦ αγωγοῦ	37
Χαρακτηριστικά τῶν ταῖνιῶν ζητημάτων - Μέτρησις τοῦ λόγου ΔΙ/Ρ	38
Πειραματικός προβορισμός τῶν μυχανικῶν τάξεων	

διά τῶν ταιριῶν ἐπιμηκύνεως	40
Καθαρή κάμψη	44
Πείραμα ὑπολογισμοῦ ὀρδῶν τάξεων μέ ταιριες ἐπιμηκύνεως - Περιγραφή μηχανῆς	47
Ἐκτέλεση τοῦ πειράματος	49
ΣΚΛΗΡΟΤΗΤΑ	51
Μέδοδος Brinnel	52
Πείραμα σκληρομετρήσεως κατά Brinnel- Περιγραφή τῆς μηχανῆς	57
Ἐκτέλεση τοῦ πειράματος	58
Μέδοδος Rockwell	59
Πείραμα σκληρομετρήσεως κατά Rockwell- Περιγραφή μηχανῆς - ἐκτέλεση πειράματος	62
Δοκιμασία δέ κρουεν κατά Charpy	64
Πείραμα δοκιμασίας δέ κρουεν κατά Charpy. Περιγραφή μηχανῆς - ἐκτέλεση πειράματος	67
ΑΝΑΔΙΠΛΩΣΗ	70
Περιγραφή τῆς μηχανῆς	73
Ἐκτέλεση τοῦ πειράματος	76

Σκοπός τῆς Ἀντοχῆς τῶν ὑλικῶν.

Εἶναι φανερό πώς τα διάφορα ὑλικά που χρησιμοποιοῦμε σήμερα εξίς κατασκευές, δηλαδή τα μέγαλα, τα ζύλα, οἱ πέτρες κ.λ.π. τότε μόνο εἶναι πρακτικά χρήσιμα και ἔχουν πρετοῦν τὸν προορισμό των, θταν δὲν δραύνονται ὑπό τὴν ἐνέργεια τῶν ἐξωτερικῶν δυνάμεων, τὶς ὁποίες καλούνται ναί αναλάβουν, ἀλλά ἀντιτείκονται ἀποτελεθματικά και μάλιστα κατά τετοιον τρόπον ὥστε οἱ ἀναπόρευτες παραμορφώσεις να μήν τοποθετοῦν ὠριζμένα ὄρια, τα ὅποια εἰτε γιαί αἰδηδητικούς εἴτε γιαί κατασκευαστικούς λόγους δαί ἵταν ἀπαράδεκτα επήν πράξη.

Μία δοκός π.χ. που τό βέλος κάμψεως της δαί ἵταν τόσο μεγάλο ὥστε ναί εἶναι ὄρατό, δὲν εἶναι γενικά παραδεκτή στὸν οἰκοδομικὸν κατασκευέ. Ἐπίσημη εἶναι ἄξονας μηχανῆς που ἔπαδε ἔστω μικρή παραμόρφωση ἀπό κάμψη, εἶναι ἀπαράδεκτος γιαί τὴν ἀσφαλῆ λειτουργία τῆς μηχανῆς.

Για τοὺς παραπάνω λόγους εἶναι ἀπαραίτητο ναί ξέρουμε μέχρι ποιό ὄριο μποροῦμε ναί φορτίζουμε ἀκίνδυνα τα διάφορα ὑλικά εξίς διάφορες καταπονήσεις που εἶναι δυνατόν ναί υποβληθοῦν.

Η Ἀντοχὴ τῶν ὑλικῶν ἀπό πρακτικὴ ἀπογη ἔχει κύριως σκοπό:

1. Ναί προβδιορίσει τα ἐπικίνδυνα ὄρια φορτίσεως τῶν διαφόρων ὑλικῶν εἰς ὅλη τὴν δυνατές καταπονήσεις και μέ βάση αὐταί ναί καθορίσει παραδεκτὰ ὄρια φορτίσεως εἰς κάθε περίπτωση.
2. Ναί υπολογίσει τὶς διαστάσεις τῶν μελῶν μιᾶς μηχανῆς ἢ γενικώτερα μιᾶς κατασκευῆς κατά τετοιον τρόπον ὥστε ναί μποροῦν ναί αναλάβουν μή ἀσφαλεῖα, χωρὶς δηλαδή κίνδυνο δράσεως ἢ υπερβολικῶν παραμορφώσεων, τα διδόμενα ἐξωτερικά φορτία.

3. Να υπολογίσει τό μήγερτο φορτίο που έναι δυνατό νά φέρει μί ασφαλία μια δοσμένη κατασκευή, ή νά έλεγχει κατά πόσο αύτή έναι ασφαλής κατώ απ' την ένέργυα δοσμής της φόρτισης (επατικός έλεγχος), ή σίλος νά έλεγχει κατά πόσο οι παραμορφώσεις που θα έκδηλωθουν κατώ απ' την ένέργυα της φόρτισης αύτης, βρίσκονται μέσα στα ανεκτά στοιχεία.

Τό πρώτο πιτζικέντεται μέ πυράματα εις ειδικά Εργαστήρια Αντοχής Υλικῶν, τό δεύτερο και τρίτο πιτζικέντεται γενικά μέ υπολογισμούς ἄλλοτε ἀπλούς και ἄλλοτε μεγάλους και δύσκολους ἀνάλογα μέ τη μορφή τῶν φορτιζόμενων ουμάτων και τό μέδος της καταπονησης ετοίμησια όποια υποβάλλονται.

Στα κεφάλαια που δι' ακολουθίδων δά έξεστάσουμε διάφορες περιττώσεις καταπονήσεως τῶν ουμάτων μέ τις αντίστοιχες έπειζησησεις ή μαθηματικές αναλύσεις.

Η ανάπτυξη (πυραματική) τῶν θεμάτων δά γίνει μέ βάση τόν υπάρχοντα στό Εργαστήριο Αντοχής Υλικῶν τῆς Σ.Τ.Ε.Φ. τοῦ Τ.Ε.Ι. Λάρισας μηχανικό έξοπλιθμό.

Επίσημη ή δεωρητική ανάπτυξη ένός πυράματος προϋποθέτει μερική ή όληκή γνώση τῆς δεωρίας στό αντίστοιχο κεφάλαιο τῆς Αντοχής Υλικῶν.

ΕΦΕΛΚΥΣΜΟΣ

Ο νόμος στην αναλογίαν ανάμεσα στήν έφελκύσουσα δύναμη και τήν έπιμήκυνσην αποτελεῖ μέχρι σήμερα τη βάση των υπολογισμῶν αὐτοχθόνων. Δεν ισχύει όμως, παρά μόνο για ύλικά ίσοδρονα και μέχρι κάποια όριακή στην της φόρτισην που ονομάζεται άριο αναλογία.

Πέραν του άριου αύτου η σχέση ανάμεσα στήν έφελκύσουσα δύναμη και τήν έπιμήκυνσην γίνεται πολυπλοκώσερη.

Τα αποτελέσματα των πειραματικῶν έρευνών για τήν έξακρίβωση των μηχανικῶν ιδιοτήτων των διαφόρων ύλικων μετά από τό άριο αναλογίαν εἰκονογραφούνται ευνήδως εάνα διάγραμμα, τό διότι, έπειδή δείχνει τη συμπεριφορά του δοκιμαζόμενου ύλικου εάν έφελκυσμό, λέγεται διάγραμμα έφελκυσμοῦ.

Τό παρακάτω εχῆμα παριστάνει ένα τυπικό διάγραμμα για τόν καλύβα των σιδηρών κατασκευών.

Η τάση σ και η αντυγμένη έπιμήκυνση ε ανάγονται αντίστοιχα στήν αρχική διατομή F₀ και τό αρχικό μῆκος λ του δοκιμίου.

Οι αντυγμένες έπιμηκύνσεις λαμβάνονται σαν τετραμένες στόν άριζόντιο άξονα, ένω οι αντίστοιχες τάσεις έφελκυσμοῦ λαμβάνονται στόν κατακόρυφο άξονα σαν σεταγμένες στή καλούμενη καμπύλη παραμορφώσεως.

Η καμπύλη αύτή έχει τα έξι χαρακτηριστικά:

Άπό τό σημείο O μέχρι ψό σημείο P η τάση είναι ανάλογη πρός τήν αντίστοιχη έπιμηκυνση, και υπολογίζεται από τό νόμο του Hooke $\sigma = E \cdot E$.

^c Η αντιπροσωπευτική γραμμή της περιοχής αύξη, που όνομάζεται περιοχή αναλογίας, είναι η εύδαι ΟΡ, της οποίας η κλίση Ε πρός τὸν αξόνα ΟΣ όνομάζεται μέτρο έλαστικότητος τοῦ υλικού. Θα είναι δηλαδή $\epsilon_{\text{φω}} = E$

Πρέπει νὰ δίνεται προσοχή στὴ διέθεση αύξη, γιατὶ οἱ τιμὲς που ἐκφράζουν τὴν τάση^b καὶ τὴν αντηγμένη ἐπιμηκυνσην επονέουσαι α - ϵ ($\epsilon_{\text{φω}} = \frac{\epsilon}{E}$) συνηδεότατα δὲν ἐκφράζονται μὲ τὴν ἴδια κλίμακα. Επομένως δὰ θέτων λάθος αὐτὸν, γιὰ νὰ βροῦμε τὸ μέτρο έλαστικότητος ἐνὸς υλικοῦ αὐτοῦ, τὸ αντιστοιχο διάγραμμα τοῦ υλικοῦ σὲ εφελκυσμό, παιρναμε τὴ γωνία ω τῆς εύδαις στὸν περιοχή αναλογίας καὶ μετά τὴν τριγωνομετρική της ἐφαντωμένη. Τότε ενεπόνητο δὰ θέτων:

a. Νὰ ἐκφράσουμε τὴν τριγωνομετρική ἐφαντωμένη τῆς γωνίας μὲ τὴν τιμὴν τῆς τάσης καὶ τῆς αντιστοιχης αντηγμένης ἐπιμηκυνσης σὲ κάλοιο εημένο τῆς περιοχῆς αναλογίας ($\epsilon_{\text{φω}} = E = \frac{\epsilon}{E}$),

b. Νὰ πάρουμε (πρᾶγμα που είναι ανέρικτο) τὴν τριγωνομετρική ἐφαντωμένη τῆς γωνίας ω στὸν περίπτωτο που τὰ μεγέθη θ καὶ ε ἐκφράζονται μὲ τὴν ἴδια κλίμακα.

^c _F Η τάση σ_p που αντιστοιχεῖ στὸ σελεύσατο εημένο τῆς περιοχῆς αναλογίας όνομάζεται ὅριο αναλογίας.

Συνεχίζοντας τὴν φόρμιση τοῦ υλικοῦ, αὐξάνοντας δηλαδή τὴν τιμὴν τῆς τάσης πιὸ πάνω αὐτὸν στὴ θη παρατηροῦμε ὅτι οἱ αντηγμένες ἐπιμηκυνσεμ αὐξάνονται δυσανάλογα καὶ μάλιστα εἶναι τόσο μεγαλύτερες αὐτὸν ἐκείνες που δίνονται αὐτὸν τὸ νόμο του Hooke ($\epsilon = \frac{\sigma}{E}$) ὅσο η τάση σ είναι μεγαλύτερη τῆς σ_p .

^c Επομένως γιὰ τὸ τιμῆμα αὐτό τοῦ διαγράμματος η γραμμή είναι καμπύλη (PE) καὶ η αντιστοιχη περιοχή όνομάζεται περιοχή έλαστικότητος.

^d Η τάση σ_E που αντιστοιχεῖ στὸ σελεύσατο εημένο τῆς περιο-

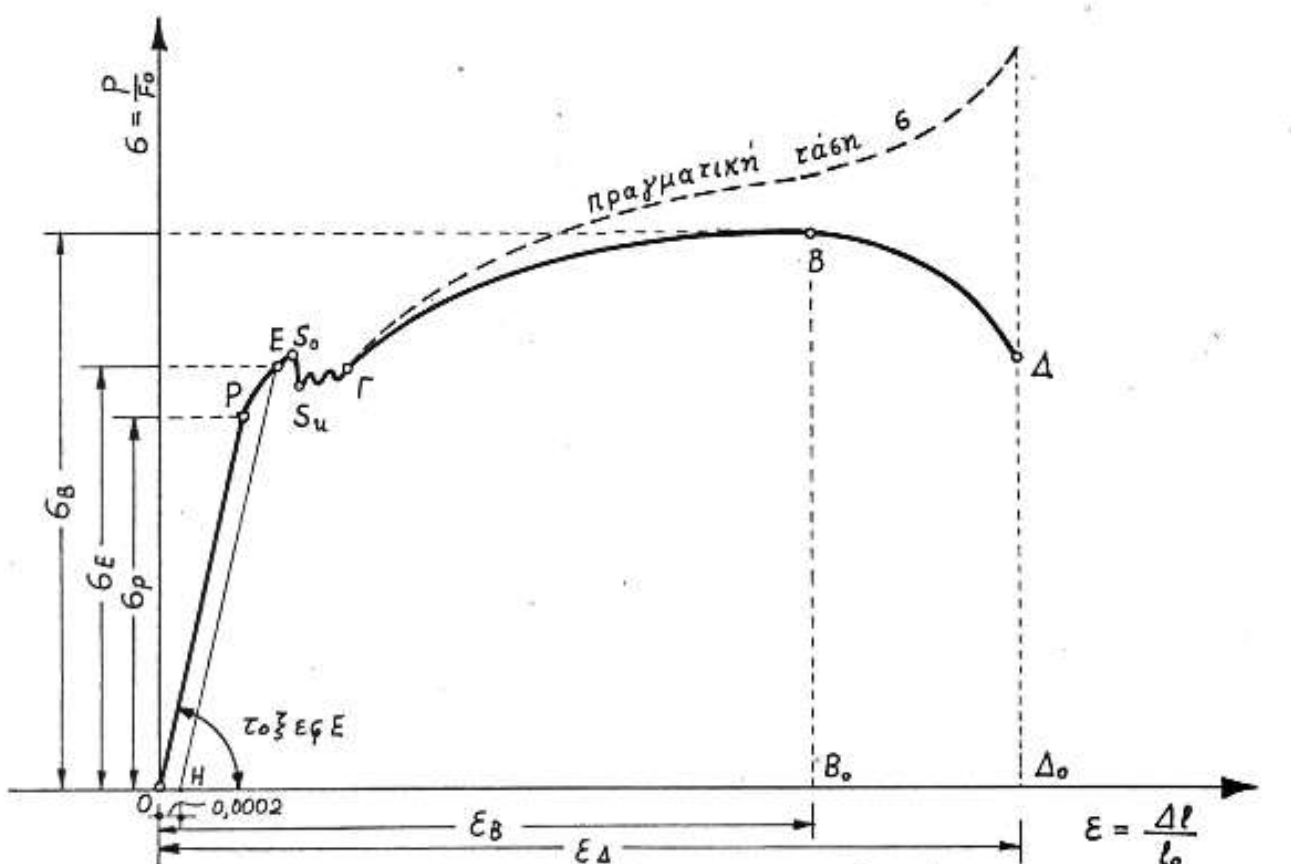
F. Να πάρουμε την τριγωνομετρική εφαντωμένη της γωνίας καὶ να την πολλαπλασιάσουμε επὶ τὸν λόγο λ/λ' των κλίμακων των δύο αξόνων (θ, ϵ).

κής αυτής ονομάζεται όριο έλαστικότητος.

Άν εσήν περιοχή αύγη αποφορίζουμε τό δοκίμιο, παρατηρούμε ότι η ανυψώνονται έπιμήκυνση έλαστωνται, αλλά δεν έμφανίζεται πλήρως, οπως συμβαίνει εσήν περιοχή αναλογίας. τό δοκίμιο απέκτησε διπλαδή μια μόνιμη έπιμήκυνση Δl .

Συμβανούμε να ονομάζουμε σ_E το ^{ευθατικό} έριο έλαστικότητος της σ_E τάσης έκεινη που είναι μεχαλύερη της σ_p , για την οποία μετά την αποφόρτηση του δοκιμίου έμφανίζεται μια μόνιμη (παραμένουσα) έπιμήκυνση ισημερίας προς τα δύο δεκάδις χιλιοστά του αρχικού μήκους. Θα πρέπει δηλ. να είναι: $\Delta l = 0,0002l_0$

η $\Delta l/l_0 = \varepsilon = 0,0002 = 0,02\%$, για να πούμε ότι η τάση σ_E , που εφαρμόσθηκε στό δοκίμιο πρίν από την αποφόρτηση, και που ^{ευθατικό} θεραπεύεται από πολλές δοκιμές την βρίκαμε, είναι το ^{ευθατικό} έριο έλαστικότητος.



Άν έχουμε τό διάγραμμα έφελκυσμού (σ, ε) κάποιου υλικού

τότε έγαι δυνατὸν γραφικά να υπολογίσουμε τὸ Νόριο ἐλαστικότητάς του, αρκεῖ να πάρουμε στὴν ἀρχή τοῦ ἄξονα τῶν ἀνυγμένων ἐπιμηκύνεων ἕνα τμῆμα 160 μὲ 0,0002 φυσικά μὲ τὴν κλίμακα ποὺ διαλίζαμε γιὰ τὶς ἀνυγμένες ἐπιμηκύνει.

"Ἄν Η εἶναι τὸ οὐρμὸν αὐτό, τότε φέρνουμε τὴν ΗΕ παραλληλὴν πρὸς τὴν ΟΡ. Στὸ οὐρμόν Ε ποὺ ἡ ^{συμβατικό} εὐδαία αὐτή δᾷ τηλετὴν τὸ διάγραμμα, ἀντιθοιχεῖ τὸ Νόριο ἐλαστικότητος τοῦ ὑπίκου.

Συνεχίζοντας τὴν φόρτισην τοῦ ὑπίκου εἰσερχόμαστε εἰς μιὰ νέα περιοχή ὅπου ἡ συμπεριφορά τοῦ ὑπίκου εἶναι ἀνώμαλη.

Στὴν ἀρχή ἡ συμπεριφορά του μοιάζει μὲ τὴν ἀντίστοιχη στὴν περιοχήν ἐλαστικότητος, δηλαδί αὐξανομένων τῶν τάσεων αὐξάνονται περιβεβόσφρο καὶ οἱ ἀντίστοιχες ἐπιμηκύνει. Όταν ἡ τάση πάρει τὴν τιμὴν θ_5 , οἱ ἀνυγμένες ἐπιμηκύνει εξακρηδοῦνται ναὶ αὐξάνονται, παρὰ τὸ γεγονός ὅτι μετά τὴν τάση θ_5 οἱ ἀντίστοιχες τάσεις η ποὺ ἐμφανίζονται μικραίνουν.

"Όταν φύδανομε εἰς τὴν τάσην θ_5 , παρασημοῦμε ὅτι ἀπό κεῖ καὶ πέρα οἱ τάσεις αὐξάνονται μὲ τὶς ἀντίστοιχες - ὅχι ἀναλογικές - αὐξήσεις τῶν ἐπιμηκύνεων.

Μετά ἀκολουθεῖ ἄλλο τμῆμα ποὺ οἱ τάσεις μειώνονται μὲ τὶς αὐξήσεις τῶν ἐπιμηκύνεων καὶ ἡ ἴδια φάση ἐπαναλαμβάνεται ὡς τὸ οὐρμόν Γ.

"Η περιοχή ΕΓ τοῦ διαγράμματος ὀνομάζεται περιοχή διαρροῆς. Η μέγιστη τιμὴ θ_5 ποὺ παίρνει ἡ τάση εἰς τὴν περιοχήν αὐτήν ὀνομάζεται ἀνώτερο ὄριο διαρροῆς, ἐνώ ἡ ἐλάχιστη κατώτερο ὄριο διαρροῆς.

"Ο μέσος ὄρος αὐτῶν τῶν δύο τιμῶν ὀνομάζεται συνήθως ὄριο διαρροῆς.

Στὴν περιοχή αὐτῇ ΕΓ λέμε ὅτι τὸ ὑπίκο διαρρέει,

γιατί γίνονται ανακατατάξεις μέσα στή δομή των μορίων του, όπότε κατά τή μιά φάση - όπαν οι τάξεις αύξανουν με τις έπιμηκύνσεις - δεύτερη αντοχή εσφερού νήσικού, ένω στήν άλλη φάση - όπαν οι τάξεις μικραίνουν με αύξηση των έπιμηκύνσεων, - τό νήσικό θυμεριθέρεται εδώ πλαστικό.

Μετά τό έμμενο Γ, δηλαδή όσο προχωρεῖ η φόρτιση και αύξανε η τάξη τό νήσικό δεύτερη άμαλή θυμεριθορά, δηλαδή ίδια με έκεινη τού δεύτερη εστίν περιοχή έλαστικότητος PE, με τή διαφορά ότι οι μεταβολές (αύξησεις) των έπιμηκύνσεων είναι άκομη μεγαλύτερες πρός τις αντίστοιχες μεταβολές των τάξεων. Αυτό θυμβάνει μέχρι τής τάξεως έβ, στήν οποία τό νήσικό δέν μπορεῖ πιά να γενεράσει. Η τάξη έβ ονομάζεται όριο δραύσεως.

Μετά τό φαινόμενο τῆς διαρροής, η αράκηση και η αύξηση τῆς αντίστασης πού παρουσιάζεται τό νήσικό μέχρι τό όριο δραύσεως ονομάζεται κράτυνση τού νήσικού και τό αντίστοιχο τμήμα τῆς καμπύλης παραμορφώσεως ονομάζεται καμπύλη κρατύνσεως.

Λίγο μετά από τό όριο δραύσεως, έμφανίζεται εί κάποια διατομή ίσχυρή επέντει, πού ονομάζεται λαίμος δραύσεως, ένω παράλληλα οι τάξεις μικραίνουν όσο μεγαλώνουν οι έπιμηκύνσεις, και μετά από λίγο τό νήσικό σπάζει.

Η τάξη έβ πού αντίστοιχη έβ έμμενο Δ τῆς δραύσεως τού δοκιμίου ονομάζεται τάξη δραύσεως.

Στήν πραγματικότητα, από τό έμμενο Β και μετά, δηλ. εστίν περιοχή δραύσεως, - πού αποτελεῖ συνέχεια τῆς περιοχής κρατύνσεως, ένω και οι δύο μαζί περιοχές αποτελούν τήν πλατική περιοχή τού νήσικού - η τάξη έφελκυσμοῦ αύξανε λόγω τῆς έγκαρβιας ευεργελής τού δοκιμίου με τήν έμφανσην τού

λαμπού δραύσεως.

Έπειδή όμως οι τεταγμένες στον διαγράμματος προέρχονται από άραγωγή του φορτίου στην άρχική και όχι στην συνεπαλμένη διατομή του δοκιμίου, η καμπύλη παραμορφώσεως παρουσιάζει από τότε σημείο B μέχρι τότε σημείο A της πραγματικής δραύσεως, μία πτώση που είκονιζεται μέσα στον κλάδο BD .

Σαν έπιμήκυνση δραύσεως δεν λαμβάνεται η ϵ_B που αντιστοιχεί στό όριο δραύσεως ϵ_B , αλλά η έπιμήκυνση ϵ_A που αντιστοιχεί στό σημείο A , δραύσεως του δοκιμίου.

Η μέτρηση της ϵ_B είναι δύσκολη.

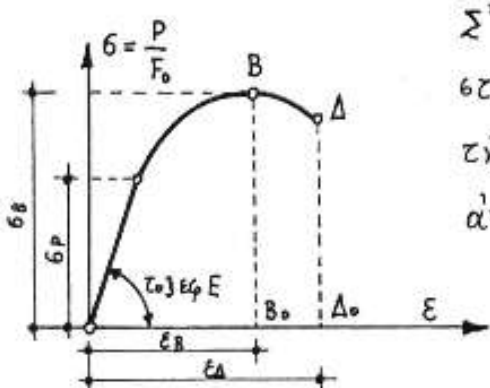
Ανάλογα με τις φύση του κάθε υλικού, μπορούμε να διακρίνουμε τρεις χαρακτηριστικούς τύπους διαγραμμάτων παραμορφώσεως.

a. Διαγράμματα μέτριας περιοχής αναλογίας και όριο ροῆς.

Τέτοια είναι κυρίως τα διαγράμματα του ρευστοπαγή χαλύβα, τα όποια, όπως περιγράψαμε πιο πάνω, παρουσιάζουν άγριότερο και κατώτερο όριο ροῆς (διαρροής).

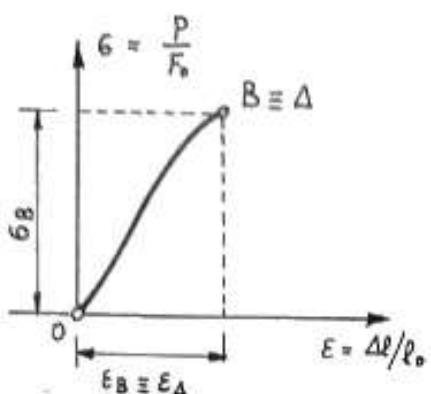
b. Διαγράμματα μέτριας περιοχής αναλογίας χωρίς όριο ροῆς.

(χαλκός, αργιλός).



Σ' αυτά τα υλικά τότε φορτίο αυξάνει στην άρχικη γραμμικά μέσα στην αύξηση της έπιμήκυνσης μέχρι τότε όριο αναλογίας. Μετά η εύδια γραφή του διαγράμματος μετατρέπεται με συνεχή και άμελη πορεία σε άνοιγμα καμπύλης ώς τότε όριο δραύσεως, που έβανται με μικρό καπιόντα κλάδο BD ώς τη δραύση.

γ. Διαγράμματα γαδυρῶν ὑλικῶν. (Χυτοβιδηρός, δρεύχαλκος).



Σ' αὐτά τά ὑλικά τό φορτίο
αὐξάνει συνέχεια μέχρι τό όριο δρα-
γεως ωπρὶς καμιά καθαρή ἔνδυση
οὐτε για τό όριο ἀναλογίας, οὐτε
για τό όριο διαρροῆς, οὐτε για
τὴν κράτυνση τοῦ ὑλικοῦ.

Γίνεται ἐπομένως ἐτεῖ γραφικά
φανερή ἡ οὐδιώδης διάκριση ἀνάμεσα στά συνεκτικά καὶ
τά γαδυρά ὑλικά.

Συνεκτικά εἶναι τά ὑλικά στά δόνησα τό στάδιο τῆς
πλαστικῆς παραμόρφωσης μέχρι τή δραγή εἶναι μεγάλο, ἐνώ
Ψαδυρά εἶναι τά ὑλικά ποὺ εσφρουνταν αὐτή τὴν ἴδιότητα.

Εἶναι ἐπομένως ἡ συνεκτικότητα μιὰς ἴδιότητας αντιθέτη αἱ
τὴν γαδυρότητα.

Στά διαγράμματα ποὺ παρουσιάζουν όριο ἀναλογίας, ἡ
γωνία κλίσεως φ τοῦ εὐθύγραμμου τμήματος τῆς περιοχῆς
ἀναλογίας ως πρὸς τόν αἴστορα τῶν ἐπιμηκύνεων ἔχει ἐφαντομέ-
νη ἵην πρὸς τὸν λόγο σ/ϵ καὶ ἐπομένως, λόγω τῆς σχέσεως
 $\sigma = \epsilon \cdot E$, ἵην πρὸς τό μέρος ἐλαστικότητος τοῦ ὑλικοῦ E .

δηλ. δά εἶναι $E \varphi \varphi = E$ ἢ $\varphi = \tauο\varphi E$.

Θλιψη

Ἀνάλογα πρὸς τά διαγράμματα ποὺ αὔφοροῦν δοκιμές
ἐφελκυσμοῦ, μποροῦμε νά πάρουμε καὶ διαγράμματα ποὺ αὔφοροῦν
δε δοκιμές θλίψεως, ὅμως εὲ δοκίμια πού ἔχον ἴδιαιτερη μορφή
καὶ εἶναι μικροῦ μῆκους, κυλινδρικά ἢ σετραγωνικά.

Ἐδῶ ὑπάρχει κάποια δυσχέρεια στήν αὔκηση μοναζονικῆς δι-
γεως, γιατί ἡ φιβή στήσ επιφέρει πού αὔκεῖται ἢ πίση,

έμποδίζει τὴν ἐλεύθερη πλευρική διόγκωση τοῦ δοκιμίου καὶ ἐπομένως εἰσάγει τάσεις διατηρίεως.

Τὰ ἀποτελέσματα τοῦ πειράματος εἶναι ἐντελῶς δύοια μὲν τὰ ἀντίστοιχα τοῦ ἐφελκυσμοῦ.

Δηλαδὴ παρουσιάζονται τὰ Ἱδία χαρακτηριστικά οὐμεῖα ποὺ ἀγνοεῖσθαι τὸν ὄριο ἀναλογίας, διαρροῆς, θραύσεως καὶ παρέκκλησης πολύτιμης πληροφορίες εἰς μηχανικές ιδιότητες τῶν ὑλικῶν ενμπληκτών των πειραματικής ἔρευνας.

Ἔδιαιτερα ουμαντικά εἶναι τὰ πειράματα διλίγεως εἰς γαδυρά ὑλικά, ὅπως ὁ χυτοβιδύρος, οἱ λίθοι, τὰ ειμεντοκονιάματα κ.λ.π. τὰ ὄνοια ἄλλωστε προορίζονται σχεδόν ἀποκλειστικά για διλιπτικές καταπονήσεις.

Ἐνῶ εἴσαι κυλινδρικά δοκίμια χυτοβιδύρου ἢ ἐπιφάνεια δραύσεως εἶναι σχεδόν πάντας μοναδική, εἴσαι κυβικά δοκίμια λίθων ἢ σκυροδέματος ἢ διασυντική ἐπενέργεια – ποὺ εἶναι καὶ τὸ μοναδικό αἷτιο δραύσεως εἴσαι γαδυρά ὑλικά – εἶναι διττή καὶ παρουσιάζονται μορφές δραύσεως ποὺ ἔχουν σχῆμα διπλῆς πυραμίδας, ὅπως εἴσοδο σχῆμα (β).

Στὰ ζῆλα, ἐφ' ὅσον οἱ ἵνες εἶναι παράλληλυ πρὸς τὸν ἄξονα ἐπιβολῆς τοῦ φορτίου, ἢ δραῦνη ἐπέρχεται μὲν διάστημα τῶν ἵνων ὑπὸ λοζή γωνία (σχῆμα γ).

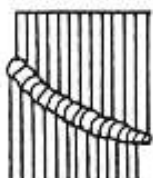
Οπως εἶναι γνωστό, τὰ γαδυρά ὑλικά εἶναι περισσότερο ἀνδεκτικά σὲ καταπόνηση ἀπό ὄρδες τάσεων παρά ἀπό διατη-



Χυτοβιδύρος (α)



Λίθοι (β)



Ζῆλα (γ)

τικές. Γιαντό τὸ ἐπίπεδο δραύσεως παρουσιάζεται κεκλιμένο

ύπο κάποια γωνία ώς πρός τὸν ἄξονα ἐπιφολῆς τῆς δυνάμεως. Κατὰ τὴν γωνία αὐτήν, η διασυντική ἐπενέργεια γίνεται μέγιστη.

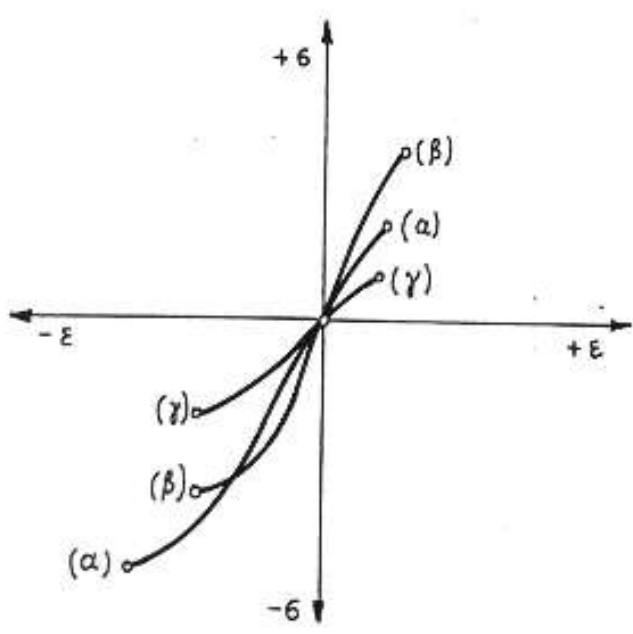
Οι διαστάσεις τῶν δοκιμών εἰναιρέονται τὴν μορφὴν τῆς δραΐσεως.
Η κυλινδρική μορφὴ δοκιμών συνήθως χρησιμοποιεῖται για τὸν χυτοσίδηρο μὲν εκεῖνη μήκους δοκιμίου πρὸς διάμετρο τῆς διαζομῆς $l/d = 2$.

Για τοὺς διάφορους τύπους λίθων ώς καὶ γιὰ τὸ εκρόδεμα ἔχει εἰσαχθεῖ γενικά η κυβική μορφὴ δοκιμών.

Η καμπύλη τῶν παραμορφώσεων εσρέψει, επὶ γενική λεπτίσωση τὰ κοῖλα πρὸς τὸν ἄξονα τῶν παραμορφώσεων. Λίγες εἶναι οἱ ἔξαιρέσεις, ὅπως π.χ. επάρδηματα, επάρδημα οἱ καμπύλες παραμορφώσεων εσρέψουν τὰ κοῖλα πρὸς τὸν ἄξονα τῶν τάσεων.

Σὲ μερικά ὄντικά, ὅπως τὸ ἐλαστικό κόμμι, η καμπύλη παρουσιάζει οημένο καμπό. Σερέψει επὸν ἄξονα τῶν παραμορφώσεων πρῶτα τὰ κοῖλα καὶ μετά τὰ κυρτά.

Σὲ ἄλλα ὄντικά, ὅπως π.χ. επόμενο, ενμέραινε τῷ ἀντί-



Τὸ διάγραμμα τάσεων - παραμορφώσεων γιὰ τὰ γαληνά ὄντικά ἔχει τὴν μορφὴν τοῦ διπλανοῦ σχήματος μὲ τὰ ὄρια διαφοροῦς καὶ δραΐσεως ευγχεόμενα καὶ μὲ μικρές συνήθως παραμορφώσεις δραΐσεως.

- (α) χυτοσίδηρος
- (β) λίθοι
- (γ) ξιλα.

Τό πείραμα του ἐφελκυσμοῦ.

Κανονισμοί πού διέπουν τίς δοκιμές ἐφελκυσμοῦ.

Γιά νά μπορεύ εύκολα νά γίνεται μιά ἐποπτική σύγκριση των ὑλικῶν μεταξύ τους, θά πρέπει τα διαγράμματα νά αναφέρονται στόν ίδιο τύπο δοκιμίου. Γιαυτό, στήν Ηπειρωτική Εύρωπη ἔχουν καθορισθεῖ δύο τύποι κυλινδρικῶν κανονικῶν δοκιμίων, στούς οποίους η εκείνη μήκους πρός τήν σεζραγωνική ρίζα τῆς διαστολῆς, παραμένει εσαδερή, γιά νά πληρούνται οι νόμοι τῆς ὁμοιόσητας τῶν δοκιμῶν.

Ο ένας τύπος δοκιμίου ἔχει αναλογία μήκους πρός διάμετρο $l:d = 10$, σημειώνοντας τό μήκος τού οποίο γίνεται η μέτρηση των παραμορφώσεων. Άντι γιά διάμετρο επειγόντων την τυχούντα διαστολή του δοκιμίου, η εκείνη αὐτή γίνεται: $l = 11,28 \cdot \sqrt{S}$

Ο ἄλλος τύπος του δοκιμίου ἔχει εκείνη $l:d = 5$ και έπομένως $l = 5,64 \sqrt{S}$

Στήν Σοφιετική Ενωση ἀκολουθούνται οι κανονισμοί τῆς Ηπειρωτικής Εύρωπης.

Στήν Αμερική ισχύει ο τύπος $l:d = 4$ και γιά τυχούντα διαστολή $l = 4,51 \sqrt{S}$.

Παρασημούμε γενικά ότι, αὐτή και ετίς διάφορες χώρες ἔχουν ἐκλεγεῖ διάφορη διατάξεις δοκιμίων, παρ' όλα αύτά ἔχει γίγει παραδεκτός ένας βασικός νόμος ὁμοιόσητος κυλινδρικῶν δοκιμίων.

Οι κανονισμοί πού ισχύουν στήν Ελλάδα ἀκολουθούν τους κανονισμούς τῆς Ηπειρωτικής Εύρωπης.

Στήν περίτερη των δοκιμῶν θλίγεων θέλεται η δοκιμή υλικά, ἔχει γίνει παραδεκτή η κυλινδρική μορφή δοκιμίου. Η εκείνη τοῦ

μήκους τοῦ δοκίμιου πρὸς τὴν διάμετρο τῆς διαστολῆς πρέπη
να ἔγειραι τὸ ὄλιγώτερο 4 φορὲς γιὰ τὴν περίπτωση πού η
μέτρηση τῶν παραμορφώσεων γίνεται μέσης ὀπτικά μηκυνθομέτρα.

Ἄλλοις η ἔκτη αὐτὴ μπορεῖ να κατεβῇ μέχρι 2 φορὲς.

Περιγραφὴ τῆς μηχανῆς ἐφελκυσμοῦ.

Σκοπὸς τοῦ περάματος ἐφελκυσμοῦ ἔναι να ληφθεῖ ἔνα
διάγραμμα μεταβολῶν δυνάμεων - ἐπιμηκύνεων γιὰ ἔνα εὐκε-
κριμένο δοκίμιο πού ἔχει τὸ προβλεπόμενο βάσι τῶν κα-
νονισμῶν τῆς Ἡπειρωτικῆς Εύρωπης διαστάσεως.

Τὸ πείραμα γίνεται μὲ εἰδικὴ μηχανὴ Ἀγγλικῆς προ-
ελεύθερεως, η ὥστα συνοδεύεται ἀπὸ ἔναν μεγάλο ἀριθμό
ἐξαρτημάτων καὶ βοηθητικῶν ἔργατοιν, μὲ ἀποτέλεσμα να
μποροῦν, μὲ τὸν κατάλληλο συνδυασμὸν αὐτῶν, να γίνουν, πλὴν
τοῦ ἐφελκυσμοῦ, πολλὰ ἄλλα εἴδη περαμάτων, ὅπως θλίγεως,
κάρυγεως, διατυήσεως κ.λ.π.

Τρόπος θετούργιας

Η μηχανὴ ἀποτελεῖται βασικά ἀπὸ δύο ἀρνάγες, στὶς Ὂ-
ποιες συνοδεύεται τὸ δοκίμιο. Η μία ἀπὸ αὐτές εἶναι στα-
θερή καὶ η ἄλλη κινητή.

Η κινητή μπορεῖ να σύρεται εἰς δύο δρομεῖς μὲ τὴν βο-
ήθεια ἐνὸς ἀτέρμονα κοχλία πού συνδέεται μὲ κατάλληλο
σύστημα γραναζῶν καὶ ροχαλιῶν οἱ ὥστες ροχαλίες συν-
δέονται μὲ δύο ἴμάντες καὶ παίρνουν κίνησην ἀπὸ τὸν
ἤλεκτρικό κινητῆρα.

Στὶς ροχαλίες ὑπάρχουν αὐλακώσεις πού μποροῦν να
συνδυασθοῦν ἔτσι, ὥστε να ἐπιτυγχάνεται μείωση τῶν σρόφων
τοῦ κινητῆρα εἰς διάφορες κλίμακες γιὰ να μπορεῖ ἔτσι να

χρησιμοποιεῖ ή κατάλληλη σταθερή ταχύτητα ἔλξεως που
είναι απαραίτητη για τό κάθε εἶδος άλικου ἀν' τό δυνοῦ
είναι καταβκεναβέντο τό δοκίμιο.

Ο κίνητήρας ἔχει τὴν ἴκανότητα νά διατηρεῖ σταθερές τις
εργοφές του, ἐπιτυγχάνοντας ἔτσι μιά μέγιστη ἐλκτική δύναμη 2 τόν.
και τίθεται σε κίνητη ἀλό ἔναν διακόπτη μέ τη βούδια
τοῦ δυνοίου, μπορεῖ νά περιεργέρεται κατά τη μία φορά (π.χ.
δεξιόεργο για τό στάδιο τῆς φορτίσεως), σταματᾶ, ή πε-
ριεργέρεται κατά τὴν ἀντίθετη φορά (π.χ. ἀριερόεργο γιά
τό στάδιο τῆς ἀποφορτίσεως).

Συνεπῶς αὐτό που ἐπιτυγχάνει ή μηχανή είναι μιά
σταθερή ἀλλά πάρα πολὺ μικρή ταχύτητα ἔλξεως τοῦ δοκι-
μίου.

Άρα ανήκει τὴν κατηγορία τῶν μηχανῶν που ἀσκοῦν στα-
θερή μεταβολή ἐπιμηκύνεως καὶ μετροῦν τὴν ἀντίστοιχη μετα-
βολή δυνάμεως που ἀσκεῖται στό δοκίμιο, σε ἀντίθετη ηρός
τις μηχανές που ἀσκοῦν σταθερή μεταβολή τῆς δυνάμεως καὶ
μετροῦν τὴν ἀντίστοιχη ἐπιμηκύνη που ἐμφανίζεται στό δο-
κίμιο.

Η σταθερή ἀρνάγη συνδέεται ἀρδηρτά μέ τό μέσον μιᾶς
ἀμφιέρευστης μεταλλικῆς δοκοῦ, ή ὅποια ἔδραζεται σε ἀκλόνη-
τα σπηρίγματα.

Μέ τὴν δύναμη που ἀσκεῖται στό δοκίμιο, φορτίζεται η δο-
κός, μέ ἀποτέλεσμα νά παρουσιάζει στό μέσον τῆς καίοιο βέ-
λος κάμψεως. Τό ἐλάχιστο αὐτό μῆκος τοῦ βέλους κάμψεως
είναι σε δέση νά οιεῖται σε ἔτα ἀρκετά ἀνδεκτικό δοχυῦ μία
μᾶζα ὑδραργύρου, ὁ ὅποιος στὴν συνέχεια κινεῖται μέσα σε
ἔναν γυάλινο λευτό σωλῆνα μπροστά ἀλό μιά βαθμολογη-
μένη κλίμακα, που ἐκφράζει τό μέγεδος τῆς δύναμης που

ἀσκεῖσαι οὐδὲ δοκίμιο.

Ἐπειδὴ η ἀντοχή εἰς ἐφελκυσμό εἶναι διαφορετική γιά τό κάθε ὑλικό, καὶ οὐδὲ διάγραμμα πού θά πάρουμε μᾶς ἐνδιαφέρειν να ὑπάρχει ἔνα σημαντικό εὖρος μεταβολῶν δυνάμεων (κι αὐτό για να εἶναι τό διάγραμμα κανές ἐμφανές), ὑπάρχονν τρεῖς ζεχωριστές δοκοί οὓς η παραπάνω, μέ διαφορετικό πάχος, πού ἔχων μελετηθεὶς κατάλληλα, οὕτως ὥστε να παρουσιάζουν, μέ τό ᾧδιο συγκεντρωμένο φορτίο οὐδὲ μέσον, τρία διαφορετικά βέλη κάμυες, ὥστε τελικά η ᾧδια δύναμη, να παρουσιάζεται οὐδὲ διαλῆτα σύδραγύρου μέ τρία διαφορετικά μήκη, πού ἀντιστοιχοῦν εἰς τρεῖς διαφορετικές κλίμακες τῶν δυνάμεων (2.000 t, 1.000 t, 500 t).

Πίσω ἀκριβῶς ἀλλ' οὐδὲ σαδερή ἀρνάγηται προβαρμός μένος ένας κύλινδρος, ὁ οὗτος μπορεῖ να περιεργέρεται μέ τρεῖς διαφορετικές σαδερές γωνιακές ταχύτητες πού ἀντιστοιχοῦν βασικά εἰς τρεῖς διαφορετικές κλίμακες τῶν δυνάμεων καὶ ἔχουν εάν εκούσιο να μᾶς δώσουν τελικά ἔνα μικρό οὐ μεγάλο εὖρος ἐπιμηκύνεων πού θά ταιριάζει οὐδὲ μιά σαρή καὶ σωστώσερη ἐμφάνιση τοῦ διαγράμματος.

Μέ ένα σύστημα ὁδοντωτῶν τροχῶν ὁ κύλινδρος παίρνει κίνησην κατ' εὐθείαν ἀπό τὸν κινητῆρα καὶ οἱ τρεῖς διαφορετικές γωνιακές ταχύτητες πού μπορεῖ να περύχει, ὅφελονται σὲ τρεῖς ὅμοκεντρες περιφέρειες ὁδόντων πού βρίσκονται σὲ μιά τὸν βάσην καὶ συμπλέκονται μέ έναν ὁδοντωτό τροχό, πού στρέφεται μέ σαδερή γωνιακή ταχύτητα, παίρνοντας τὴν στροφής τοῦ κινητῆρα καὶ μετώνοντας τῷ μέ κατάλληλο σύστημα μετώνεως.

Γύρω - γύρω ἀπό τὸν κύλινδρο τυλίγεται τώρα ἔνα κατάλληλο ἔντυπο οὗτον ὑπάρχει σχεδιασμένος ένας κάναρος.

Μετά τὴν τοποθέτησην τῶν δοκιμίου εἰς ἀρνάγες καὶ τὴν κατάλληλη δέση τοῦ κυλίνδρου ὥστε ἡ πρώτη κατακόρυφη γραμμή τοῦ κέναφου ($\ddot{\alpha}\zeta\sigma\alpha$ τῶν δυνάμεων) νᾱ βρίεται κάτω ἀπό μία ἀκίδα πού προορίζεται νᾱ τρυπᾷ τὸ ἔντυπο, μέ̄ ἔνα κατάλληλο κοχλία μπορεῖται ἡ στάδιμη τῆς στήλης τοῦ ὑδραγήρου, καὶ οὐδὲ ἡ ἀκίδα, πού μπορεῖ νᾱ εύρεται δέ̄ ἔνα δρομέα παράλληλο πρὸς τὸν $\ddot{\alpha}\zeta\sigma\alpha$ τοῦ κυλίνδρου, τίθεται στὴ δέση. Ο τῆς στήλης Hg καὶ ευχρόνια πάνω ἀπὸ τὸν πρώτο ὄριζότιο $\ddot{\alpha}\zeta\sigma\alpha$ τοῦ κανάφου ($\ddot{\alpha}\zeta\sigma\alpha$ τῶν ἐπιμηκύνεων).

Μέ̄ τὴν ἔναρξην τοῦ πειράματος ὁ κύλινδρος περιερέφεται μέ̄ σταδερή γωνιακή ταχύτητα, δηλαδὴ τὸ ἔντυπο μεταπίζεται πρὸς τὰ ἀριστερά, ἡ στήλη Hg ἀνεβαίνει πρὸς τὰ ἄνω, τὴν κίνησην αὐτὴν τοῦ Hg παρακολουθεῖ ἡ ἀκίδα, καὶ οὐδὲ, πιέζοντας διαδοχικά μέ̄ κάποια σταδερή ευχρόνια (π.χ. 1 sec) τὴν ἀκίδα, πλιένουμε επό̄ ἔντυπο τὰ ἀντίστοιχα τρυπήματα πού ἀποτελοῦν ευχρόνια καὶ τὰ σημεῖα τοῦ διαγράμματος.

Στὸ τέλος, παρουσιάζεται ἀνάγλυφη ἡ εἰκόνα τοῦ διαγράμματος ἐφελκυνθμοῦ τοῦ δοκιμίου μέ̄ $\ddot{\alpha}\zeta\sigma\epsilon$ ἐπιμηκύνεων Al (γιά τὸν $\ddot{\alpha}\zeta\sigma\alpha$ τῶν x) καὶ δυνάμεων P δέ̄ Kg . (γιά τὸν $\ddot{\alpha}\zeta\sigma\alpha$ τῶν y).

Μετατροπή τοῦ διαγράμματος $Al-P$ δέ̄ διάγραμμα $E-6$.

Ἐπειδὴ τὸ διάγραμμα τοῦ Hooke πού χρειαζόμαστε γιά τὴν ἀναπαράσταση τῆς ἀντοχῆς τοῦ ὑλικοῦ δέ̄ ἐφελκυνθμό ἀναφέρεται εἰς μεταβολές τῶν μεγεθῶν τῆς ἀνηγμένης ἐπιμήκυνσης ε δέ̄ συναρτησην μέ̄ τὴν τάση σ ἡ ὅνοια ἐπιβάλλεται κάθε

MATERIAL:- Υλικό

Χάλυβας

TEST REF. No.: 9

COMPOSITION:- Συνθέση

0,4% C

FROM:- ΑΠΟ

TREATMENT:- Μεταχείρων

Εργαλευμάτων
μεχρι

δραυνεως

- 17 -

TEST PIECE:- Δοκίμιο
Μήκος: 25,25 mm Διατομή:
Διαμέτρος: $d = 5,05 \text{ mm}$ $F_o = 20 \text{ mm}^2$

RESULTS:- Αποτελεσματα

Όληκαν
Σπιρικύνη:

$$\Delta l = 20\% l_0$$

Σημείωμα διατομής

$$\Delta F = 55\% F_0$$

REMARKS:- Παρατηρήσεις

Διατήρηση

δραυνεως εργαλευμάτων μεχρι

SIGNATURE:- Υπογραφή

δραυνεως

χάλυβα

BEAM:- δορά

GRIPS:- Σύνδεσμος

MAGNIFICATION:- 16,8,4,2 to 1

μηραν

DATE:- Ημερομηνία

ΛΟΤ

DRYING
TIME

FORCE
1,000

ΔΙΑΦΑΝΗ

1,200

1,400

P (kg)

1,600

1,800

2,000

2,200

2,400

2,600

2,800

3,000

3,200

3,400

3,600

3,800

4,000

MONSANTO SWINDON, WILTSHIRE, ENGLAND

EXTENSION Επιμήκυνση Δl

WHEN RE-ORDERING QUOTE A260-1

ειγκή ετό δοκίμιο, ένω τό διάγραμμα που παίρνουμε αν' τό μηχανιμα ἐφελκυσμοῦ μᾶς δίνει τις μεταβολές των ἐπιμηκύνεων Δl εί διαριζόντες με τό φορτίο P που επιβάλλεται κάθε φορά ετό δοκίμιο, προκύπτει ή ανάγκη μετατροπής του διαγράμματος ἐπιμηκύνεων - δινάμεων εί αντίστοιχο διάγραμμα ανυγμένων ἐπιμηκύνεων - τάξεων.

Για τή μετατροπή αυτή θα διάταξουμε πώς ένα σημεῖο του διαγράμματος $\Delta l - P$ μεταφέρεται ετό αντίστοιχο του του διαγράμματος $\varepsilon - \delta$.

"Ετώ δι' αν' τό ευγεκριμένο πείραμα ἐφελκυσμοῦ που έγινε εί δοκίμιο χάλυβα (εκήμα 6ελ. 17) μέ διατάσσει:

$$\text{Διάμετρος } d_0 = 5.05 \text{ mm}$$

$$\text{Διατομή } F_0 = \pi d_0^2 / 4 = 20 \text{ mm}^2$$

$$\text{Μῆκος } l_0 = 25,25 \text{ mm}$$

πήραμε τά παρακάτω αποσελέβηματα:

$$1. \text{ Συνολική } \text{ἐπιμήκυνση: } \Delta l_{max} = 20\% l_0 = 0.20 l_0$$

$$2. \text{ Συμίκρυνση διατομής: } \Delta F = 55\% F_0$$

Ως γνωστόν, η ανυγμένη ἐπιμήκυνση ε δίνεται αν' τη σχέση:

$$\varepsilon = \frac{\Delta l}{l_0}$$

ὅπου Δl η ἐπιμήκυνση και l_0 τό αρχικό μῆκος.

Αντίστοιχα, η τάξη σ που ἐφαρμόζεται ετό δοκίμιο εί κάθε χρονική ειργκή του περάματος, δίνεται αν' τη σχέση:

$$\delta = \frac{P}{F_0}$$

ὅπου P η δίναμη που ἐφαρμόζεται και F_0 η αρχική διατομή.

Πρέπει λοιπόν, πρίγ αρχίσουμε τή γραφική απεικόνιση του περάματος σέ διάγραμμα $\varepsilon - \delta$ νά λάβουμε όπ' ώη μας δυό βασικά μεγέδη που αναφέρονται στις μέγιστες τιμές της ἐπιμήκυν-

ενας αν' τη μια μεριά και της δύναμης που εφαρμόζεται
αν' την άλλη.

"Εποικίδια στήσεις έπιμήκυνσης δια έντατη:

$$\epsilon_{max} = \Delta l_{max}/l_0 = \frac{20}{100} \cdot \frac{l_0}{l_0} = 0,20$$

Έτσι αντίστοιχα η μέγιστη (ιδεατή) τάση που εφαρμόζεται,
δηλ. τό οριο θραύσεως, δια έντατη:

$$\sigma_{max} = \frac{P_{max}}{F_0} = \frac{1.750}{20} = 87,50 \text{ kg/mm}^2$$

Εάν τώρα ζά μεγέθην ϵ_{max} και σ_{max} τα πάρουμε ώστε
κάποια κλίμακα έτσι ώστε οι αριθμοί 0,20 και 87,5 να πα-
ριστάνουν τέλος εξογκωτής ε-6 μήκη στάσια ώστε τό διάγραμμα
που δια προκύπτει να έναι εαφές, αναλυτικό και εύπαρουντιαστο,
τότε δέντρο έχουμε παρά να υποδιαιρέσουμε τα μήκη αυτά που
διαλέξαμε εάν ϵ_{max} , σ_{max} με την ίδια αντίστοιχα κλίμακα
και να αποκονίσουμε όλα τα χαρακτηριστικά σημεία του δια-
γράμματος ΔΙ-Ρ και δέντρο τό δυνατόν περιεστέρα τό διάγραμμα
ε-6.

"Εποικίδια στήσεις τοποθέτησης π.χ. του ανώστερου ορίου διαρ-
ροής τό διάγραμμα ε-6 δια έκεφδοντας ώστε έξτης:

"Εφ' όσον η ολική έπιμήκυνση που μονού δίνεται τό διάγραμ-
μα έντατη 0,20 και παρίσταται μέ μήκος 10 cm, τό ανώστερο ορίο
διαρροής που αντιστοιχεί τό διάγραμμά μου θέ μήκος 3,8 cm
δια έχει μια αντυγμένη έπιμήκυνση ε που δια έντατη:

$$\epsilon = \frac{3,8}{10} \cdot 0,20 = 0,076$$

Το ποσότητα της της 0,076 είναι η αύξοντας τάση ε.

Αντίστοιχα η τάση που αντιστοιχεί τό ανώστερο ορίο
διαρροής δια έντατη:

MATERIAL:- Υλικό

Όρειχαλκος

COMPOSITION:- Σύνθεση

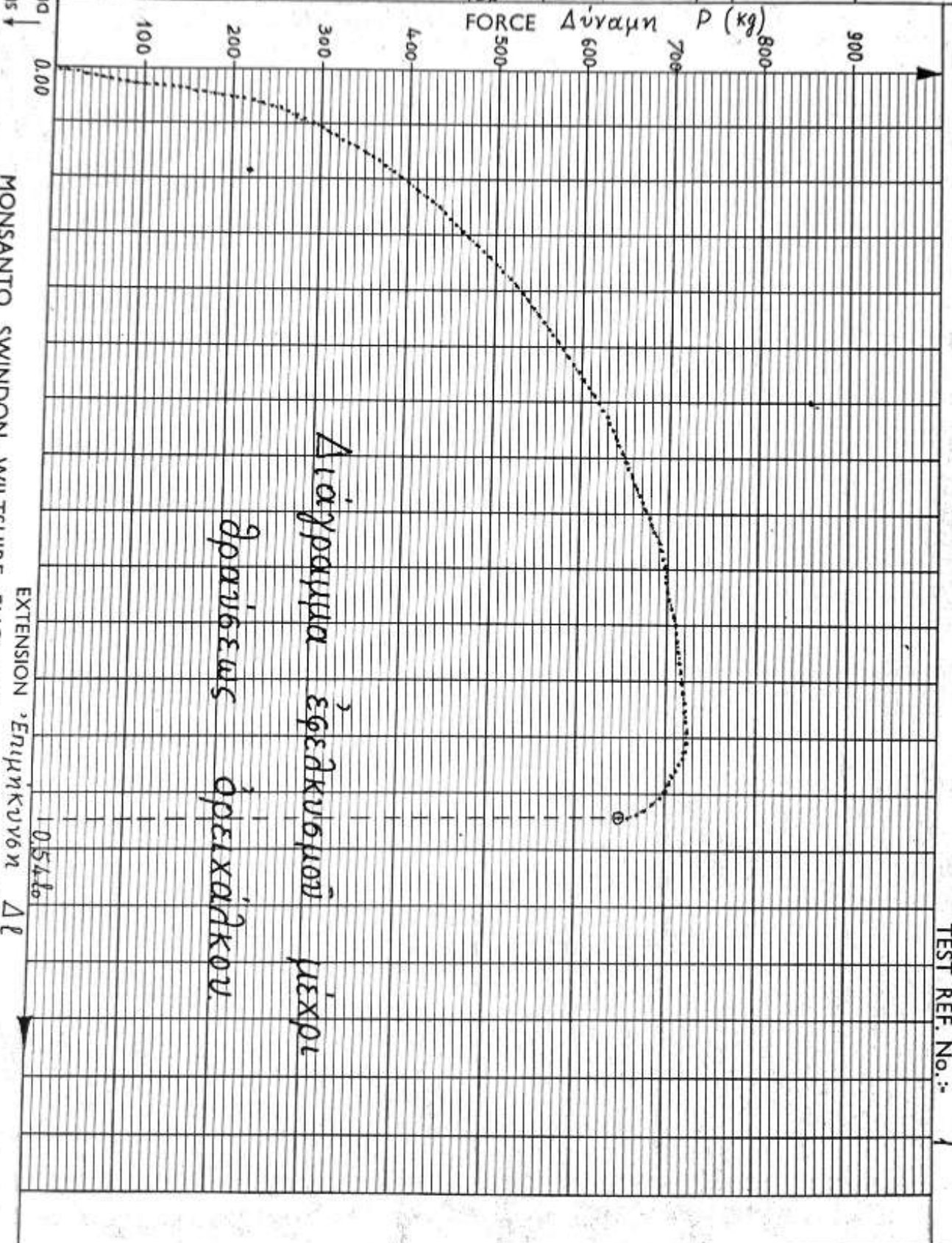
70% Cu + 30% Zn

FROM:- Χνό

TREATMENT:- Μεταχεύρηση
Ερείκυμπος μεχρι
δραυνέται

TEST PIECE:- Δοκίμιο
Μήκος: $l_0 = 25,25 \text{ mm}$ Διαστολή:
Διάμετρος $d = 5,05 \text{ mm}$ $E = 20 \text{ mm}^2$

RESULTS:- Αποτελέσματα
Όλη η επιμηκυνθή
 $\Delta l = 54\% l_0$
Συγκρώνη διατομής
 $\Delta F = 72\% F_0$



REMARKS:-	Παρατηρήσεις
Δl εν έμφανιζεται	όρειχαλκου
Πειροκή διαρροή ή γόγγια	
γεννητης των άλικου.	
SIGNATURE:- "Υπογραφή"	
BEAM:- Δοκός	GRIPS:- Σύνθεσης
MAGNIFICATION:- 16, 8, 4, 2 or 1	DATE:- "Η μερομηνία"

$$\sigma_{\Delta \text{d}v} = \frac{1.690}{20} = 84,50 \text{ kg/cm}^2$$

Το ποδετών την τιμή 84,50 στον αύξοντα 6.

Η τιμή των εύδειών που αρχονται από τα επιμέτα που ποδετίζεται και είναι παραλληλή προς τούς αύξοντα, μας δίνει σε διάγραμμα Ε-6 τό ανώτερο όριο διαρροής.

Η ίδια δουλειά έπαναλαμβάνεται τώρα και για τα υπόλοιπα χαρακτηριστικά επιμέτα του διαγράμματος, άκομη και ένδιαμεσα σπουδαίους χρησάζονται, και στό σέλιο έγραψαντας τα επιμέτα που βρήκαμε, σπόρε παίρνουμε τό διάγραμμά μας σε αύξοντα Ε-6.

Συμείωση: Έπειδή γεωμετρικά τουλάχιστον τό διάγραμμα Ε-6 είναι στοιχείο με τό διάγραμμα ΔL-R, είναι δυνατόν να είναι και ίσο, δηλ. Η ίδια άκριβως καμπύλη, άρκει να έκλεγει βέβαια η καταλληλή κλίμακα για τους δυο αύξοντες.

Βρόγχος ουσιερήσεως

Άν 6' ήταν πείραμα έρευνας καταγράγουμε έταν κύκλο καταπονήσεως μεταξύ μπενός φορζίου και μιας άριθμένης αυτής τάσεως διακρίνουμε διάφορους τύπους παραμορφώσεων που άφορούν στήν εκεινή δέση της φροντίδας στό επάρδιο της άποφορτισμής ώς πρός την αντίστοιχη φροντίδα στό επάρδιο της φορζής.

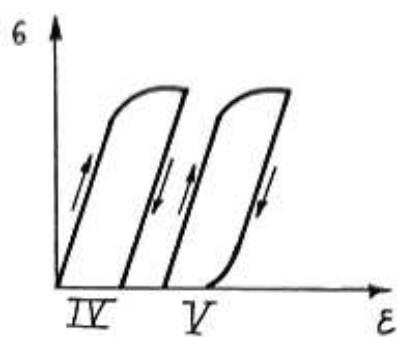
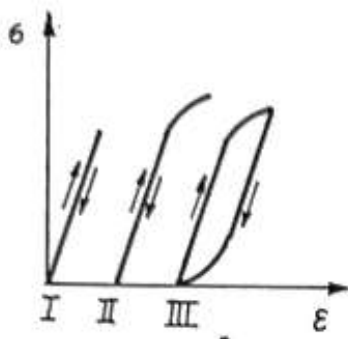
Οι διάφοροι αυτοί τρόποι περιγράφονται στά εκήματα της έπομένης σελίδας

Στήν τρέις πρώτες περιτυπώσεις, σπουδαία την ηλιόρη αποφορτισμή τό μήκος του δοκιμίου έπανερχεται στό άρχικό, μιλάμε για έλαστικές παραμορφώσεις.

Άν αυτές, η πρώτη είναι καθαρά έλαστική και γραμ-

μική παραμόρφωση που ακολουθεῖ τό νόμο του Hooke.

Η δεύτερη είναι έλαστική παραμόρφωση και η πρώτη είναι έλαστική παραμόρφωση μεδ' ύπερεργίας.



Οι δύο τελευταίες περιουτάνειν IV και V αργορούν είς πλαστικές παραμορφώσεις.

Απ' αύτές η πρώτη είναι καθαρά πλαστική και η δεύτερη πλαστική μεδ' ύπερεργίας.

Αν ο κύκλος της άποφόρτισης και έπαναφόρτισης του δοκιμίου γίνεται είς επάδιο μεταξύ αυτής την άρχική πλαστική παραμόρφωση, φαίνεται καθαρά ετό διάγραμμα της έπομενης επίδειξης ούτι δημιουργείται βρόγχος ύπερεργίας ετό διάγραμμα δυνάμεων - έπιμπκύνεων (η άντιστοιχα ετό διάγραμμα τάσεων - άνηγμάτων έπιμπκύνεων) που άντιστοιχεῖ είς μιά έπιφάνεια του διαγράμματος η οποία έκφραζει τήν ποσότητα της ένεργειας που χάνεται όπό μορφήν δερμότυπος κατά τό επάδιο της άποφόρτισης και έπαναφόρτισης του δοκιμίου.

MATERIAL:- ΥλΙΚΟ

Κράμα Διλούντιον

COMPOSITION:- Σύνθεση

TEST REF. No.: 5

FROM:- Ηπεί
TREATMENT:- Μεταχειρίσθη:
"Εγενήκυκλος με επαγ.
λαττίτες φορτίες - απο-
φρυνέεις μέχρι δραστικών

- 23 -
TEST PIECE:- Δοκίμιο
 $f_0 = 25,25 \text{ mm}$ $F_0 = 20 \text{ mm}^2$
d = 5,05 mm

RESULTS:-

Δολική έπιμηκυνση:
 $\Delta f = 20\%$

Σημικρυψη διατομής
 $\Delta F = 40\% F_0$

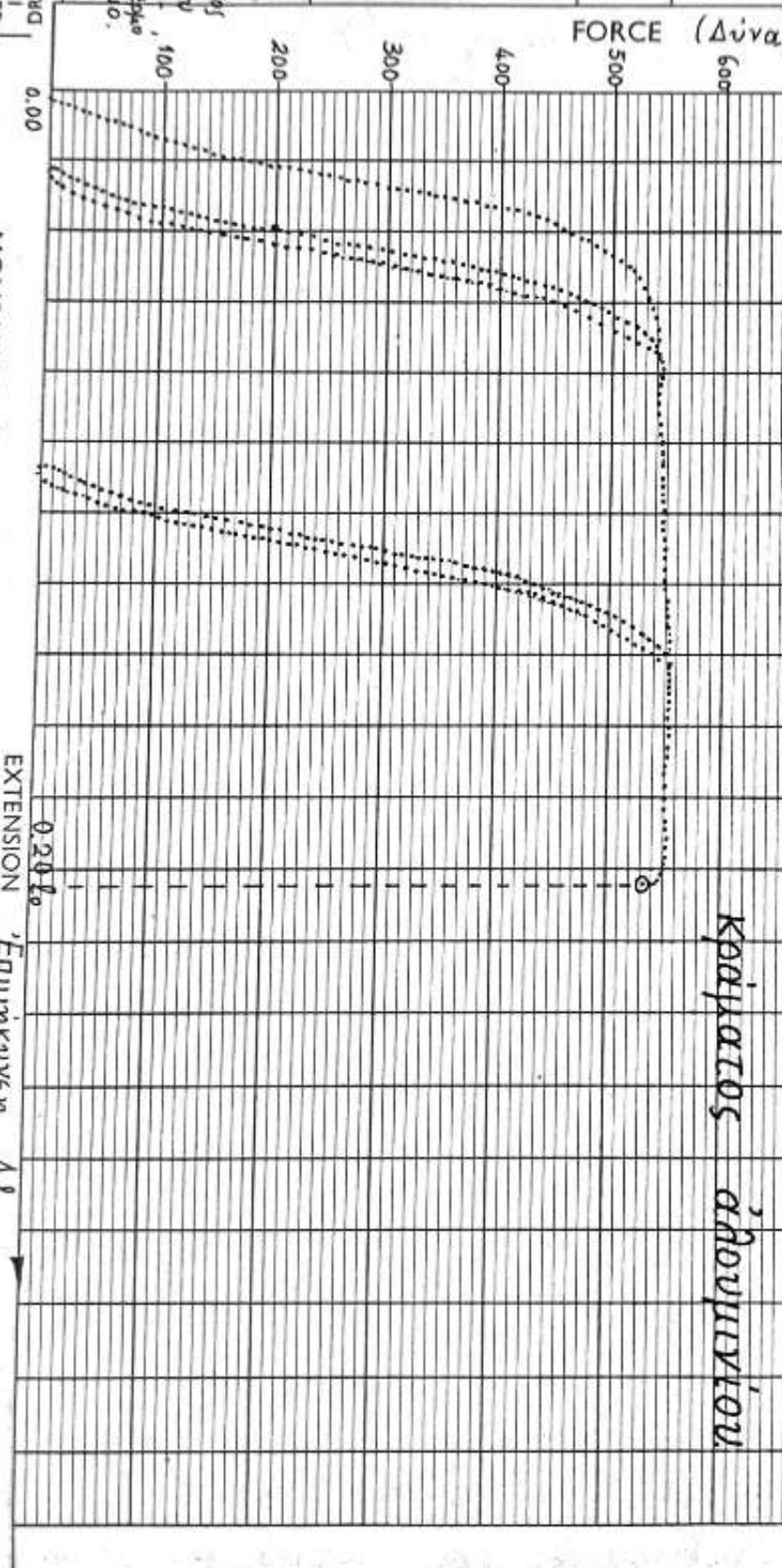
REMARKS:- Παρατηρήσεις:
Κατα στην απεριόριστη φόρτιση
εμφανίζεται ο λεγόμενος βρόγος
υειραρδεμένων παραγόντων οπου
έκερδεται την ενέργεια που καταρά.
SIGNATURE: Αθηναϊκό Κορψήν Θεραπείας
BEAM:- GRIPS:-

MAGNIFICATION:- 16, 8, 4, 2 to 1
DATE:- Ημέρα

Drum
No
LOT

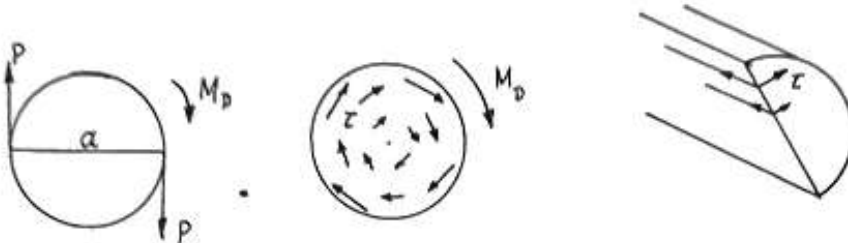
MONSANTO SWINDON, WILTSHIRE, ENGLAND

WHEN RE-ORDERING QUOTE A260-1



ΣΤΡΕΨΗ

Στρέψη ονομάζεται η απλή καταπόνηση που έμφανιζεται όταν σε δύο διακεκριμένες \uparrow διατομής ένως εύδυγραμμου φορέα ένεργον ζείχνη δυνάμεων, ιδία και αντίθετα, που η ροπή των P·α είναι η ροπή στρέψεως M_D .



Οι τάσεις που αντιτίθενται στη σφρεπτική καταπόνηση είναι διατυπικές, κι αυτό γιατί η κάθε διατομή, λόγω της σφρεπτικής ροπής που αντιτίθεται, τάσει να άλισθησε ώς πρός τη γενονική της. Άλλες οι διατυπικές τάσεις κείνει στην έγκαρδια διατομή του φορέα όπως και η M_D και δίνουν συνισταμένη ροπή ίση πρός τη M_D .

Στα όρια της διατομής οι τάσεις είναι έφαντόμενες του περιγράμματος της. "Όσο όμως προχωρούμε πρός το κέντρο βάρους της διατομής, οι τάσεις αλλάζουν μέγεθος και φορέα κατά φόρο που έξαρται από τη μορφή της διατομής, έλασσον μενευ ηλικίας, μέχρι μηδενισμού των. Αυτό συμβαίνει στο κέντρο βάρους της διατομής, που καλείται και μηδενικό σημείο.

Σε τομές που περιέχουν τὸν αξονα της διατομής που υπόκειται σε στρέψη, αντιτίθενται διατυπικές τάσεις, που είναι, σύμφωνα με τὸν νόμο του Cauchy, ιδία με τις αντίστοιχες διατυπικές τάσεις που αντιτίθενται σε κάθε θέση της διατομής.

Οι διατυπικές αυτές τάσεις είναι έπικινδυνες σε υλικά που εχουν μικρή αντοχή σε διάτυπη κατά τὸν αξονα του φορέα

των παρακάτω διευθυνσών έγκαρβια πρός αυτούς, όπως εμφαίνεται π.χ. με έναν ξύλινο φορία που οι ίνες του ένταση παραλληλεύ πρός τὸν ἄξονά του.

Η παραμόρφωση που προκύπτει από τὴν στρέψη, ενισχύεται εἰς εποφή μεταξύ δύο διατομῶν που απέχουν καλοία απόσταση μεταξύ των. Εύδειγμα που ἀρχικά ήσαν παράλληλευ πρός τὸν ἄξονα τῆς δοκοῦ που καταπονεῖται εἰς στρέψη, μεταβάλλονται εἰς ἐλικούδεις καμπύλεις. Είναι δέ οι παραμορφώσεις αυτές τόσο μικρές, που οι επειζόμενες με τὴν τάσην που ανατίθενται να ισχύει ὁ νόμος τοῦ Hooke για τὴν διάταξην

$$\tau = \gamma \cdot G.$$

Τὸ πρόβλημα υπολογισμοῦ τὸν μεγέθους καὶ τῆς διενδύνεσσεως τῶν τάσσων στρέψεως ἐξαρτάται ἀπὸ τὴν μορφὴν τῆς διατομῆς τῆς ράβδου που υπόκειται σὲ στρέψη.

Είναι πρόβλημα που λύνεται εὐκολα για τὴν περίτετρων κυκλικῆς διατομῆς, ἀλλά δυσχερέστερο για κάθε ἄλλη μορφὴ.

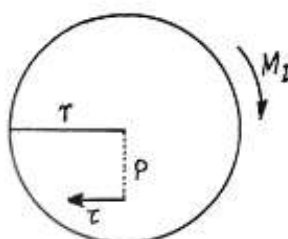
Η διατυπική τάση τ που ανατίθενται εἰς τὴν διατομήν που απέχει απόστασην ρ ἀπὸ τὸ K.B. τῆς διατομῆς, εναργήτερι τῆς ἐξωζερικῆς πονῆς στρέψεως M_D καὶ τῆς πολικῆς πονῆς ἀδρανείας J_P τῆς διατομῆς, είναι:

$$\tau = \frac{M_D}{J_P} \cdot \rho \quad (1)$$

"Αν θηρέθει ὡς ὅγειν ὅτι ἡ πολική πονή ἀδρανείας τῆς κυκλικῆς διατομῆς είναι:

$$J_P = \frac{\pi r^4}{2}$$

τότε ἡ (1) γράφεται: $\tau = \frac{2M_D}{\pi r^4} \cdot \rho$



Η μεγίστη διατυπική τάση στρέγεων θα εμφανίζεται στην περιμετρική της διατομής όπου η απόσταση $r = r$ γίνεται μέγιστη. Τότε η τάση γίνεται τ_{max} και έγραψε:

$$\tau_{max} = \frac{2M_D}{\pi r^3}$$

Η οδική γωνία στροφής των άκρων διατομών της ράβδου θα είναι:

$$\vartheta = \vartheta_1 \cdot l$$

όπου ϑ_1 η εδική στροφή ή αντηγμένη γωνία στροφής, δηλαδή η γωνία κατά την οποία στρέγεται μια διατομή στη δοκού ως πρός άλλη πού άπλευ αν' την πρώτη μοναδιαία απόσταση.

και l τό μήκος της ράβδου

$$\text{άλλα } \vartheta_1 = \frac{M_D}{G \cdot J_p}. \text{ οπότε } \vartheta = \frac{M_D}{G \cdot J_p} \cdot l = \frac{2M_D}{G \cdot \pi \cdot r^4} \cdot l.$$

όπου G τό μέτρο διατυπίσεως ή μέτρο ολισθίσεως του υλικού

Τό πείραμα της στρέγυς

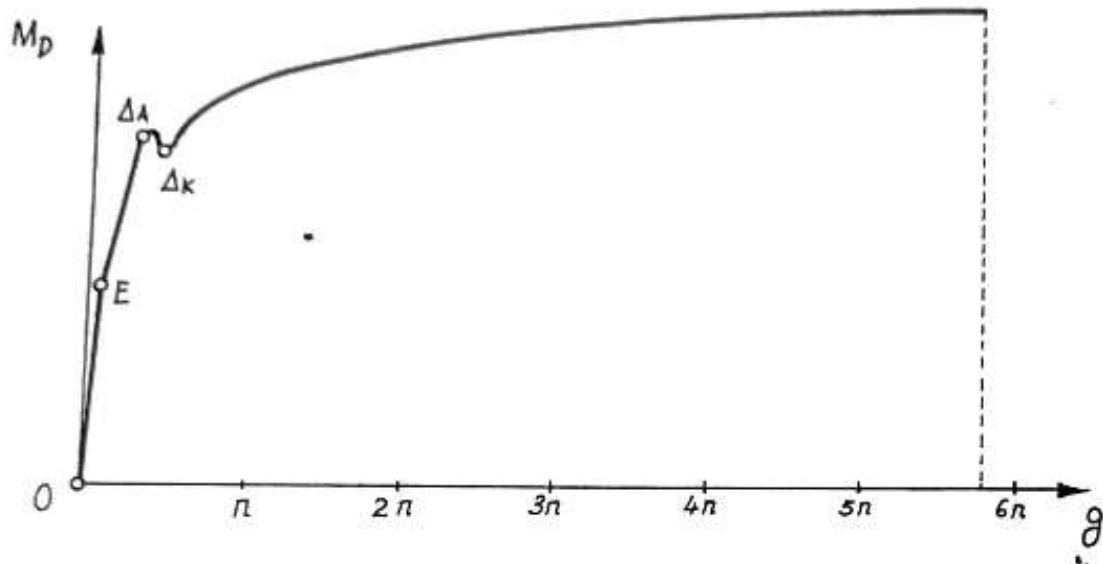
Άν σε μια μυχανή στρέγεων καταπονήσουμε ένα κυλινδρικό δοκίμιο σε καθαρή στρέγη, παρατηροῦμε στήν άρχην απόσταση αυξηντική της ροτής στρέγεων χωρίς να ανατυχθεῖ ομαντική παραμόρφωση στρέγεων.

Άν στήν περιοχή αυτή, μετά από κάποια φόρτιση αποφορίσουμε μέχρι την άρχική τιμή που ζεκτινίζαμε, παρατηροῦμε τότε διάγραμμα όπι δέν έχουμε καμιά παραμένουσα παραμόρφωση, και έπανερχόμαστε στήν άρχική κατάσταση του υλικού.

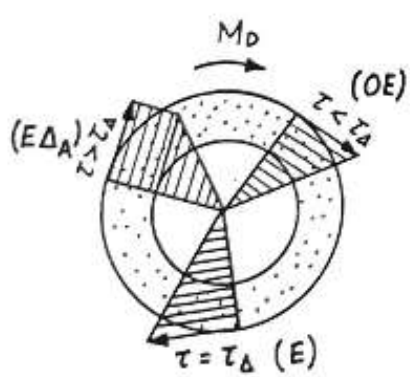
Η περιοχή αυτή έναι η περιοχή έλαστικότητας του υλικού.

Άν λαμβανούμε όμη στην ίδια διανομή των τάσεων στη

ράβδο δέν είναι ομοιόμορφη όπως στή δοκιμή έφελκυσμοῦ, οι παραμορφώσεις που δημιουργούνται αλλά τη σερίγη είναι ασύμμαχοι στην περιοχή αυτή, και τό διάγραμμα έχει τη μορφή μετακίνησεως του καταγραφικού δύκτου σχεδόν καθώς τόν άξονα σών τεταγμένων.



"Όταν η μέγιστη τάση γίνεται τόσο μέγιστη διαρροής του υλικού, τότε μικρή έξωσερική κυλινδρική σερώση αλλά τό υλικό άρχιζε να μπαίνει μέσα στην πλαστική περιοχή.



Μέση την αύξηση του φορτίου θίσενα και παχύσερες σερώσεις μπαίνουν μέσα στην πλαστική περιοχή και η κατανομή τών τάσεων και παραμορφώσεων είναι διάφορη αλλά την άντιστοιχη κατανομή είναι ξλαβσική περιοχή.

Τό διάγραμμα άρχιζε να δημιουργεί γόνυ, (σημείο E), αλλά η καμπύλη τών ροτών σερέγειας - γωνιών παραμορφώσεως έχακολούθει να είναι εύδεια μέσης αλληλού σημείων.

Η εύδεια αυτή άντιστοιχη είναι ξλαβσοπλαστική περιοχή και έρμηνεύεται αλλά τό γεγονός ότι, μέση την αύξηση του φορ-

τίου, θηράρχει ἀνάλογη αὐξηση τοῦ πάχους τῆς ολαβτικῆς εξωτερικῆς επρώσης.

Τὰ παραπάνω ἴσχυον μέχρις ὅτου ἡ διατομή εἰσέλθει μέσα στὴν ολαβτική περιοχή ὅπότε φθάνουμε στὸ καρκουριτικὸν σημεῖο, τὸ ὅριο διαρροῆς τοῦ θήλικοῦ ΔΑ, τὸ ὅποιο στὴν περίπτωση τῶν μαλακῶν χαλύβων παρουσιάζεται πολὺ καθαρό

"Όπως καὶ στὸ πείραμα τοῦ ἐφελκυσμοῦ γιὰ τὴν περίπτωση μαλακῶν χαλύβων, παρατηροῦμε καὶ ἐδῶ μιά περιοχὴ ὅπου ἡ σφρεντικὴ ροή πέφτει ἀπ' τὸ ἀνώτερο ὅριο διαρροῆς καὶ δημιουργεῖ μιά κοιλόσητα στὴν καμπύλη, που ἀντιστοιχεῖ στὸ κατώτερο ὅριο διαρροῆς ΔΚ.

Μετά τὸ πέραμα ἀπ' τὴν ζώην αὐτῆν, ἔχουμε μεγάλη παραμόρφωση τοῦ θήλικοῦ μὲν μικρή αὐξηση τῆς ροῆς επρέγεις καὶ σελικά, ὕστερα ἀπὸ πολλές περιστροφές τοῦ ὅλκιμου δοκιμίου, τὴν δραΐνην του.

Διάγραμμα επρέγεις ὅλκιμου θήλικοῦ (χάλυψα ST 37I) δίνει τὸ σχῆμα τῆς προπούμενης βελίδας.

"Όπως φαίνεται κι ἀπ' τὸ διάγραμμα παρατηροῦμε ὅτι γιὰ ὄμοιον θήλικά, ἔχουμε ἀνάλογη αὐξηση τῆς ροῆς επρέγεις μὲν τὴν αὐξηση τῆς γυνιάς επρέγεις

Ἐπίσης, πρίν ἀπ' τὴν δραΐνη, δὲν παρατηρεῖται καμιαί πτῶση τοῦ φορτίου που ἐπιβάλλεται, ὅπως στὸ διάγραμμα ἐφελκυσμοῦ λόγῳ δημιουργίας επενώνεται (λαμπού δραΐσεως)

Κάνοντας ἔνα ενδιατελέσμα τῶν δύο διαγραμμάτων, ἐφελκυσμοῦ - επρέγεις, θά μπορούμε νὰ ἀντιστοιχίσουμε τὴν περιοχὴν ἐλαττικότερος στὴν επρέγειη μὲ τὴν περιοχὴν ἀναλογίας στὸν ἐφελκυσμό, ἐνώ ἀντίστοιχα τὴν ἐλαττολαβτικὴν περιοχὴν στὴν εργασία μὲ τὴν περιοχὴν ἐλαττικότερος στὸν ἐφελκυσμό.

Περιγραφή και τρόπος λειτουργίας της μηχανής επρέγεωσ

Η μηχανή επρέγεωσ, εί δύγκριν μέ τη μηχανή ἐφελκυσμοῦ, παρουσιάζει μία μεγάλη αναλογική όμοιότητα. Κι' αντό, λόγω της ἀντίστοιχης όμοιότητας πού ὑπάρχει ἀνάμεσα στό πείραμα ἐφελκυσμοῦ και στό πείραμα επρέγεωσ.

"Όπως λοιπὸν στὴ μηχανή ἐφελκυσμοῦ ἔχουμε δύο ἄρπαγες (μία σταδερή και μία κινητή), ἔστι και στὴ μηχανή επρέγεωσ ἔχουμε δύο πάλι ἄρπαγες, ἀν' τις ὅποιες η μία εἶναι σταδερή, ἐνώ η ἄλλη μπορεῖ να περιεργέται.

Η ἐλεύθερη να περιεργέται ἄρπαγη, εἶναι προσαρμοσμένη εί δύα κινητό συγκρότημα πού μπορεῖ να ὅλισθαι μέ τη βοήθεια ἐνός αὐλακωτοῦ ὅδηγου εί δύναται καλύβδινο βραχίονα διαμέτρου $d = 72 \text{ mm}$.

Πάνω σ' αὐτό τό συγκρότημα ὑπάρχει μία μανιφέλα, η ὥνοια συνδέεται μέ τὴν περιεργεφόμενη ἄρπαγη μέσω ἐνός συστήματος γραναζιῶν πού ἔχουν δύναται συνέπεια, οἱ επροφές τῆς κινητῆς ἄρπαγης να μειώνονται ἀρκετά ὡς πρός τὴν ἀντίστοιχη επροφές τῆς μανιφέλας, μέ λόγο μειώσεως 1:60 πού σημαίνει ότι γιά να περιεργαφεῖ η κινητή ἄρπαγη κατά μία πλήρη περιεργοφή, δά πρέπει η μανιφέλα να ἔχει περιεργαφεῖ 60 φορές, η, πράγμα πού εἶναι τό τούδιο, ότι μία πλήρη επροφή τῆς μανιφέλας, ἀντίστοιχη εί γωνία περιεργοφή τῆς κινητῆς ἄρπαγης κατά $360^\circ / 60 = 6^\circ$.

Στό σύστημα αὐτό ὑπάρχουν ἐπίσημη δύο δίσκοι. Ἀν' αὐτούς, ο ἔνας εἶναι ὑποδιαιρεμένος εί μοιρεὶς και συνδέεται κατ' εὐθεῖαν μέ τὴν κινητή ἄρπαγη, ἐνώ ο ἄλλος εἶναι ὑποδιαιρεμένος εί τόξα 60° πού ἀντίστοιχαν εί περιεργοφή

τῆς κινητῆς ἄρπαγης κατά 1°.

Αὐτά ταί τοῖς τῶν 60° ὑποδιαιροῦνται σε 10 ἵσα
τμήματα, καὶ εἴσι ἔχουμε τὴν δυνατότητα νά μετρήσουμε
τὴν περιεργοφή τῆς κινητῆς ἄρπαγης μέ ακρίβεια ἐνός δε-
κάτου τῆς μοίρας. Βέβαια ἡ ὑποκειμενική μας ἐκτι-
μηνή εἶναι τὸν ποὺ νά μπορεῖ νά ἀντιληφθεῖ καὶ τὸ
μεταξύ τῶν ὑποδιαιρέσεων τῶν δεκάτων τῆς μοίρας διάστημα,
τὸτε μποροῦμε νά μετρήσουμε τὴν γωνία περιεργοφῆς τῆς
κινητῆς ἄρπαγης μέ ακρίβεια ἐνός ἑκατοστοῦ τῆς μοίρας!

Τέλος, πάνω· σέ δύστημα αὐτό τῆς κινητῆς ἄρπαγης
καὶ σέ δύστημα του μέρους, εἶναι προβαρμοβένος ἔνας μετρη-
τής ποὺ μετράει τὸν ἀριθμὸν εργάτων ποὺ ἔχει κάνει ἡ μα-
νιβέλα, δηλαδή μ' ἄλλα λόγια τὸ πλήθος τῶν 6 μοιρῶν εργ-
ῶν ποὺ ἔχει υποστεῖ ἡ κινητή ἄρπαγη.

Τόσο οἱ δυό δίκοι ὅσο καὶ ὁ μετρητής ἔχων τὴν δυ-
νατότητα νά μπενιζοργα.

Όλο αὐτό τό κινητό δύστημα ἔχει τὴν δυνατότητα νά
σταθεροποιεῖται σε ὅποιοδήποτε επμεῖο τοῦ βραχίονα - ὅδηγοῦ
του, μέ τὴν βούδεια ἐνός κοχλία ποὺ βρίσκεται σέ κάτω μέρους.

Οἱ δυό ἄρπαγες ἔχουν ἔξαγωνική ὑποδοχή για τὴν.
Εἴσοδο τοῦ δοκιμίου - ἔξαγωνικῆς μορφῆς - μέσα σ' αὐτές.

Η πλευρά τοῦ κανονικοῦ ἔξαγώνου τῆς ὑποδοχῆς ἔχει τὴν
δυνατότητα νά μεταβολήθεται ὁμοιόμορφα μέ τὴν βούδεια ἐνός
εφυγκτῆρα, για τά μπορεῖ εἴσι τό δοκίμιο νά εφίξει καλά
στὴν ἄρπαγη.

Ἄν ἔρθουμε τώρα σὲ τὴν σταθερή ἄρπαγη δά εναντίσουμε πρω-
τα τὴν ἔξαγωνική ὑποδοχή για τὴν εἴσοδο τοῦ δοκιμίου.

Ο ἄξονας αὐτῆς τῆς ὑποδοχῆς (ἄξονας τοῦ δοκιμίου) κα-
ταλήγει σε ἓνα ἔγκαρδα ὄριζόντιο στέλεχος ποὺ εἶναι ἔρ-

διαβιένο μέ μία ἀεροστάτην για νά διατηρήται πάντοτε ὄριζόντιο, ἐξαεραλίζοντας ἔτει τό ἀετρέπτο τῆς σταθερῆς πλευρᾶς τοῦ δοκιμίου.

Μέσω ἑνὸς μοχλοβραχίονος μήκους 12,5 cm τό στέλεχος αὐτό συνδέεται μέ ἓνα δυναμόμετρο πού μᾶς δίνει καζ' εὐδεῖαν τις ροτές στρέγεως τοῦ δοκιμίου σέ Nt.m.

Στήν ούσια τό δυναμόμετρο μετράει δύναμη, γιατί η ροτή στρέγεως πού ἀδειεῖται στή σταθερή ἀρνάγη, ἀν διαρεδεῖ μέ τό μήκος τοῦ μοχλοβραχίονα μᾶς δίνει δύναμη.

Αὐτή η δύναμη, λαμβανομένων ὑπ' οὐν ἀπό τόν καταβεκασμή ὅλων τῶν σταθερῶν πού υποστέρχονται στό ὄργανο, ἐκφράζεται καζ' εὐδεῖαν σέ Nt.m.

Γιά μικρομεγακινήσιμη στόν δείκτη τοῦ δυναμόμετρου καί κατά συνέπεια τή δυνατότητα μπενισμοῦ του, υπάρχει στό ἐπάνω τον μέρος ἔνας μικρός κοχλιας.

Σ' ἕνα πλαίσιο πάνω ἀπό τό δυναμόμετρο, εὑρίσκεται ἔνας ἄλλος κοχλιας μέ μορφή ροχοῦ, ὁ οὗτος ἔχει τή δυνατότητα νά ἀνεβάζει η νά κατεβάζει ὅλο τό δυναμόμετρο καλύπτοντας τήν ἐπιμήκυνση τοῦ ἐλαστρίου τοῦ δυναμομέτρου καί διατηρώντας τό στέλεχος τῆς σταθερῆς ἀρνάγης ὄριζόντιο.

Έκτελεση τοῦ πειράματος

Στήν ἀρχή σοποδετοῦμε τό δοκίμιο στή σταθερή ἀρνάγη καί τό σφίγκουμε μέ τόν κατάλληλο σφίγκτηρα. Ἀροῦ μετακινήσουμε τό κινητό συγκρότημα, σοποδετοῦμε τήν ἄλλη ἄκρη τοῦ δοκιμίου στήν ἐξαγωνική υποδοχή τῆς κινητής ἀρνάγης, καί μέ καταλληλη στροφή αὐτῆς μέσω τῆς μανιφέλας, τήν φέρνουμε στή σωστή τήν θέση, όπότε τήν σφίγκουμε στήν υποδοχή τήν συνέχεια ἀκινητοποιοῦμε τό συγκρότημα αὐτό στόν

μεγάλο βραχίονα (όδηγός) μέ τή βούδια τοῦ κάτω κοχλία
και ἀροῦ μὲ κατάλληλη σφροφή τῆς μανιβέλας ὄριζοντιονοι-
πδεῖ τό επέλεχος τῆς επαθερῆς ἀρπάγης, μπενίζεται τό
δυναμόμετρο, ὁ μετρητής σφροφῶν μανιβέλας και οἱ δύο δίκοι.

Τώρα ἡ μηχανή εἶναι έτοιμη νά ἐκτελέσει τό πείραμα.

Γυρνῶντας προοδευτικά, ἀργά επίν ἀρχή τή μανιβέλα, παίρ-
νουμε γιά τήν ἐλαστική περιοχή τοῦ διαγράμματος τῆς ροπής
επρέγεις ποὺ ἀνατύεσσονται στό δοκίμιο συναρτήσει τῶν γω-
νιῶν επρέγεις. (Μετρήσει ἀρά 1° ἢ 2°)

Συγχρόνως φροντίζουμε ὥστε μέ τόν κοχλία πού βρίσκεται
πάνω ἀν' τό δυναμόμετρο νά διατηροῦμε τό επέλεχος τῆς
επαθερῆς ἀρπάγης ὄριζόντιο.

"Αν περάσουμε τήν περιοχή διαρροῆς, τόσε οἱ τημές τῶν
ροπῶν επρέγεις πού δά παίρνουμε μποροῦν νά ἀντιστοιχοῦν σε
μεγαλύτερες ἢ πολὺ μεγαλύτερες γωνίες επρέγεις. Κι' αὐτό
γιατί επίν πλαστική πλέον περιοχή γιά νά πάρουμε μιά μι-
κρή μεταβολή τῆς ροπῆς επρέγεις δά χρειασθεῖ πιθανόν γωνία
περιστροφῆς ἵην πρός $\pi/2$, π , ἢ 2π .

Αὐτό φαίνεται ἀνάγλυφα στό δοκίμιο, μέ τις ἑλικώδεις πού
παρουσιάζονται επίν παράπλευρη ἐπιφάνειά του, ὕστερα ἀν τις
ἀρχικές γραμμές πού ἔχουμε κάνει προγονιμένως παράλληλες
επόν ἀξόνα του.

"Ετοι, μέ συντεταγμένες ϑ - Md , ἀντίστοιχα πρός τό πι-
ραμα ἐφελκυσμοῦ, παίρνουμε τό διάγραμμα επρέγεις κυλινδρικοῦ
πάντα δοκιμίου.

Χαρακτηριστικό αὐτοῦ τοῦ διαγράμματος, ὅπως αναφέρθηκε επί^σ
θεωρία του, εἶναι ὅτι επίν πλαστική περιοχή δέν ἐμφανίζεται
επένων τῆς διατομῆς, ἢ ὅποιοδήποτε προειδοποιητικό εποικεῖο
γιά τή δραμέη τοῦ δοκιμίου.

"Αρα η δραστική διάσταση γίνεται έντελως ζαφνικά, και τότε έπιπεδο δραστική διάσταση είναι έγκαρβο πρός τον αξονα του δοκιμίου, χωρίς αύτωμα λίες έφ' ούτον πρόκειται για οδκιμό ίδικό.

Η μέγιστη διαστική τάση που αναπτύγεται στην παράπλευρη έπιφάνεια του δοκιμίου, διά υπολογισμού αν' τη σειρά:

$$\tau_{\max} = \frac{2 M_d}{\pi r^3} = \frac{16 M_d}{\pi d^3}$$

όπου M_d η ροπή στρέγεων και d η διάμετρος του δοκιμίου.

Φυσικά η σχέση αυτή ισχύει για την περιοχή έλαστικότητας μέχρι την έμφανση του γόνατος, όπου ισχύει ο νόμος του Hooke για την διάσταση.

Στην έλαστοπλαστική περιοχή και μετά παίνε να ισχύει, διότι παίνε πλέον η γραμμικότητα της μεταβολής της διαστικής τάσεως σε ένα διατομή, λόγω της προοδευτικής της εξόδου σε ήνην πλαστική περιοχή.

Επίσημ, αν' τη σειρά:

$$\delta_{\theta_1} = \delta_1 \cdot l = \frac{M_d}{G \cdot J_p} \cdot l = \frac{2 M_d}{G \cdot \pi \cdot r^4} \cdot l = \frac{32 M_d \cdot l}{G \cdot \pi \cdot d^4},$$

λίγοτερας ως πρός G , παίρνουμε:

$$G = \frac{32 M_d}{\pi d^4} \cdot \frac{l}{\delta_{\theta_1}}$$

όπου φαίνεται η γωνία των ακραίων διατομών του δοκιμίου σε την περιοχή ΕΛΑΣΤΙΚΟΤΗΤΟΣ, όπούτε μπορούμε να υπολογίσουμε την τιμή του μέτρου διαστικής τάσεως η ολιθρότερως του ίδικου, και στη συνέχεια, αν' τη σειρά:

$$G = \frac{E}{2(1+\mu)} \Rightarrow E = 2(1+\mu) G$$

να υπολογίσουμε τό μέτρο έλαστικότητας του ίδικου, όπου μέτραι οι εντατικέστερές έγκαρβισμένες ταπετσαλίες του.

Για τους χάλυβες οι τιμές του μέτρου είναι $0,25 \div 0,35$ έντατης έγκαρβισμένης ταπετσαλίες $\mu = 0,30$.

ΜΕΤΡΗΣΕΙΣ ΠΑΡΑΜΟΡΦΩΣΕΩΝ

Άναλυσις καταπονήσεως χαλυβδίνης δοκοῦ διά τῆς χρήσεως δεικτῶν καταπονήσεως ηλεκτρικῆς άντιστάσεως.

Γενικά

Στό κεφάλαιο αὐτό, πού ἀποχελεύ βασικά ἔνα τμῆμα τῆς ὕλης στό μάδημα τῆς Εἰδικῆς Ηλεκτροζεχνίας δά αναπυρχθοῦν οἱ τρόποι μὲ τοὺς ὄποιους γίγονται οἱ μετρήσεις τῶν μηχανικῶν γάσεων ἀπό ἐφελκυσμό, κάμψη κ.λ.π. μὲ ηλεκτρικές μεθόδους. Σκοπός ἔναι νά δοδεῖ στοὺς επονδαστές ή εὐκαιρία νά γνωρίσουν μιὰ σημαντική ἐφαρμογή τῆς Ηλεκτροζεχνικῆς πράξεως πού ἀφορά εέ δεμάτα ἀμέσου ἐνδιαφέροντος τοῦ Μηχανικοῦ.

Ο πειραματικός προβδιορισμός τῶν μηχανικῶν γάσεων δά γίνει μὲ τὰς λεγόμενες "ταινίες ἐπιμηκύνεως".

Γιά τὴν καλύτερη κατανόηση, δά περιληφθοῦν οἱ πιό ἀπαλτεγμένες αἵ τη δεωρία ἐλαστικότητος.

Οι πρὸς τὴν χρηματοοίνην τοῦ ὄρου "ταινία ἐπιμηκύνεως" αὐτή δικαιολογοῦται ἐπεδή ή μεταβολή τῆς ηλεκτρικῆς ἀντίστασεως τοῦ ἀγωγοῦ τῆς ταινίας, μᾶς δίνει ἔνα μέρος τῆς ἐπιμηκύνεως στό δοκίμιο πού υφίσταται τὴν καταπόνησην.

Τό 1856 ὁ Αόρδος Kelvin βρήκε μιὰ σημαντική ἰδίωτη πού χαρακτηρίζει τοὺς μεταλλικούς ἀγωγούς. Κατά τὴν ἰδίωτην αὐτήν, μιὰ μηχανική καταπόνηση εέ μεταλλικό ἀγωγό, μετέβαλε ε' αὐτὸν τὴν ηλεκτρική του ἀντίστασην.

Τό ἐνδιαφέρον αὐτό ἐπαναλήθυνκε τό 1935 στά πειράματα τῶν Carlson και Simmons. Τό 1939 ὁ Ruge στό M.I.T. (Η.Π.Α.) πραγματοποίησε τὴν πρώτη μορφή τῆς ταινίας ἐπιμηκύνεως καθὼς ἐπέιχε τὴν ἴδεα νά συμβαίνει ἔναν μεταλλικό ἀγωγό πάνω εέ ἔνα λευκό φύλλο χαρτιοῦ τό ὄποιον δά ἐκολλάζει στὸν κατα-

πονουμένη κατασκευή.

Μέ τη βούθεια τῶν ταινιῶν ἐπιμηκύνεως εἶναι δυνατόν νά μετρηθῇ μιά μηχανική καταπόνηση, μέ τὴν ἀντίστοιχη μέτρηση τῆς μεταβολῆς τῆς ηλεκτρικῆς ἀντίστασεως τοῦ μεταλλικοῦ ἄγωγοῦ, ὡς ὅποιος ὑπόκειται στὴν καταπόνηση αὐτῆ.

Η νέα τεχνική ἐπέδρευε νά ἐπιτευχθοῦν ποιοτικά ἀποτελέσματα καὶ νά ἐλαπιδευτεῖ ἔνας μεγάλος ἀριθμός νόμων τῆς ἀντοχῆς τῶν ύλικῶν, σὲ καταστάσεις ὅπου οἱ παλιότερυ μέθοδοι δέν ἤταν δυνατόν νά δώσουν ἀκριβεῖς ἀλατήσεις.

Ἐπέδρευε σὲ πολλές περιττώσεις νά ἐλαττωθοῦν οἱ συντελεστές ἀναγεννήσιας, ιδίως σὲ περιττώσεις ὅπου ἐπιδιώκεται ἡ ἐλαφρότητα τῆς κατασκευῆς (ἀεροναυπηγική, αὐτοκίνητα κ.λ.π.).

Η ἀδιάκοπη τελειοποίηση ὡς πρὸς τὸν χρηματοοιούμενο ἄγωγό τῆς ταινιας ἐπιμηκύνεως, τὴν κολλητική οὐσία, τὸ χαρτί, καθιέρωσε τὴν μέθοδο αὐτήν εἰνα ἀκριβές μέσο μετρήσεως:

Γιά τὴν ἀναγωγή τῆς μεταβολῆς τῆς ηλεκτρικῆς ἀντίστασεως σὲ μέγεδος μηχανικῆς μεταβολῆς ἀλαιτεῖται ὁ καθοριζόμενος μιᾶς σταθερᾶς.

Ἐπιδή ἡ μηχανική καταπόνηση ἔχει εάν μέρος τὴν ἀντίστοιχη ἐπιμήκυνση τοῦ καταπονούμενου τεμαχίου, γι' αὐτὸν δὰ βιτρηθῇ μιά σχέση ἀνάμεσα σὲ τὴν μεταβολή τῆς ηλεκτρικῆς ἀντίστασεως τοῦ ἄγωγοῦ καὶ τῆς ἀντημένης ἐπιμηκύνεως.

Η σχέση αὐτή ὅριζεται σὲ πολυτομένη σταθερά, ἡ ὅποια δά ὄρμαζεται "συντελεστής K ", καὶ εἶναι: $K = \delta R/R / \delta \varphi / \varphi$.

Καθοριζόμενός τοῦ συντελεστοῦ K

Η ταινία ἐπιμηκύνεως συνίσταται ἀπό ἔνα ἐπίυεδο εἴλιγμα τοῦ ἄγωγοῦ, σερεωμένο πάνω σὲ ἔνα λεπτό φύλλο χαρτιοῦ ἢ πλαστικοῦ. Ο ἄγωγός παρουσιάζει ἀντίσταση R . "Εօτως ἡ το-

μῆκος τοῦ ἀγωγοῦ καὶ D ἡ διάμετρός του.

Κατά τὴν παραμόρφωσην τοῦ ἀγωγοῦ ἡ διάμετρός του δάι μειωθεῖ κατά $\mu \cdot \varepsilon \cdot D$ δῆλον μὲν ὁ εὐνελεῖτης ^{εγκαρπεῖας ευεργόλης} τοῦ Poisson καὶ $\varepsilon = \Delta l/l$ ἡ ἀντιμέτων ἐπιμήκυνση.

Η μεταβολή τῆς διατομῆς τοῦ ἀγωγοῦ δάι εἶναι:

$$\delta S = \frac{\pi D^2}{4} - \frac{\pi (D - \mu \cdot \varepsilon \cdot D)^2}{4}$$

$$\text{ἢ } \delta S = \frac{\pi D^2}{4} [1 - (1 - 2\mu\varepsilon + \mu^2\varepsilon^2)] = \frac{\pi D^2}{4} (2\mu\varepsilon - \mu^2\varepsilon^2)$$

Η ἀντίστοιχη μεταβολή επὶ τὴν ἀντιστασὴν R τοῦ ἀγωγοῦ, ἡ ὥνοια προέρχεται ἀπὸ τῆς μεταβολῆς μόνον τῆς διατομῆς, δάι εἶναι:

$$\delta R_1 = R \frac{\delta S}{S} = R (2\mu\varepsilon - \mu^2\varepsilon^2)$$

Κατὰ τὸν ἕδιο χρόνο, ἡ μεταβολή τῆς ἀντιστασῆς R , ἡ ὥνοια προέρχεται μόνον ἀπὸ τὴν ἐπιμήκυνσην τοῦ ἀγωγοῦ δάι εἶναι:

$$\delta R_2 = R \frac{\delta l}{l} = R \cdot \varepsilon$$

Η ὅλη μεταβολή τῆς ἀντιστασῆς R δάι εἶναι:

$$\delta R = \delta R_1 + \delta R_2$$

$$\text{ἢ } \delta R = R (2\mu\varepsilon - \mu^2\varepsilon^2) + R \cdot \varepsilon \quad \text{ἢ } \frac{\Delta R}{R} = \varepsilon (1 + 2\mu - \mu^2\varepsilon)$$

καὶ ἄντα ἀποδεῖ νῦν ὅγιν ὅτι ὁ εὐνελεῖτης K ἴσος ταῖς μέ

$$K = \frac{\delta R/R}{\delta l/l} = \frac{\delta R/R}{\varepsilon}$$

Τότε δάι εἶναι:

$$K = 1 + 2\mu - \mu^2\varepsilon.$$

Εάν τὸν $\mu^2\varepsilon$ τὸν παραλείγοντα ὡς πολὺ μικρόν εἴχεσθαι μὲν τοὺς ἄλλους δῆλο δάι ἔχουμε τελικά

$$K = 1 + 2\mu.$$

Ο εὐνελεῖτης K ἐξαρτᾶται ἀπὸ τὸν λόγο τοῦ Poisson.

"Οταν εἶναι γυναῖκας ὁ θόρος αὐτῶν για τὸν ἀγωγό τῆς ταινίας εἰμικύνεως τότε εἶναι καθαρισμένος καὶ ὁ συνελεστής Κ.

Έκλογή τοῦ ἀγωγοῦ

Γιά τὴν ἐκλογή τοῦ ἀγωγοῦ τῆς ταινίας εἰμικύνεως λαμβάνονται ὥν' οὕτων οἱ παρακάτω σημαντικοὶ παράγοντες.

α. Ο συνελεστής Κ πρέπει νὰ εἶναι ὅσο τὸ δυνατόν μεγαλύτερος, ὥστε νὰ ἐπιτευχθῇ ἡ μεγαλύτερη δυνατή εύαισθησία.

β. Η ἀριστασία τοῦ ἀγωγοῦ τῆς ταινίας εἰμικύνεως πρέπει νὰ εἶναι ὅσο τὸ δυνατόν μεγαλυτέρας τυμῆς, ὥστε νὰ ἐλαττώνεται ἡ ἐπίδραση τῶν παρασίτων ἀντιστάσεων.

γ. Ο συνελεστής Κ τῆς ταινίας εἰμικύνεως πρέπει νὰ παραμένει σταθερός γιά ἕνα εὖρος μετρήσεων, ὅσο τὸ δυνατόν μεγαλύτερο.

δ. Ο συνελεστής Δερμοκρασίας πρέπει νὰ εἶναι χαμηλός

ε. Τὰ ἀποτελέσματα ἀπὸ τὰ Δερμοπλεκτικά φαινόμενα λόγῳ τῆς συγκολλήσεως τοῦ ἀγωγοῦ τῆς ταινίας καὶ τῶν ἀγωγῶν συνδέσεως πρέπει νὰ εἶναι ἀμελητέα.

"Όπως καθορίστηκε προηγουμένως, ὁ συνελεστής Κ εξαρτάται ἀπὸ τὸ θόρο τοῦ Poisson, ὁ ὄνοιας δὲν εἶναι πολύ καλά γνωστός, ἵδιως γιά λεπτούς ἀγωγούς, ὅπως εἶναι οἱ ἀγωγοί τῶν ταινιῶν εἰμικύνεως.

Η τυμή τοῦ Κ, γιά τοὺς διαφόρους τύπους τῶν ταινιῶν εἰμικύνεως, εὑρίσκεται μεταξύ τῶν ὅριων 2,0 καὶ 3,6. Οἱ αὐτοχέτες αὐτές, δίνονται ἀπὸ τοὺς κατασκευαστές μεταξύ τῶν ὅριων $\pm 1\%$ έως $\pm 3\%$.

Καθεται ταινία εἰμικύνεως μετράται ἀκριβῶς ὡς πρὸς τὴν ἀντισταση τὴν ὄνοια παρουσιάζει ὁ ἀγωγός της. Συνήδωμα προσέρχονται ταινίες ὠμικῆς ἀντιστασῆς 120° , 300° καὶ 600° .

Χαρακτηριστικά τῶν ταινιῶν ἐπιμηκύνεως

Τὰ χαρακτηριστικά, δηλαδὴ οἱ ἴδιότητες τῶν ταινιῶν ἐπιμηκύνεως διαφέρουν ποδοτικά ἀπὸ ταινία σὲ ταινία.

Η διαφορά αὐτή προέρχεται ἀπὸ τὸ γεγονός ὅτι ἡ μεταβολή τῆς ἀντιτιτάσεως ποὺ προκαλεῖται ἀπὸ τὴν ἀντίτιτοικην ἐπιμήκυνση, εἶναι πολλές φορές μικρή σὲ σχέση μὲ τὴν μεταβολή τῆς ἀντιτιτάσεως ποὺ προκαλεῖται ἀπὸ ἄλλη αἰτία, ὥστα εἶναι ἡ δερμοκρασία, ἡ ὑγρασία κ.λ.π. Επίσης ἡ διαφορά αὐτή προέρχεται ἀπὸ τὸ μὴ σωστές συνθήκες χρησιμοποιήσεως τῶν ταινιῶν, ὥστα εἶναι ἡ τοποθεσία, ἡ κόλληση, ἡ ζήρανση κ.λ.π.

Σήμερα καταβάλλεται εημαντική προβοάτεια, ὥστε οἱ διάφορες αἰτίες καὶ συνθήκες ποὺ ἐπιφέρουν τὶς ανωμαλίες καὶ διατάραξές επὶ μέτρην να' περιορίζονται εημαντικά.

Παρ' ὅλα αὐτά οἱ ποδοτικές διαφορές μεταξύ τῶν ταινιῶν ὑπάρχουν, χωρὶς να' ὑπάρχει ἀνάμεσά τους καμία ταύτη.

Μέτρην τοῦ λόγου ΔR/R

Γιά τὴν μέτρην τοῦ λόγου $\Delta R/R$, δηλαδὴ τὴν σχετική μεταβολής τῆς ἀντιτιτάσεως τοῦ ἀγωγοῦ τῆς ταινίας ἐπιμηκύνεως, χρησιμοποιούντας τέσσερα στάδια, τὰ ὃνοια εἶναι δυνατόν να' συναθθοῦν μὲ δριβμένους τρόπους ὥστε να' προσδοτηθεῖ τὸ κύκλωμα τῶν ταινιῶν ἐπιμηκύνεως ἀρχικά, καὶ σελικά να' καταγραφεῖ ἡ μέτρην σὲ ἔνα ὄργανο, τὸ ὃποιο εἶναι εἴτε γαλβανόμετρο, ἢ μιλιαμπερόμετρο, εἴτε ἔνα ταλαντοκόπιο ἢ ταλαντογράφος.

a. Τὸ κύκλωμα τῶν ταινιῶν ἐπιμηκύνεως εἶναι δυνατόν να προσδοτηθεῖ εἴτε ἀπὸ συνεχές εἴτε ἀπὸ ἐναλαβόμενο ρεῦμα.

b. Στὸ κύκλωμα τῶν ταινιῶν ἐπιμηκύνεως μετράται ἡ διαφορά δυναμικοῦ ποὺ προκαλεῖται ἀπὸ τὴν μεταβολή τῆς

άντιστάσεως ούτερα αλλ' την επιμήκυνση που ἐφαρμόζεται
επί ταῖς.

γ. Ταὶ μεγέθη τοῦ κυκλώματος τῶν ταῖνιῶν επιμηκύνεως
εἰσέρχονται σὲ ἔνα κύκλωμα ἐνισχύεως.

δ. Ταὶ μεγέθη τοῦ κυκλώματος τῶν ταῖνιῶν επιμηκύνεως
εἰσέρχονται σὲ ἔνα κύκλωμα διαμορφωτοῦ.

Η μεταβολή τῆς ἀντιστάσεως τῆς ταῖνιας επιμηκύνεως με-
τράται ὡς μεταβολή τοῦ μεγέθους τῆς τάξεως ή ἐντάσεως.

Ἐάν η ἀπόκλιση τοῦ ὄργανου μετρήσεως τῆς μεταβολῆς αὐτῆς
τῆς τάξεως η ἐταῖσθαι μᾶς δίνει ἔνα μέτρο τῆς μεταβολῆς
τῆς ἀντιστάσεως, τότε ἔχουμε τὴν μέθοδο τῆς ἀποκλίσεως.

Πολλές φορές η ἀπόκλιση αὐτή μᾶς δίνει καὶ τὴν τιμήν
τῆς ανηγμένης επιμηκύνεως ε, ἐφ' ὅσον ετός ὄργανο ἔχει
ληφθεῖ ώντας ὅγιν οἱ συνελεύσεις K.

Ἐκτὸς τῆς μέθοδου τῆς ἀποκλίσεως γιὰ τὴν μέτρην, χρη-
ματοποιεῖται καὶ η μέθοδος τοῦ μπδενός.

Σύμφωνα μὲ τὴν μέθοδο αὐτή, η δέση iεopponias ἀντιστοιχεῖ
μὲ τὸ μπδέν τοῦ ὄργανου μετρήσεως.

Μετὰ τὴν φόρτιση, τό ὄργανο ἀποκλίνει, δύοτε μὲ τὴν βοη-
θεία τῶν μεταβλητῶν ἀντιστάσεων τῆς συστενῆς ἐξιερροπούμε
πάλι τὴν διάταξην τοῦ κυκλώματος, ὡς ὅσου ἐπανέλθει τό
ὄργανο στὴν ἀρχική του δέση, δηλαδή ετός μπδέν.

Η μεταβολή τῶν ἀντιστάσεων αὐτῶν μᾶς δίνει ἔνα μέτρο
τῆς μεταβολῆς τῆς ἀντιστάσεως επί ταῖνια επιμηκύνεως.

Η ἀκρίβεια τῶν μετρήσεων μὲ ταῖνιες επιμηκύνεως δέχεται
τὴν ἐπίδραση πολλῶν παραγόντων. Τό μέγιστο δυνατό σχετικό
εργάλιμα, δίνεται αὖτις τὴν εκεῖνη:

$$F = C_1 \cdot C_2 \cdot C_3 \cdot C_4 - 1$$

ὅπου :

C_1 : εφάδμα ἀν' τὴν γέφυρα μετρήσεως, ἀν' ταῖς καλώδια, ἀν' τὴν μή πλήρη αὐτοεπάθμιην τῆς δερμοκρασίας καὶ ἀν' τὴν ἀνάγνωσην κατὰ τὴν μέθοδο τοῦ μηδενός.

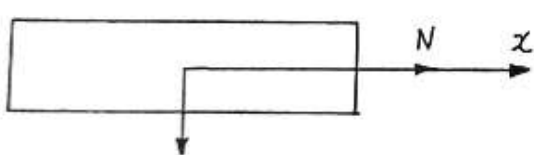
C_2 : εφάδμα ἐξαρτώμενο ἀπὸ τὸ χρόνο, ἀν' τὴν γήρανση τῶν ταινιῶν ἐπιμηκύνεως, ἀν' τὴν ἐπίδραση τῆς υγρασίας.

C_3 : εφάδμα ἐξαρτώμενο ἀπὸ τὸ χρόνο, ἀν' τὴν ὀλίσθηση τῶν ταινιῶν.

C_4 : εφάδμα ἀπὸ τὴν μή ἀκριβή γνώση τοῦ συγχελεετοῦ K , ἀν' τὴν νότερην, ἀν' τὴν ἀνάγνωσην κατὰ τὴν μέθοδο τῆς ἀποκλίσεως.

Πειραματικός προβολοριθμός τῶν μηχανικῶν τάσεων διά τῶν ταινιῶν ἐπιμηκύνεως.

Η γνώση τῶν παραμορφώσεων, δηλαδὴ τῶν γεωμετρικῶν μεταβολῶν τοῦ συστήματος, οἵ δύοις ὁρείλογαι εἰς ὑπάρχουσες μηχανικές τάσεις καὶ ἡ γνώση τῶν μηχανικῶν τάσεων ἐξ καίτερος τοῦ επερεοῦ σώματος μᾶς παρέχεται ἀπὸ τῆς δεωρία τῆς ἐλαστικότητος.



Ἄσ πειραματούμε μιά δοκό μέδιομορφη διατομή F , πού ὑποκεται εἴ τροπή δύναμη N , ἡ

ὅποια ἐφαρμόζεται επόκεντρο βάρους τῆς διατομῆς.

Ἄν ἡ δύναμη N διενδύνεται πρὸς ταῖς αὐξανόμενα \times δά ἔχουμε τὴν περίτωση τοῦ ἐφελκυσμοῦ, ἄν διενδύνεται πρὸς ταῖς μειούμενα \times δά ἔχουμε τὴν περίτωση δλίγεως.

Όπως εἶναι γνωστό, ἡ μηχανική τάση δά ἔχει τιμή :

$$\sigma = N/F$$

ἄν δέ ϵ , εἶναι ἡ παραμόρφωση πού ἀντιστοιχεῖ πρὸς τὴν

διεύθυνση τοῦ ἄξονος x , τότε:

$$\varepsilon_1 = \frac{\sigma_1}{E}$$

ὅπου E τὸ μέρος ἐλαστικότητος. Η παραμόρφωση κατά διεύθυνση καίεται πρὸς τὸν ἄξονα τῶν x , διὰ τοῦτο, ὅπως εἴναι γνωστό ἀν' τὴν γενικεύουσαν τοῦ νόμου Hooke,

$$\varepsilon_2 = -\mu \frac{\sigma_1}{E} = -\mu \varepsilon_1$$

ὅπου μ ὁ λόγος τοῦ Poisson.

Μέ τὴν χρήση τῶν ταινιῶν ἐπιμηκύνεως δά προβλαδήσουμε να μετρήσουμε τὴν ε_1 , δηλ. τὴν παραμόρφωσην κατά τὴν διαμήκη ἔννοια, καθὼς ἐπίσημη και τὴν ε_2 , δηλ. τὴν παραμόρφωσην κατά τὴν ἔγκαρσια ἔννοια.

Εἶναι δέ προφαρέσ, ὅτι ἡ τιμὴ τῆς ε_1 διά δώδεκα και τὴν τιμὴν τῆς μηχανικῆς τάσεως σ_1 .

Διαδικασία μετρήσεως.

Ἀπαιτεῖται μία μέτρηση πρὸ τῆς φορτίσεως ἔτσι ὥστε να γίγεται ἡ ἐξισορρόπηση τῆς γεφύρας, και μία μέτρηση μετά τὴν ἐπιβολή τῆς φορτίσεως.

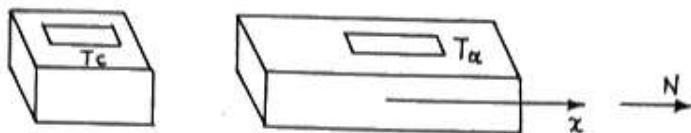
Η διαφορά αὐτή δίνει τὸ μέρος τῆς μεταβολῆς τῆς ἀντιστάσεως. Οἱς οἱ ταινίες ἐπιμηκύνεως οἱ ὄποιες συνοδεύονται εἶναι τῆς ἴδιας τιμῆς. Εἶναι δυνατόν να χρησιμοποιοῦν διάφοροι γρότοι συνδέσεως ἀνάλογα μὲ τὸ εἶδος τῆς μετρήσεως, τὸ ὄποιο ἐπιθυμεῖ κανεὶς να πραγματοποιεῖ, και ἀνάλογα μὲ τὸ δυνατότητας ποὺ προσφέρει τὸ δοκίμιο. Υπέρα ἀν' αὐτά, διακρίνουμε τὸν ἑταῖρον μεδόδους.

Πρώτη μέθοδος

Όνομάζουμε Τα τὴν ἐνέργεια ταινία και Τα τὴν ταινία για τὴν δερμοκραβιακή ἀντιστάσματα, ἢ γενικά τὴν ταινία πού ἀντι-

εταδημίζει τις παραίτες ένέργειες.

Η Τc κολλάεται πάνω σε ένα τεμάχιο αλλ' τό γύριο υλικό, αλλ' τό όποιο άποτελείται τό δοκίμιο, τό όποιο ίμως δέν υπόκειται σε καμπία φόρτιση.



Η ορδή δύναμη N δίνει μια παραμόρφωση, που προκαλεῖ μια μεταβολή στην άντισταση της ταινίας Ta . Μέ τη βοήθεια του ευντελεστού K γράφουμε:

$$\frac{\Delta R}{R} = K \cdot \varepsilon_1$$

$$\therefore \varepsilon_1 = \frac{1}{K} \left(\frac{\Delta R}{R} \right)$$

όποτε η μηχανική τάση σ_1 θα είναι:

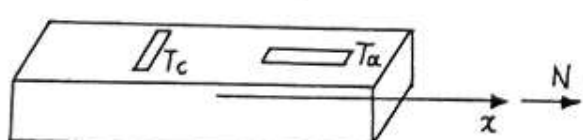
$$\sigma_1 = \varepsilon_1 \cdot E = \frac{1}{K} E \left(\frac{\Delta R}{R} \right)$$

η τιμή της $\Delta R/R$ μας παρέχεται από την μέτρηση.

Δευτέρα μέθοδος

Η δευτέρα ταινία άντιστασμάτων χρησιμοποιείται για την αύξηση της εύσιεσης της διατάξεως. Γι αυτό κολλάεται κατά διεύθυνση κάθετη πρὸς τη διεύθυνση της ένεργου ταινίας.

Η συνολική μεταβολή της άντιστασης των δύο ταινιῶν θα προέρχεται από την παραμόρφωση ε_1 , κατά την διαμήκη διεύθυνση και την παραμόρφωση $\varepsilon_2 = -\mu \cdot \varepsilon_1$, κατά την έγκαρσία διεύθυνση: αρά:



$$\frac{\Delta R}{R} = K \cdot \varepsilon_1 - K \cdot \varepsilon_2$$

$$\therefore \frac{\Delta R}{R} = K \cdot \varepsilon_1 + K \cdot \mu \cdot \varepsilon_1$$

$$\text{αρά: } \frac{\Delta R}{R} = K \cdot \varepsilon, (1+\mu) \Rightarrow \varepsilon_1 = \frac{1}{K(1+\mu)} \left(\frac{\Delta R}{R} \right)$$

και η μηχανική τάση σ_1 , διά είναι:

$$\sigma_1 = E \frac{1}{K(1+\mu)} \left(\frac{\Delta R}{R} \right) \quad (1)$$

αν τώρα ληφθεὶς ήτού ογκός στι: $G = \frac{E}{2(1+\mu)}$
τότε διά είναι:

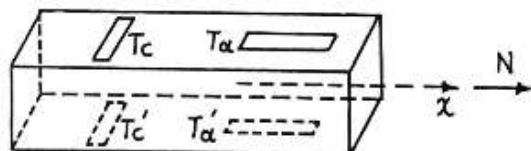
$$\sigma_1 = \frac{2}{K} G \left(\frac{\Delta R}{R} \right)$$

Ωπως είναι γνωστό, η μεγίστη διασπυρική τάση έμφανιζεται σε μια διαγώνιη πολύ σκηματίζει γωνία 45° με τη διεύθυνση σ_1 . "Υπερα αν' αυτό διά έχουμε:

$$\tau = \frac{\sigma_1}{2} = \frac{1}{K} \cdot G \left(\frac{\Delta R}{R} \right)$$

Τρίτη μέθοδος

Χρησιμοποιούμε τέσσερες τανίες, δύο ένεργους και δύο άνεργα μίσεως. Με τη μέθοδο αυτή απαλείφονται δλαγοί οι παρασίτες έριδρασευ και αυξάνει εἰς τό μέγιστο ή εναλογικά της διατάξεως.



Η ευνολική μεταβολή της άντερασέως διά είναι αποτέλεσμα της διαμήκους έπιμηκύνσεως ε_1 , αν' την T_a και της ε_2 , αν' την T_a' καθώς και της έγκαρσίας έπιμηκύνσεως με, αν' την T_c και της $\mu\varepsilon_1$, αν' την T_c' . Άρα διά είναι:

$$\frac{\Delta R}{R} = K (\varepsilon_1' + \varepsilon_2'' + \mu\varepsilon_1' + \mu\varepsilon_2'')$$

Με την προϋπόθεση ότι $\varepsilon_1' = \varepsilon_2'' = \varepsilon_1$, η προηγούμενη εξίσων γράφεται: $\frac{\Delta R}{R} = 2K\varepsilon_1(1+\mu) \Rightarrow \varepsilon_1 = \frac{1}{K} \cdot \frac{1}{2(1+\mu)} \left(\frac{\Delta R}{R} \right)$

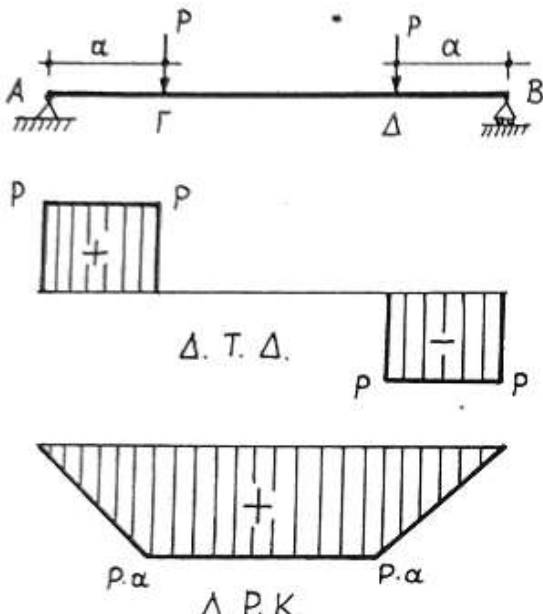
καὶ ἄρα

$$\sigma_1 = \frac{1}{K} \cdot \frac{E}{2(1+\mu)} \cdot \left(\frac{\Delta R}{R}\right)$$

$$\text{η} \quad \sigma_1 = \frac{1}{K} \cdot G \cdot \left(\frac{\Delta R}{R}\right)$$

Καθαρή κάμψη

"Αν σέ ίσες ἀλογατάσεις ἀν' τά επιμέτρα συντίξεως μιᾶς ἀμφιέρευστης δοκοῦ ἐνεργούσου δυό ίδια φορτία, τόσε ὡς γνωστόν, τό μεταξύ τῶν φορτίων τμῆμα τῆς δοκοῦ ὑπόκειται σὲ καθαρή κάμψη. Πράγματι, ὅπως παραπροῦμε ἀν' τό



διάγραμμα τεμνοντῶν δινάμεων, τούτο τμῆμα ΓΔ τῆς δοκοῦ, ἢ σέμνουντα δύναμη εἶναι μηδέν.

Παράλληλα ἢ ροτή κάμψης στό ίδιο τμῆμα διατρέπεται σαδερή.

"Αρα τό τμῆμα ΓΔ τῆς δοκοῦ καταπονεῖται σὲ καθαρή κάμψη, πράγμα πού επιμαίνει ὅτι μπορῶ νὰ δεωρήσω τὸν δοκὸ ΓΔ πού

στὰ ἄκρα της νὰ ἐφαρμόζονται τά ζεύγη +M καὶ -M (=P.a)

Κάθε διατομή τῆς δοκοῦ παραμένει ἐπίνεδη καὶ κάθετη στὴν οὐδέτερη γραμμή μετά τὴν παραμόρφωση, σύμφωνα μὲ τὴν παραδοχή τοῦ Bernoulli.

"Υστερα ἀν' αὐτά, ἢ τάση· 6 δά εἶναι:

$$\sigma = \frac{M}{J} \cdot y = \frac{M}{W}$$

ὅπου J ἡ ροτή ἀδρανειας τῆς διατομῆς ὡς πρὸς τὴν οὐδέτερη γραμμή, y ἡ ἀπόσταση τῆς τυχούσας ίρας ἀν' τὴν οὐδέτερη γραμμή καὶ W ἡ ροτή ἀντίστασης τῆς διατομῆς.

είτε ακρώτατες ήτος διά εμφανιστούν οι μέγιστες τάσεις:

$$\sigma_0 = - \frac{M}{J} \cdot e_0 = - \frac{M}{W_0} \text{ και } \sigma_u = + \frac{M}{J} e_u = + \frac{M}{W_u}$$

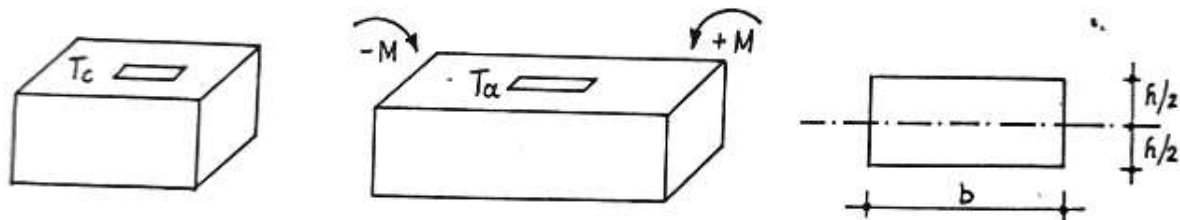
όπου e_0 , e_u η απόσταση της ουδέτερης γραμμής από την ανώτατη διαθέσιμη η την κατώτατη έφελκυσμένη αντίστοιχα ήταν.

Θα ζητήσουμε να μετρήσουμε την τάση σε μέρη βούδια των ταινιών επιμηκύνεως στην περιοχή της καθαρής κάμψης.

Πρώτη μέθοδος

Θα ζητήσουμε την τάση σε μία μία ήταν, που απέχει από την ουδέτερη γραμμή $h/2$.

Γι' αυτό τοποθετούμε μία ένεργη ταινία Τα στην ακρώτατη ήταν που απέχει $h/2$ από την ουδέτερη γραμμή (εφόσον είναι δυνατή η κόλληση της ταινίας στη δέση αυτή)



Τοποθετούμε και μία ταινία αντιστροφής T_c σε ένα άλλο τεμάχιο από τό ίδιο υλικό, τό ίδιο ομαδικό σε μέρη καταπονεῖται. Τότε η τάση σε διά είναι:

$$\sigma = \varepsilon \cdot E = \frac{1}{K} \cdot E \cdot \left(\frac{\Delta R}{R} \right)$$

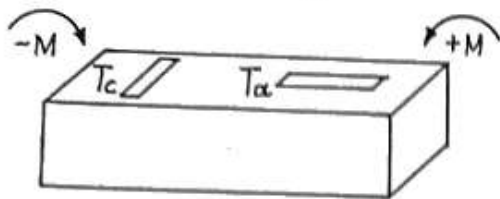
και η τιμή της M :

$$M = \sigma \cdot \frac{J}{h/2} = \varepsilon \cdot E \cdot \frac{J}{h/2} = \frac{1}{K} \cdot E \cdot \frac{J}{h/2} \cdot \left(\frac{\Delta R}{R} \right)$$

Δεύτερη μέθοδος

Αντιστροφούμε την ενανθεκτική και συνεπώς την τιμή της μετρουμένης μεταβολής της αντιστροφής από τοποθετούμε την ται-

via αντισταθμίσεως Τc πάνω στό τεμάχιο πού καταπονεῖται και σ' είδην κάθετη πρός τήν ένεργο ταινία Ta.



την τάση στην ταινία σ' είναι:

$$\sigma = \frac{1}{K} \cdot \frac{E}{1+\mu} \left(\frac{\Delta R}{R} \right)$$

η αντίστοιχη,

$$\sigma = \frac{2}{K} G \left(\frac{\Delta R}{R} \right)$$

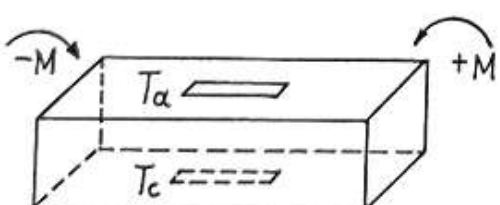
Και η τιμή της M:

$$M = \frac{2}{K} G \frac{J}{h/2} \left(\frac{\Delta R}{R} \right)$$

Τρίτη μέθοδος

"Αγ όντηνομες γ' αντισταθμίσουμε τις παρασίτες ένέργειες, που προέρχονται από φαινόμενα έφελκυνσης ή κάμψης πρέπει να ποδεύσουμε τήν ταινία αντισταθμίσεως Τc σε μια αντικείμενη δέσην ώς πρός τήν ένεργο ταινία Ta.

Η μέθοδος αυτή έχει εάν αποτελείται ένισης τόν διπλασιασμό της εύαεθησίας στή μέρη. Ο χρόνος αυτός μετρήθεις χρημοποιεῖται σε πάθον πού παρουσιάζουν μικρό πάχος.



Η τάση σ' είναι:

$$\sigma = \frac{1}{K} \cdot \frac{E}{2} \left(\frac{\Delta R}{R} \right)$$

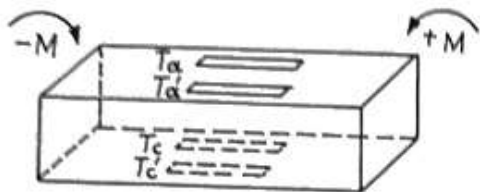
$$\text{Και } \eta M = \frac{1}{K} \cdot \frac{J}{h} E \left(\frac{\Delta R}{R} \right)$$

Τετάρτη μέθοδος

Τελικά είναι δυνατό να περιλαμβανόμεις τήν εύαεθησία αν

χρησιμοποιήσουμε τεσσερες τανίες έπιμηκύνσεως οι οποίες θα το ποδευθούν ανά δύο σεις δέσμη των άκρων τάξην.

Στην περίτωση αυτή, με σκέψης άραλογης πρός την προσγόνη μέθοδο, η τιμή της τάξης είναι:



$$G = \frac{1}{K} \cdot \frac{E}{4} \cdot \left(\frac{\Delta R}{R} \right)$$

$$\text{και } \tauης M = \frac{1}{K} \cdot \frac{J}{2h} \cdot E \cdot \left(\frac{\Delta R}{R} \right)$$

Πείραμα υπολογισμού όρδων τάξεων με τανίες έπιμηκύνσεως.

Περιγραφή συσκευής

Για την μέτρηση των όρδων τάξεων που ανατίθενται σε μια άμειψης δοκό που υπόκειται σε καθαρή καμψη διατίθενται στο Εργαστήριο Αντοχής γηικών:

- a. Μια γέφυρα εξισορροπήσεως ηλεκτρικής αντιστάσεως
- b. Δύο δοκίμια-δοκοί όρθογωνικής διατομής διαστάσεων $b/h = 25/3 \text{ mm}$.

Η γέφυρα ανορεγεῖται από τα ξύλινα μέρη:

1. "Ενα διακόπτη που χρονοδοτεί τη συσκευή με ένα λαβασθέντο ρεύμα για τη λειτουργία της. Όταν η συσκευή είναι σε λειτουργία άναψε ένα κόκκινο λαμπάκι που φωτίζει τον διακόπτη.

2. "Ένα μικρομηχανέριο έφοδιασμένο με δύκτη, η απόκλιση του οποίου παριστάνει την μεταβολή της έντασεως του ρεύματος που είναι συνέπαια της μεταβολής της αντιστάσεως που παρουσιάζεται σεις τανίες έπιμηκύνσεως λόγω καταπονήσεως του δοκίμιου.

3. Δύο κουμπιά για τὸν μιδενιέμο τοῦ μιλλιαμπερομέτρου, ἐνα για μεγάλες μετακινήσεις τοῦ δέκτη και ἐνα για μικρές, ἔτει ὡς ὁ μιδενιέμος να εἶναι ἀπόλυτος.

4. Ἐνα βαθμολογημένο ροοστάζη, οἱ ὑποδιαιρέσεις τοῦ ὄποιου πολ/ζόμενες μὲ τὸν κατάλληλο συντελεστὴν K , παριστάνονται τὴν ἀντικαταστατικὴν τῶν ταυτιῶν ἐπιμηκύνεως εἰς μη/μ. Ο ὑπολογιέμος τοῦ K γίνεται ὡς ἔξι: "Η γέφυρα ἔχει οροφής εἰς ταυτιῶν ἐπιμηκύνεως ποὺ δινοται ἀπ' τὸν κατασκευαστὴν εἶναι ὑπολογιζόμενες π.χ. μὲ σταδερά $K_1 = 2,15$, τότε ἡ σταδερά τοῦ ευράματος γίνεται $K = 2,00 \times \frac{2,00}{2,15} = 1,86$

5. Ἐνα μικρό κουμπάκι ποὺ ὑπάρχει κάτω ἀπ' τὸ μιλλιαμπερόμετρο πρέπει να πατιέται συνέχεια ὅπαν θέλουμε να πετύχουμε τὸν μιδενιέμο τοῦ μιλλιαμπερόμετρου, εἴτε αὐτὸς γίνεται μὲ τὰ δύο κουμπιά μιδενιέμοι του (πρὶν ἀπ' τὴν φόρτιση), εἴτε μὲ τὸ ροοστάζη (μετά τὴν φόρτιση).

6. Ο ροοστάζης συνοδεύεται ἀπό ἐνα σύρτη ὁ ὄποιος ἀκινητοποιεῖ τὸν βαθμολογημένο δέκτη για να μὴ μεταβληθεῖ ἀπό κατὰ θάδος σκούντημα ἢ ἔνδειξη ποὺ δαί πάρουμε.

7. Ἐνας διακόπτης μὲ μορφὴ δέκτη κάτω ἀπ' τὸ ροοστάζη καθορίζει τὴν λειτουργία τῆς γέφυρας ἀνάλογα μὲ τὴν ἀνατυπών τοῦ ευράματος για διάγνωση ἢ ἐφελκυσμό.

8. Τέλος ὑπάρχουν οἱ καταλληλεῖς ὑποδοχές για τοὺς ἀριδέκτες τῶν ταυτιῶν ἐπιμηκύνεως, τόσο για τὴν ἐνεργό ταυτία ὥσο και για τὴν ταυτία ἀντισταθμίσεως.

Ἄπ' τις δύο δοκούς ποὺ ὑπόκευνται δέ καταπόνηται καθαρὸς κάμψης, ἢ μία εἶναι ἀπό χάλυβα μὲ μέτρο ἐλαστικότητος $Ex = 2.100.000 \text{ kp/cm}^2$ και ἡ ἄλλη ἀπό ἀλουμίνιο μὲ μέτρο ἐλαστικότητος $Ea = 725.000 \text{ kp/cm}^2$

Kai oi δύο έχουν τις εξής διαστάσεις:

μήκος $l = 60 \text{ cm}$, πλάτος $b = 2,5 \text{ cm}$ και ύψος $h = 0,3 \text{ cm}$.

Oi zairies épiμπκυνεως pou éinai kollauménes pánw t' aútes
έχouν ártisotixa t' éxihs xarakteristikai.

		Χάλυβας	Άλουμινιο.
1. Mήκος épiμπκυνεως	l_0	10 mm	10 mm
2. Ártisotixa (ηλεκτρική)	R	119,8 Ω	119,9 Ω
3. Σταθερά	K	2,12	2,12

Έκτελεση των πειράματος

"Εσώ ὅτι δέλουμε νά ίνολογίσουμε τις ὄρδες τάσεως που
ἀναπτύσσονται στις κάτω ἵνες μιᾶς ἀμφιέρευσης δοκοῦ ἀπό
χάλυβα που ίνοκεται σέ καδαρή κάμην.

"Η σερά τῶν ἔργασιων που ἀκολουθοῦν, εἶναι η εξῆς.

1. Συνδέουμε τούς ἀκροδέκτες (μαύρους) τῆς ἐνεργοῦ δοκοῦ
και τῆς δοκοῦ ἀρτισταδμίσεως στὶς ἀρτιστοιχεῖς ίνοδοχεῖς τῆς
γεφύρας.

2. Τροφοδοτοῦμε τὴν βιοκενή μὲν ρεῦμα πατῶντας τὸν
διακόπτη (1)

3. Άροῦ ἐλέγχοντες τὸν μηδενισμό τοῦ ροοεζάνη, πιέζοντες
τὸ κουμπάκι (5) και συγχρόνως μὲ τὴν βούθη τῶν κουμπιῶν
(3) μηδενίζοντες τὸ μιλλιαμπερόμετρο.

4. Θέτοντες τὰ ἵσα φορτία τῶν $P = 1.325 \text{ gr}$ πάνω στὴν
ἐνεργό δοκό σέ τὴν ἀποστάσει $(\alpha = 15 \text{ cm})$ ἀπό τις στηρίζεις.

"Ἐφ' ὅσον οἱ ἀκροδέκτες ἀνίκουν στὴν ἐφελκυόμενη περιοχή
τῆς ἐνεργοῦ δοκοῦ ὁ δείκτης τοῦ μιλλιαμπερόμετρου δάκινεται
στὴν δεξική περιοχή και γιά τὴν εξισορρόπηση του δάκινεται
πρέπει ὁ διακόπτης μὲ τὴν μορφή δείκτη κάτω ἀπ' τὸ ροοεζάνη
ναί βρίσκεται στὴν δέση DRUCK (θλίψη).

5. Πιέζοντας τώρα τό κουμπάκι (5), παρατηρούμε ότι δείκνυε τον μιλλιαμπερόμετρον μετακινήσυκε επί σταθερή περιοχή. Με τη βοήθεια μόνον τού βοηθάτοντα μυδενίζουμε πάλι τό αύμενορόμετρο.

6. Διαβάζουμε τέλος την έγδεξην τού βοηθάτοντού είναι 132.

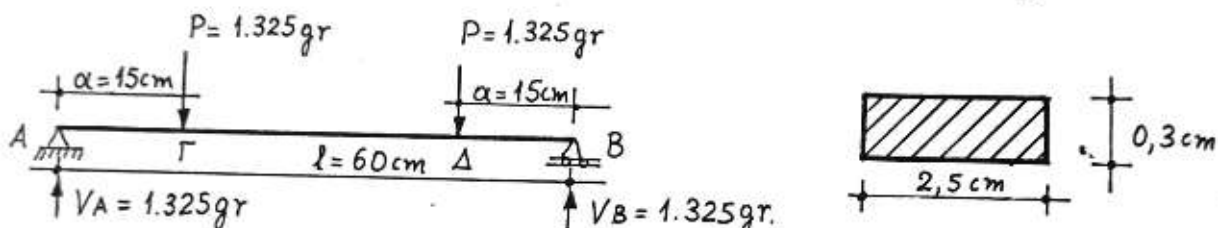
Τώρα άκολουθούμε την έξην σερά ίνολογισμῶν:

Άνηγμένη έπιμηκυνση κάτω ίνας

$$\varepsilon = 132 \times 2,0 \times \frac{2,00}{2,12} \times 10^{-6} = 250 \times 10^{-6}$$

όρδην τάση κάτω ίνας:

$$\sigma = \varepsilon \cdot E = 250 \times 10^{-6} \times 2,1 \times 10^6 \text{ kg/cm}^2 = 525 \text{ kg/cm}^2$$



"Αν θέλαμε να ίνολογισούμε την ορδήν τάση με την θεωρητική μέθοδο ίνολογισμού χωρίς τη βοήθεια τῆς συσκευῆς, διά εἴχαμε αὖτις την έπιμηκυνση τού φορέα,

$$V_A = V_B = 1.325 \text{ gr.}$$

"Άρα: $M_G = M_D = M_{GD} = 1.325 \times 15 = 19.875 \text{ gr.cm} = 19.875 \text{ kp.cm.}$

"Η ροην άντιστασεως τῆς διατομῆς τού φορέα είναι:

$$W = \frac{J}{h/2} = \frac{bh^3/12}{h/2} = \frac{bh^2}{6} = \frac{2,5 \times 0,3^2}{6} = 0,0375 \text{ cm}^3$$

"Άρα η ορδήν τάση πού άναντύσεται επί την κάτω έφελκυσμένη ίνα ($y = \frac{h}{2}$) είναι:

$$\sigma = \frac{M}{W} \left(\frac{\text{kp.cm}}{\text{cm}^3} \right) = \frac{19,875}{0,0375} = 530 \text{ kp/cm}^2$$

ΣΚΛΗΡΟΤΗΤΑ

Η εύνοια τῆς εκληρότητας δέν εἶναι αὐστηρά καθωρισμένη. Κατά τὸν H. Hertz εκληρότητα εἶναι ἡ ὄρδη τάση πού ἀγαντίζεται στὸ κέντρο τῆς κυκλικῆς ἐπιφάνειας ἐπαρῆς δύο συνδιιδομένων ^{ιεων} ^{απὸ τὸ ίδιο, υλικό} εφαρῶν ^{την} στιγμήν πού ἀρχίζει να ἐμφανίζεται πλαστική παραμόρφωση. Η χρησιμοποίηση αὐτοῦ τοῦ ὄριου γιά τὸν καθορισμό τῆς εκληρότητας τῶν ψλικῶν εἶναι μᾶλλον ἀνέγκαιο.

Γιά τὸν πειραματικό ἔλεγχο τῆς εκληρότητας τῶν ψλικῶν παραδεχόμαστε ότι εκληρότητα εἶναι ἡ ἀντίσταση πού προβάλλεται ἀπὸ κάποιο σῶμα στή διείδυση ἄλλου μέσα σ' αὐτό.

Τό σῶμα πού διειδύει δά πρέπει να εἶναι εκληρότερο ἀπ' τὸ δοκιμαζόμενο.

Γιά τὴν μέτρην τῆς εκληρότητας προσδιορίζουμε μόνο τὴν πλαστική παραμόρφωση ἀπ' τή διείδυση τοῦ εκληρότερου σώματος μέσα στὸ δοκίμιο. "Ετοί, γιά τά διάφορα ψλικά" πού παρουσιάζουν διάφορες χαρακτηριστικές ἴδιότητες στὴν ἐλαστική περιοχή, ἔχουμε διάφορες συνδῆται μετρήσεις τῆς εκληρότητας.

Οι μέθοδοι γιά τὴν μέτρην τῆς εκληρότητας εἶναι πολλές καὶ ταί ἀποτελέσματα τῶν μετρήσεων δέν δίνουν μέτρο ἀπόλυτο, ἀλλὰ συγκριτικό. γι' αὐτό δά πρέπει κάθε ἐνδείξη τῆς εκληρότητας να ενοδεύεται καὶ ἀπὸ τά χαρακτηριστικά τῆς δοκιμῆς.

Σύμφωνα μὲ τίς μεθόδους αὐτές χρησιμοποιεῖται ἡ διείδυση στὸν εκληροῦ σώματος στὸ δοκίμιο πού ἔξεταζουμε.

"Ετοί είτε εἰδικές συσκευές, σκληρό ἐμβολό, εἴτε ἀπό εἰδικό χαλύβα, εἴτε ἀδαμάντινο, πιέζεται μέσα στὸ δοκίμιο μὲ καθωρισμένη δύναμη καὶ προσδιορίζεται, εἴτε τὸ βάθος πού προκαλεῖται μὲ καθορισμένη δύναμη, ἢ οἱ διαστάσεις τῆς οὐλῆς ἢ χαραγῆς πού σχηματίζεται ἀπὸ τὴν πλαστική παραμόρφωση τοῦ δοκιμίου, εἴτε ἀκόμα τὸ φορτίο πού ἀπαιτεῖται γιά τή δημιουργία οὐλῆς

η̄ χαραγής καθορισμένων διαετάσεων η̄ βάθους.

Έκπλος αλ̄ τίς στατικές μεθόδους δοκιμῶν εκληρότητας τῶν ίδιων ίνταρχων και οἱ διναμικές μέθοδοι μετρήσεως τῆς εκληρότητας κατά τίς άποιες μετρίεται η̄ περιοχή τοῦ δοκιμίου πού παραμορφώνεται πλαστικά αλ̄ τὴν ἐπιφοράν κάποιου δυναμικοῦ φορτίου.

Σύμφωνα μ' αὐτές, ο̄ διειδνής, πού εἶναι έφαῖρα η̄ άποια-δύνητες αἰχμή πού έχει καθορισμένη κινητική ἐνέργεια, διειδνεῖ μέσα στό εκληρομετρούμενο σῶμα και μετρίεται η̄ πλαστική παραμόρφωση αλ̄ τὴ διείδνην.

Στὴν ηράζη - χρησιμοποιούνται συνήδησις οἱ στατικές μέθοδοι δοκιμῆς και μάλιστα αλ̄ αὐτές ο̄ πρῶτος ψρόνος τοῦ σταθεροῦ φορτίου.

Παρακάτω δά̄ περιοριστοῦμε στὴν περιγραφή τῶν χαρακτηριστικῶν αλ̄ τίς κυριώτερες μεθόδους στατικῆς δοκιμῆς, τῆς δοκιμῆς τοῦ L. Brinell και τοῦ Rockwell, τὰ ἀντίστοιχα μηχανήματα τῶν άποιων ίνταρχων στό Εργαστήριο Αντοχῆς Αγλικῶν.

Μέθοδος Brinell.

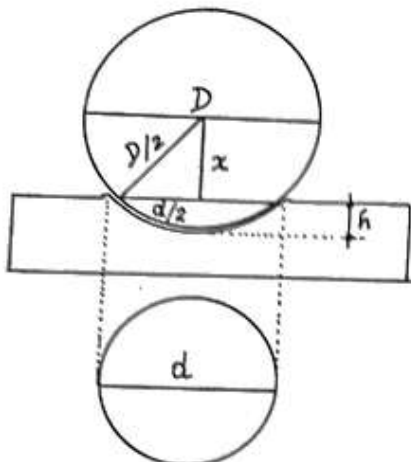
Η στατική μέθοδος πού χρησιμοποιεῖται πιό πολὺ σήμερα γιά τὴ μέτρην εκληρότητας εἶναι η̄ μέθοδος τοῦ Brinell πού έγινε γιά πρώτη φορά τό 1900.

Σύμφωνα μ' αὐτή, μικρή έφαῖρα από πολὺ εκληρό χάλυβα πλέζεται μὲ στατικό φορτίο πάνω στὴν ἐπιφάνεια τοῦ δοκιμίου πού έχει λειανδεῖ κατάλληλα.

Σάν μέτρο εκληρότητας λαμβάνεται τό ἀρῑ μονάδα ἐπιφανείας τῆς έφαυρικῆς οὐλῆς F₀ ἀνηγμένο φορτίο και παρίσταται μὲ BHN η̄ HB. (Hardness Brinnel)

Σύμφωνα μὲ τὴ γεωμετρία τοῦ ξεήματος στὴν ἐπόμενη εξίδα, τό ἐμβαδὸν έφαυρικῆς ἐπιφάνειας οὐλῆς h, πού ἀνήκει

εί εφαίρα διαμέτρου D , είναι $F_o = \pi \cdot D \cdot h$



Τό νύος αντό της εφαρκής έπιφανειας είναι συγχρόνως τό βαθος της ουλής.

Επιδή ομως αντό είναι πολύ δύσκολο να μετρηθεί προεδιορίζεται από τα μεγίστη D και d που μετρούνται εύκολα.

Πράγματι, αν τό όρδογάνιο τρίγωνο, είναι:

$$x = \sqrt{\frac{D^2}{4} - \frac{d^2}{4}} = \frac{1}{2} \sqrt{D^2 - d^2}$$

$$\text{όπως } h = \frac{D}{2} - x = \frac{1}{2} (D - \sqrt{D^2 - d^2})$$

Έπομένων οι χαρακτηριστικοί αριθμοίς εκληρότητας επή μεθόδο αυτής έκφραζεται με τόν τύπο:

$$HB = \frac{P}{F_o} = \frac{P}{\pi \cdot D \cdot h} = \frac{2P}{\pi \cdot D (D - \sqrt{D^2 - d^2})} \text{ kg/mm}^2 \quad (1)$$

όπου D ή διάμετρος τού διεργατού και d ή διάμετρος της ουλής.

Ο αριθμός αυτός έκφραζεται εί ε kg/mm^2 .

Για τήν ενεργή έκτελετη τού περάματος δά πρέπει να συρούνται αντιτρά οι παρακάτω κανόνες.

α. Η εκληρομετρουμένη έπιφανεια να είναι καθετη προς τήν διεύθυνση τού φορτίου και η έπιφανεια αυτή να έχει λειαρδεί καλά με θυρίδα.

β. Τό φορτίο που έπιβάλλεται να είναι συνεχές, ομαλό και χωρίς κρούσεις.

γ. Ο χρόνος που έπιβάλλεται τό φορτίο έπιδρα αρκετά σε αποτελέσματα. Θά πρέπει να είναι αρκετός, ώστε η παραμόρφωση που δημιουργείται από τήν έπιβολή τού φορτίου να έχει τερματισθεί.

Για χάλυψη και σίδηρο η διαρροή αυτή έπέρχεται γρήγορα

και πρακτικά τό ουλικό μετά από 10" βρίσκεται σε πρεμία.

Για τη δημιουργία κανονικών ουλών μέ μικρά βάδη και μικρές υπερχειλίσεις που δέν έμποδίζουν τὸν άκριβη καθορισμό των διαμέτρων τῆς ουλῆς, χρησιμοποιούνται αφ' ἑνὸς μὲν εφαίρευ διαφόρων διαμέτρων, αφ' ξερου δὲ τὰ ἐπιβαλλόμενα στατικά φορτία ποικιλλούν αναλόγως τοῦ πάχους και τῆς οκληρότητας τοῦ εκληρομετρούμενου δοκιμίου

Υπάρχουν τρεῖς διαφοροί διεθνεῖαι διαμέτρων δέκα, πέντε, και 2,5 χιλιοετῶν.

Τὸ φορτίο P ἐκλέγεται ὡς τὸ διάμετρος τῆς ουλῆς γα κυμαίνεται μεταξὺ τῶν ὅριων που δίνονται αὖτις στὴ σχέση:

$$d = (0,2 \div 0,7) D \quad (1)$$

ὅπος τὸ βάδος τῆς ουλῆς δαί εἶναι:

$$h = (0,01 \div 0,15) D$$

Κατὰ τὴν δοκιμή Brinnel ουάρχουν τρεῖς βαθμίδες φορτίσεως.

Σύμφωνα μ' αὐτές καθορίζεται τό φορτίο P αὖτις στὴ χρησιμοποιούμενη διάμετρο μέ μία αὖτις στὶς σχέσεις:

$$P_1 = 30D^2, \quad P_2 = 10D^2, \quad P_3 = 5D^2$$

ὅπου τὸ διάμετρος D λαμβάνεται σε mm και τό P σε kg.

Ετοι μὲ τὶς τρεῖς βαθμίδες φορτίσεως και τὶς τρεῖς διαμέτρους, πεντακαίριουμε ἔννια συνδυασμούς φορτίων P - διαμέτρων D , που εἶναι ίκανοι για τὴν τηρηση τῆς συνδίκης (1) και και τὴν ίκανουοιντική ἐκτέλεση τοῦ περάματος.

Για χάλινβες λαμβάνεται σχεδόν πάντα τὴ μεγαλύτερη βαθμίδα $P = 30D^2$, για ἄλλα μέταλλα τὴ βαθμίδα $P = 10D^2$, και τέλος για μαλακά ουλικά τὴ βαθμίδα $P = 5 D^2$.

Απὸ περάματα ἔχει ἀποδεχθεῖ ὅτι συγκριτικά εἶναι τὰ ἀποτελέσματα μετρήσεων σταθερῆς βαθμίδας φορτίσεως μὲ διεθνεῖτες διαφόρων διαμέτρων, ἐνώ τὴ ἴδια εφαίρα για διαφορες

βαθμίδες φορτίσεως δίνει διάφορες τιμές σκληρότητας.

Γι' αυτό, μετά τὸν χαρακτηριστικό ἀριθμό σκληρότητας, δια-
πρέπει να ἀναγράφονται οἱ ενδῆκες κατώ αὖτις ὅποιες ἔχουν
τὸ πείραμα. Οἱ ενδῆκες αὐτές εἶναι:

- α. Ἡ σχέση φορτίου - διαμέτρου (βαθμίδα φορτίσεως), π.χ. 30
- β. Ἡ διάμετρος τοῦ διεισδυτοῦ, π.χ. 10 mm
- γ. Ὁ χρόνος ἐλιθολής τοῦ φορτίου π.χ. 15 sec.

Έτσι, ενημορίζουμε π.χ. HB 300 (30/10/15)

Για τὴν ἴκανοποιητική ἀπόδοση τοῦ περάματος πρέπει τὸ φορτίο
P καὶ ἡ διάμετρος τοῦ διεισδυτοῦ να ἔκλεγοῦν κατά τέτοιο χρόνο
ῶστε ἡ περιοχή πλαστικῆς παραμορφώσεως, πού ἀνατίθεται επὶ^{τούτης}
γενοντιάς σῆς οὐλῆς, να μήν επηρεαζεται ἀπό γενοντικές ἀσυνέχει-
ες καίδες φύσεως. Σὰν ἀσυνέχειες θεωροῦμε εἴτε τὴν κατώ ἐπιφά-
νια τοῦ δοκιμίου, εἴτε τὰ παραπλευρά εύνορα τοῦ δοκιμίου, εἴτε
τέλος τὰ εύνορα γενοντικῆς οὐλῆς.

Ἄν πάρουμε τὰν δεδομένο ὅτι κατά τὴν δοκιμασία μὲν ερα-
πα ἔχουμε οὐλές μεγάλων διαστάσεων, ἔπειται ὅτι ἡ μέθοδος Brinell
εἶναι κατάλληλη μᾶλλον για παχιά δοκίμια.

Ἐξ' ἄλλου, ἐνεδήν ὁ διεισδυτής εἶναι εφαῖρα ἀπό σκληρό χά-
λυφα σκληρότητας περίου 450 kp/mm², ἔπειται ὅτι μέντη μέθο-
δο αὐτή δὲν μποροῦμε να σκληρομετρήσουμε ὑλικά πού εἶναι σκλη-
ρότερα αὖτις παραπάνω ἀναφερομένη σκληρότητα.

Απεναντίας δά πρέπει να περιοριζόμαστε σὲ τιμές σκληρότητας
πολὺ χαμηλώτερη αὖτις, ὑστερεῖτε να εἴμαστε βέβαιοι ὅτι δὲν δά
παραμορφώδει πλαστικά ὁ διεισδυτής.

Έτσι, μέντη μέθοδο Brinell μποροῦμε να μετρήσουμε σκληρό-
τητα μέχρι 400 kp/mm²

Κατά τὴν δοκιμή Brinell ἡ ἀπόσταση μεταξύ τῶν οὐλῶν
δά πρέπει να εἶναι τέτοια, ὡστε γύρω ἀπό κάθε οὐλή, τὸ ὑλικό

ναί μήν εἶχε υποστεῖ προηγούμενη πλαστική παραμόρφωση
 Η έλάχιστη αυτή απόσταση μεταξύ των οὐλῶν, έτσι πρέπει να
 είναι διπλάσια από τη διάμετρο της οὐλῆς.

Η διάμετρος της οὐλῆς μετρίεται μέτρηση με κατάλληλη διόπτρα μέτρηση
 ακρίβεια 10μ. κατά δυό κάθετες μεταξύ τους διευδύνεις και λαμ-
 βάνεται ο μέσος όρος των μετρήσεων αυτών σαν διάμετρος οὐλῆς.

Σάν χαρακτηριστικός αριθμός εκληρότητας του δοκιμίου, λαμβά-
 νεται ο μέσος όρος τουλάχιστον δύο μετρήσεων.

Άν λάβουμε ώντας ούτι κατά την εκληρομέτρηση δημιουργή-
 ται ετήν συμπιεζόμενη περιοχή γριαζονική έντατική κατάσταση,
 η οποία συνδέεται σταδερά μέτρηση αύτοχη του ίδικου ετήν μονοα-
 γονική έντατική κατάσταση, γι' αυτό μέτρηση δοκιμή Brinnel εί-
 ναι δυνατόν να καθορισθεί μέτρηση μεγάλη προεγγύηση ^{πραγματική τάση} δραύσεως
 σε έφελκυσμό των ίδικων και μάλιστα των χαλύβων.

Η σχέση που συνδέει ^{πραγματική τάση} την δραύσεως σε έφελκυσμό και
 και την εκληρότητα κατά Brinnel (με βαθμίδα φορτίσεως $P=30D^2$)
 είναι της μορφής:

$$6\delta_{p_{np}} = K \cdot HB(30)$$

Όπου ο συντελεστής K εξαρτάται από τα χαρακτηριστικά του
 ίδικου σε έφελκυσμό, καθώς και από τόν Αόγο της τάσεως διαρ-
 ροής σε προς την τάση δραύσεως σε τον ίδικον.

Η τιμή του K κυμαίνεται από 0,30 έως 0,40 αλλά για
 τις πιο συνηδισμένες περιπτώσεις των χαλύβων είναι $K=0,35$.

Η δυνατότητα καθορισμού της αύτοχτης σε έφελκυσμό μέτρηση
 βοήθεια της εκληρότητας είναι πάρα πολύ μεγάλης σημασίας γιατί
 μέτρηση της εκληρομετρήσεως μπορεί ο κατασκευαστής
 γρήγορα, με ασφάλεια και πρό παντός χωρίς να καταστρέψει
 το δοκίμιο, να υπολογίσει προεγγύησικά την αύτοχτη του τεμα-
 χίου που έχει ήδη κατασκευάσει.

Πείραμα σκληρομετρήσεως κατά Brinell.

Περιγραφή τῆς μηχανῆς

Η υπάρχουσα επόμενη έργαστηρίο Αντοχῆς γλικῶν μηχανής σκληρομετρήσεως κατά Brinell διαδέται διεισδυτή από χάλυβα διαμέτρου $D = 10 \text{ mm}$. Τό μέγιστο φορτίο που μπορεῖ να έπιβαλλει είναι 3.000 kg. Ενομένως έργαζεται με βαθμίδα φορτίσεως $P = 30D^2$.

Αποτελείται από δύο βάσεις. Η κάτω είναι σταθερή και όριζότια, ένω ανή επάνω, που φέρει και τὸν διεισδυτή, είναι κινητή.

Πάνω σ' αυτή τὴν κινητή βάση, υπάρχουν ἔκτος αὖτις τὸν διεισδυτή, μία αντλία ἐλαίου και ἕνα μανόμετρο.

Η αντλία λειτουργεῖ με τὴν βούδεα ἐνὸς μοχλοῦ που μέκινην ἄνω - κάτω επελέγεται με πίεση τὸ λαδί, γιατί καὶ ἐφαρμόζεται, επόμενη κατακόρυφα κινούμενο ἔμβολο που φέρει τὸν διεισδυτή, τὴν αὐτονόμην δύναμην P . Συγχρόνως από τὴν υπάρχουσα επόμενη ἔμβολο πίεση τοῦ λαδιοῦ, τὸ μανόμετρο μᾶς δείχνει κατ'εύθυνα τὴν δύναμην που ἐφαρμόζουμε επόμενο δοκίμιο σε' kg.

"Οταν ἐφαρμοθεῖ επόμενο δοκίμιο η δύναμης που χρειάζεται για τὸν εκπιματισμό τῆς οὐλῆς, τότε για τὴν αὐτοφόρτιση τοῦ δοκιμίου χρησιμοποιεῖται μία βαθμίδα που υπάρχει μπροστά επόμενο μανόμετρο, τὸ ἄνοιγμα τῆς ὄνοιας αἴσαιρε ὅπη τὴν πίεση τοῦ λαδιοῦ, έπομένως τὸ μανόμετρο μπενίζεται και τὸ δοκίμιο ἔχει αὐτοφόρτισθαι.

"Όλο αυτό τὸ κινητό συγκρότημα ἔχει τὴν δυνατότητα να κινεῖται κατακόρυφα με τὴν βούδεα μᾶς μανιφέλειας και ὁδοτραχῶν τροχῶν που προβαρμόζονται κατάλληλα σε' δύο μεγάλους κατακόρυφους κοχλίες - ὄδηγούς.

Έκτελεση τοῦ πειράματος

Πλαιρούντες τό δοκίμιο και φροντίζουντες ώστε να έχει τη μορφή όρδογωντος παραλληλεπιπέδου μέ την έπιγάνεια σόου θά συνηματισθεῖ ή οὐλή φρίζοντα και λεῖα.

Τό τοποθετοῦμε επίν ταύτως κάτω σταθερή βάση και μέ τη βοήθεια τῆς μανιβέλας κατεβάζουμε όλο τό κινητό σύστημα πρός ταύτως μέχρις ότου ο διεισδυτής έρθει εξ έπαρη μέ την εκληπτομετρουμένην έπιγάνεια τοῦ δοκίμιου.

Στήν ευνέχεια, ἀφοῦ ἐλέγχουμε τή βαλβίδα ἐλαίου ἃν εἴναι κλειστή, μέ διαδοχικές κινήσεις τοῦ μοχλοῦ πάνω-κάτω, εφαρμόζουμε τήν πίεση τοῦ λαδιοῦ επόν διεισδυτή διαβάζοντας παράλληλα επόν μανόμετρο τή δύναμη πού εφαρμόζουμε επόν δοκίμιο.

"Όταν αὐτή η δύναμη φθάσει μάτι την, ἔστω 2.500 kg. ἀφίνουμε τό φορτίο περίπου 10" να πρεμήσει και διαβάζουμε τήν τελική τιμή τοῦ φορτίου πού δείχνει τό μανόμετρο, ἔστω 2.200 kg.

Ανοίγοντες επίτα τή βαλβίδα ἐλαίου, δύστε τό δοκίμιο ἀποφορτίζεται.

Μέ τή βοήθεια τῆς μανιβέλας ἀνεβάζουμε όλο τό κινητό σύστημα πρός τά πάνω, ἀνελευθερώνοντας επόν τό δοκίμιο.

Τώρα, έχει πιάσι συνηματισθεῖ επίν έπιγάνεια τοῦ δοκίμιου η οὐλή, τή διάμετρο τῆς άποιας μετροῦμε μέ σον ἀκρίβεια μποροῦμε μέ τή βοήθεια ἑνὸς μεγεθυντικοῦ φακοῦ.

Άν υποδέβοντες οὐτη η διάμετρος τῆς οὐλῆς είναι $d = 4,2 \text{ mm}$ ἐλέγχουμε ἃν η τιμή αὐτή βρίσκεται στά έπιζρεπόμενα σόρα καλῆς ἐκτελέσεως τοῦ πειράματος

Μετά τή διαπίστωση οὐτη η εκείνη $d = (0,2 \div 0,7) D$ ισχύει, προβαίνουμε επόν υπολογισμό τῆς εκληπότητας, σύμφωνα μέ τόν τύπο (1) τῆς 6ελίδας 53. "Ετοι θά ένται:

$$H.B = \frac{2 \times 2.200}{3,14 \cdot 10 (10 - \sqrt{10^2 - 4,2^2})} = 151,45 \text{ kg/mm}^2$$

Για τὸν ταχύτερο υπολογισμό τῆς εκληρότητας, υπάρχουν πίνακες οἱ ὄποιοι γιὰ μία ἀριθμένη τιμὴ διαμέτρου τοῦ διεδυτοῦ καὶ ὀρισμένο φορτίο, δίνουν, ἀλιτή διάμετρο τῆς οὐλῆς, κατ' εὐθεῖαν τὴν εκληρότητα.

Ἄν τώρα δελέπονμε νὰ δινηστείσουμε τὴν εκληρότητα τοῦ δοκιμίου ^{πραγματικῆς} μὲ τὴν ἀντοχὴν τοῦ 6ε' ἐφελκυσμό, γιὰ τὸν καθορισμό τῆς ταβεως δραύσεως χρησιμοποιοῦμε τὴν σχέση:

$$\begin{aligned} \delta_{p_{np}} &= k \cdot H.B (30) \\ \text{η} \quad \delta_{p_{np}} &= 0,35 \cdot 151,45 = 53,01 \text{ kg/mm}^2 \text{ περίπου.} \end{aligned}$$

Μέθοδος Rockwell.

Γιὰ τὴν γρήγορη ἐκτέλεση της εκληρομετρίας ποὺ παρουσιάζονται ἡ μία μεταξὺ τὴν. ἄλλη, ἡ μέθοδος ποὺ περιγράφηκε παραπάνω εἶναι ἀκατάλληλη λόγῳ τοῦ μεγάλου χρόνου ποὺ ἀπαιτεῖται γιὰ τὴν προεταμαβία τοῦ δοκιμίου.

Γιὰ νὰ ἀποφύγουμε τὴν ἐπίπονη λείανση στὶς ἐπιγάννες τῶν δοκιμίων ποὺ πρόκειται νὰ εκληρομετρίσουμε, χρησιμοποιοῦμε τὴν μέθοδο Rockwell.

Σύμφωνα μὲ τὴν μέθοδο αὐτή, ὁ διειδυτής εἶναι εἴτε κῶνος εἴτε βραῖρα. Στὴν πρώτη περίπτωση ἡ μέθοδος ἀναφέρεται ὡς Rockwell C καὶ στὴ. δεύτερη ὡς Rockwell B.

Ο διειδυτής πιέζεται στὸ δοκίμιο 6ε' δυό διαδοχικὲς φάσεις μὲ δυό διάφορα φορτία καὶ μετρίεται ἡ διείσδυση ε ποὺ ἀπομένει μεταξὺ τὴν αραιέστερη τοῦ δεύτερου φορτίου ποὺ ἐπιβλήθηκε. Άν τὴν διείσδυσην αὐτή δυναγέται ἡ εκληρότητα κατὰ Rockwell.

Έπομένως στή μέθοδο αυτή, τά φορτία που έπιβαλλονται είναι σταθερά, διάφορα για τις δύο περιπτώσεις και η εκληρότητα είναι συνάρτηση του βάσου ε του διειδυτού, που έχει μετρηθεί με μονάδα μετρήσεως τά 2μ ($= 0,002 \text{ mm}$)

Ο κωνικός διειδυτής είναι άδαμαντίνος και έχει γωνία 120° .

Τό αρχικό φορτίο P_0 είναι 10 kp και τό τελικό $P_1 = 140 \text{ kp}$.
ωστε τό θνολικό φορτίο $P_{0j} = 150 \text{ kp}$

Με κατάλληλο δείκτη μετρίζεται η διείδυση που απομένει μετά την αφαίρεση του φορτίου P_1 , και η διαφορά αυτής απ' την αρχική διείδυση λόγω του φορτίου P_0 δίνει τόν αριθμό ε.

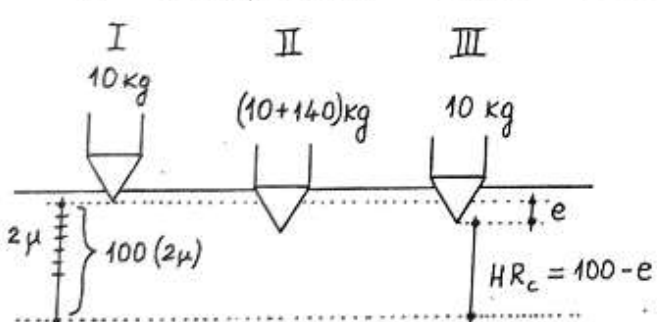
Ο χαρακτηριστικός αριθμός εκληρότητας κατά Rockwell στήν περίπτωση που χρησιμοποιείται δάν διειδυτής κύνος, είναι:

$$HR_c = (100 - e)$$

Ο εφαρπικός διειδυτής είναι από εύδικό χάλυβα διαμέτρου $d = 1/16''$.

Τά φορτία στήν περίπτωση αυτή είναι αντίστοιχα $P_0 = 10 \text{ kp}$, $P_1 = 90 \text{ kp}$ και $P_{0j} = 100 \text{ kp}$.

Η εκληρότητα κατά Rockwell B (HR_B) έκφραίζεται από



τήν διαφορά ε τῆς αρχικῆς διείδυσης με φορτίο P_0 και τῆς διείδυσης που απομένει μετά την αφαίρεση του P_1 οζαν η διαφορά αυτή έκφρασται σε μονάδες $0,002 \text{ mm}$.

Ο χαρακτηριστικός αριθμός εκληρότητας κατά Rockwell B στήν περίπτωση που χρησιμοποιείται δάν διειδυτής βραχίονας, είναι:

$$HR_B = 130 - e$$

Για τήν εκληρομέτρηση στή συγκεντή Rockwell φέρνουμε

τό δοκίμιο καθετά πρός τὸν διειδυτή και σ' ἐπαφή μ' αὐτὸν.

Ἐπιβάλλεται τότε τὸ φορτίο P_0 και η κλίμακα τοῦ εφευρου κυκλικοῦ δίσκου που φέρει τὴν συγκενή τοποδεσίαν στό ο. (μπού).

Μέντον μοχλὸν προστίθεται τὸ φορτίο P_0 και μετρίζεται η ἀπομέτρουσα διείδυση ἡ κατ' εὐθεῖαν ἡ εκληρότητα Rockwell στις ἀντίστοιχες κλίμακες τοῦ ὄργανου για κάθε τύπο δοκίμων.

Και για τὴν δοκιμὴν αὐτὴν ἴσχυον τοις ἕδεις παρατηρίειν ὡς πρός τὴν προετοιμασία τοῦ δοκιμίου και τὴν ἐκτέλεση τῆς δοκιμῆς ὅπως στὴν προηγούμενη μέθοδο, ἐκτὸς ἀπό τὴν κατεργασία τῆς ἐπιφανείας τοῦ δοκιμίου.

Όσον ἀφορᾷ τὸ ἐλάχιστο πάχος τῶν δοκιμίων, αὐτό διὰ πρέπει νὰ εἶναι:

$$h \geq 10 \text{ e}$$

καθε δὲ εκληρομέτρου διὰ πρέπει νὰ γίνεται τοὐλάχιστον μὲ δύο οὐλές.

Οἱ σχέσεις ποὺ συνδέουν τοὺς ἀριθμοὺς $HB(30)$ και HR_c ἢ HR_B εἶναι:

$$HB(30) \cong \frac{7300}{130 - HR_B} \quad (1)$$

$$\text{καὶ } HR_c \cong \frac{1}{10} HB(30) \quad (2)$$

Μέντον βούδεια τῶν σχέσεων αὐτῶν μᾶς, εἶναι εὔκολο νὰ βγάλουμε πάλι συμπεράσματα για τὴν ^{πραγματική} ταύταν δρασίσεως ἔνος ὑλικοῦ. Πράγματι ἀλλ' τὴν σχέση (2) ἔχουμε:

$$HB(30) \cong 10 \cdot HR_c$$

Ἄρα η σχέση:

$$6\vartheta_{pp} = K \cdot HB(30) \text{ μὲ } K = 0,35, \text{ γίνεται:}$$

$$6\vartheta_{pp} = 0,35 \cdot 10 \cdot HR_c \quad \text{ἢ} \quad 6\vartheta_{pp} = 3,5 \cdot HR_c.$$

Πείραμα σκληρομετρήσεως κατά Rockwell.

Περιγραφή μπχανῆς - Έκσελεύη πειράματος.

Η μπχανή σκληρομετρήσεως κατά Rockwell πού υπάρχει στό Εργαστήριο Αντοχῆς Υλικῶν διαδέται δύο είδων διειδυτές.

1. Άπο άδαμαντα μέ βραγροκανική μορφή γωνίας 120°

2. Άπο είδικο χάλυβα μέ βραγρική μορφή διαμέτρου $1/16$ ".

Η κάτω δριζόντια βάση όπου τοποθετείται τό δοκίμιο μπρεί νά κινεῖται κατακόρυφα μέ τή βούδεια ένας μεγάλου άκτινωτού κοχλία πού βρίσκεται στό κάτω μέρος της μπχανῆς. Στό έπάνω μέρος της μπχανῆς πού έιναι σταδερό, προσαρμόζεται ό διειδυτής.

Στό μπροστινό πάνω γυμνά της μπχανῆς βρίσκεται ένας μετρητής πού ό περιεργούμενος δίσκος του έιναι βαθμολογημένος σέ δύο σειρές υποδιαιρέσεων (μαύρες-κόκκινες) μέ βαθμούς σκληρότητας κατά Rockwell. "Όταν χρησιμοποιούμε σάν διειδυτή τόν άδαμαντινό κώνο, τότε διαβάζουμε τίς μαύρες υποδιαιρέσεις, ένω όταν χρησιμοποιούμε σάν διειδυτή τήν καλύβδινη βραγρά διαβάζουμε τίς κόκκινες υποδιαιρέσεις.

Στόν μετρητή υπάρχουν δύο δείκτες. "Ένας μεγάλος και ένας πολύ μικρός.

Στόν πίσω έξωτερικό χώρο της μπχανῆς έιναι κρεμασμένη μιά μεταλλική βέργα πάνω στήν όποια τοποθετούνται σταδιαί τών 60, 40 και 50 kg, έτσι ώστε νά έιναι δυνατοί συνδυασμοί φορτίσεων της τάξεως τών 90, 100 ή 150 kg.

Η μεταλλική αύγινη βέργα αλογελεύ τό ένα άκρο ένως 3υγού, τό άλλο άκρο του όποιον συνδέεται, μέσω ένός περιεργούμενου έξωτερικού μοχλού, μέ τό διειδυτή για νά τόν φορτίσει μέ τό σελικό φορτίο πού άλατεί τό πείραμα.

Για τὸν ἐπιβολὴν τοῦ ἀρχικοῦ φορτίου τῶν 10 kg έστι δοκίμιο πού τοποθετήθηκε στὶ βάση καθετὰ πρὸς τὸν διεισδυτικὸν αἰκονουθεῖται ἡ παρακάτω ἔργασία.

"Οταν ὁ περιερεφόμενος δίκος τοῦ μετρητοῦ τοποθετεῖται στὴν ἔνδειξη μηδέν, τότε, μὲν ὑπερύγων τοῦ δοκιμίου μέσω τοῦ μεγάλου ἀκτινωτοῦ κοχλία, μετά τὸν ἐπαρχή τοῦ δοκιμίου μὲν τὸν διεισδυτικόν, ὁ μεγάλος δείκτης διὰ ἐκτελέσεων 2,7 πληρεύς δεξιόσφορος επροφέλεται τοποθετούμενος στὴν δέση ο, ἐνῷ παράλληλα ὁ μικρὸς δείκτης ἔρχεται ἀριστερόσφορα ἀκριβῶς στὴν ἀκίδα πού τὸν εναρδεύει.

"Αν στὴν ενέχεια περιετραφεῖ δεξιόσφορος ὁ ἔξωτερικὸς μοχλός, τότε ἐπιβάλλεται ὅμαλοι μέσω ὑδραυλικοῦ ενεζήματος τὸ ευνολικό φορτίο πού προβλέπεται για τὴν σκληρομέτρηση. Συγχρόνως ὁ μεγάλος δείκτης τοῦ μετρητοῦ περιερεφεται ἀριστερόσφορα, καὶ παίρνει μιά καινούργια δέση.

Τώρα ἔχει τοποθετεῖται έστι δοκίμιο τὸ ευνολικό τοῦ φορτίο (π.χ. 150 kg).

Μετά ἀπό 5÷6 δευτερότητα ἐπαναφέρουμε ἀριστερόσφορο φορτίο μοχλό στὴν ἀρχική τον δέση, ὅποτε έστι δοκίμιο παρέμενε μόνο τὸ φορτίο τῶν 10 kg, ἐνῷ ὁ μεγάλος δείκτης πῆρε τώρα μιά καινούργια δέση, διάφορη τῆς προηγούμενης πού ἔχει έστι φορτίο τῶν 10 kg.

Η τελικὴ αὐτὴ δέση τοῦ δείκτη, μᾶς δίνει, διαβάζοντας στὶς καταλληλεύ ὑποδιαιρέσεις, τὸν ἀριθμὸν 100-e, ὅπου τὸ ε παριστάνει εἰς μονάδη 0,002 mm τὴν διαφορά τῆς παραμόρφωσης πού παρέμενε μεταξὺ τὴν ἀφαίρεση τοῦ φορτίου τῶν 140 kg καὶ τῆς ἀρχικῆς τῶν 10 kg.

Μᾶς δίνει ἐπομένως καὶ εὑδεῖαν τὴν σκληρότητα τοῦ ὑλικοῦ κατὰ Rockwell.

ΔΟΚΙΜΑΣΙΑ ΣΕ ΚΡΟΥΣΗ ΚΑΤΑ CHARPY.

Καίδε τυπική έρευνα δε' κρούση, γίνεται δέ δοκίμια πού έχουν έγκοπες και καταπονούνται σε κάμψη.

"Αν καὶ οἱ δοκίμες αὐτές δὲν δίνουν καμιά πληροφορία για τὴν σχέση ταύτων - παραμορφώσεων, πού δά μποροῦν να χρησιμοποιηθῆται ἀμέσως στὶς κατασκευές, ἐν τούτοις ὅμως η ἐνέργεια πού ἀπορροφᾶται κατά τὴν δραΐση ἐνὸς κανονικοῦ δοκιμίου δε' κρούση εἶναι μιά πολύ εύαίσθητη ἐνδειξη τῆς μεταλλουργικῆς καταστάσεως τοῦ υλικοῦ.

Οἱ συμβατικοί τύποι δοκιμῶν πού ὑπάρχουν σήμερα εἶναι δύο. Ἡ δοκίμη Charpy καὶ η δοκίμη Izod.

Καὶ στὶς δύο περιττώσει τό δοκίμιο κρούεται μέσα σεύρα πού αἰωρεῖται καὶ προσδιορίζεται η ἐνέργεια κατά τὴν δραΐση. Παρακάτω δά περιοριστούμε στὴν περιγραφὴ τῆς δοκιμῆς κατά Charpy γιατί η συσκευή αὐτή ὑπάρχει στὸ ἔργαστρο.

Στὴ δοκίμη αὐτῇ η ταχύτητα κρούσεως εἶναι μικρή, δηλ. 5,75 m/sec. Ἡ ταχύτητα αὐτή εἶναι πολύ μικρή δε σύγκριση μέτριας ταχύτητος κρούσεως βλημάτων εί δώρακες.

Τό δοκίμιο, πού φέρει έγκοπή, τοποθετεῖται ἀνάμεσα δε δύο στηρίγματα πού ἴστανται αὖτε τὴν έγκοπή καὶ κρούεται μέσα στὰ έκκρεμές στό μέσον, καὶ στὴν ἀντίθετη ἐπιφάνεια αὖτε ξείρη πού φέρει τὴν έγκοπή.

Οἱ έγκοπες εστί δοκίμια Charpy εἶναι, εἴτε σχήματος γωνίας διαφόρων ανοιγμάτων, κυρίως ὅμως 45° , εἴτε σχήματος πού ἀποτελεῖται αὖτε κύλινδρο πού ἐνώνεται μέση πριματικής εξισμής πού τό πλάτος της εἶναι μικρότερο τῆς διαμέτρου τοῦ κυλίνδρου, διόντας τὸ 1923 τὴν εἰκόνα κλειδαρότρυπας.

Η υπαρξη των έγκοπων έχει είναι σκοπό την δημιουργία συγκεντρώσεων τάσεων στό βάθος της έγκοπης και έπομενης την αράντυζη ρωγμής δραύσεως σε προκαθαρισμένο σημείο.

Γι' αυτό πάντας οι έγκοπες τοποθετούνται στό έρελκυόμενο σημείο του καμπτομένου δοκιμίου.

Τό είδικό σημείο κυλινδρικής έγκοπης μετά σχισμής, τό αποκαλούμενο σημείο "όπης κλειδρου", έχει τό πλεονέκτημα, ώς πρός την έγκοπη μέ γωνία, ότι δίνει σταδερώτερη τιμή - συγκεντρώσεων τάσεων στό βάθος της έγκοπης δην ίνδαρχει ή κυλινδρική όπη. "Αλλωστε ή συγκέντρωση τάσεων σε έγκοπη μέ γωνία έχαρταται κατά ένα επιμαντικό μέρος από τον φόρο τελικής κατεργασίας της κορυφής της γωνίας.

Μια αν' τις πιό επονδαίευ εφαρμογές της δοκιμής αυτής των δοκιμών μέ έγκοπες, είναι η δυνατότητα αποδείζεως της τάσεως γαδυροποίησεως όλκιμων χαλίβων πού . Εμφανίζεται όταν η δερμοκραβία δοκιμασίας κατέβει κάτω από την δερμοκραβία περιβάλλοντος.

Μέ την κάδοδο της δερμοκραβίας των όλκιμων χαλίβων παρατηρείται απότομη πτώση της ίκανότητάς των για απορρόφηση ένέργειας, και σε μικρή περιοχή μεταβολής της δερμοκραβίας αυτής, η πτώση αυτή της ίκανότητας είναι επιμαντική, όπως φαίνεται ένδεικτικά στό σημείο.



Μετά τη μεταβασική αυτή περιοχή δερμοκραβίας, η ένέργεια που απορροφάται κατά τη δραγή παραμένει σχετικά σταδερή και αποτελεῖ μικρό μόνο κλάδημα στη ένέργεια που απορροφάται σε υπότερες δερμοκρασίες.

"Ετι, ένω σε υγιείς δερμοκραβίες ή δραύης είναι
όλκιμης μορφής, για χαμπλότερη δερμοκραβίες μεταβάλλεται
σε δραύης γαδυρής μορφής.

Για τούς ολκίμους χάλυβες μποροῦμε να περύχουμε καλύ-
τερες κρουντικές τιμές σε χαμπλές δερμοκραβίες, δηλαδή να
περύχουμε μεγαλύτερη ικανότητα για απορρόφηση ένέργειας, αν:

1. Ο χάλυβας είναι λεπτόκοκκος

2. Βαρεῖ σε όλοκληρωτική βαρή και υποστεῖ στή συνέχεια
κατάλληλη αναγέννηση

3. πρόκειται για χάλυβα χαμπλής περιεκτικότητας σε C και

4. περιέχει είδικές προβρίζεις οπως είναι τό ΝΙΚΕΛΙΟ Κ.Α.

Η δοκιμή Charpy προτιμάται για τό λόγο ότι σε χαμπλές
δερμοκραβίες είναι πιο εύκολη η έκτελεση της.

"Όπως αναφέρθηκε πιό πάνω, η δοκιμή αυτή είναι έντελως
ανδαιρέσι και δεν μπορεῖ να συντεταγθεί με άλλες δοκιμές
ούτε και να έκφραστε τη συμπεριφορά του υλικού στις διά-
φορες κρούσεις που έμφανιζονται στην καθημερινή πράξη.

Έπι ηλέον μικρή μεταβολή στις διατάξεις των έγκοπων
μεταβάλλει σε μεγάλο βαθμό τα αποτελέσματα.

Γι' αυτό η κύρια χρησιμοποίησή της είναι να δείχνει σε
ανδαιρέσι κλίμακα, στην έπιδραση όριμενων μεταλλουργικών
συνθηκών πάνω στην απορρόφηση ένέργειας απ' τό υλικό, υπό^{τη}
σελίως καθοριμένης και είδικές συνθήκες παραμορφώσεων.

"Όμως, έχει αποδειχθεί πρό-έτων, ότι, ένω τό πετραμά
αυτό δεν μπορεῖ να συνδεθεί κατ' εύθετα με σταυρά πε-
ράματα έφελκυσμού, έν τούτοις όμως αν ο ογκός που έχει
παραμορφωθεί προσδιορίζεται και διαιρεθεί με την δική ένέρ-
γεια παραμορφώσεως, η οποία αυτή που θαί προκύψει είναι
περίπου η ίδια, είτε υπολογίζεται με δοκίμιο Charpy

σε κρούση, είτε υπολογιζεται από διάγραμμα πραγματικών τάσεων - πραγματικών παραμορφώσεων σε δοκιμή έφελκυσμού κυλινδρικού δοκιμίου μέ την ίδια έγκοπή, οπως ή έγκοπή του δοκιμίου Charpy.

Τό χαρακτηριστικό μέγεδος που καθορίζεται από τα δοκιμια κρούσεως είναι ο λόγος της ένέργειας που απορροφάται κατά την κρούση - η οποία δίνεται κατ' εύθεταν με την δείκτη του άργανου σε κρ. m ή Joules ($1 \text{ kr. m} = 10 \text{ Joules}$) - πρός την διατομή της έγκοπης του δοκιμίου.

Τό μέγεδος αυτό έχει διατάσσεται kr. m/cm^2 .

Πειραματική δοκιμασίας σε κρούση.

Περιγραφή μπλαντί - έκτασης πειράματος

Σκοπός του πειράματος δοκιμασίας σε κρούση είναι αφενός να γίνεται έρευνη η αντοχή του ύλικου σε κρούση, αφετέρου δέ να γίνεται η βιμερισμός του σε δερμό περιβάλλον και χαμηλή θερμοκρασία.

Η βιμερισμός που διατίθεται στό έργαστηριο αποτελείται από ένα δερματίνιο έκκρεμές που έχει τη δυνατότητα να απωρείται με έλαχιστες ριβές. Στό κ.β. του έκκρεμους υπάρχει ο κρουστήρας με έπιμηκη κυλινδρική μορφή.

Η ανάρτηση του έκκρεμους γίνεται από έναν οριζόντιο άξονα που συρίζεται σε δύο κατακόρυφες κολώνες.

Στή δέσιν ισορροπίας του έκκρεμους και στό γύρο του κρουστήρα υπάρχουν δύο στηρίγματα για την τοποθέτηση του δοκιμίου. Τα στηρίγματα αύτα μπορούν να μετακινούν έτσι ώστε τό έλευθερο μήκος έδρασες του δοκιμίου να αυξομειώνεται κατά βούληση.

Στὸν ὄριζόντιο ἄξονα ἀν' ὅπου ἀναρτᾶται τὸ ἐκκρεμές ὑπάρχει ἔνας κατακόρυφος δίσκος, βαδυλογυμένος σὲ μοῆρη μὲ 0° στὸ κατώτατο σημεῖο καὶ 180° στὸ ἄνωτατο. Η βαδυλογυνη γίνεται καὶ ἀπὸ τοῖς δυού πλευρές.

Ο δίσκος συνοδεύεται καὶ ἀπὸ ἔναν δείκτη ποὺ ἀκολουθεῖ τὴν διεύθυνσην τοῦ ἐκκρεμοῦ μόνον κατὰ τὴν μία φορά (ἀριθμερότερον).

Τό δεξιό ἥμισυ τοῦ δίσκου φέρει καὶ ἄλλη μία συρά ὑποδιαιρέσεων ποὺ δείχνουν καὶ εὑδεῖαν τὴν ἐνέργεια πού ἀλορροφήθηκε κατὰ τὴν δραύση τοῦ δοκιμίου σὲ Joules.

(1 κρ.μ = 10 Joules).

Ἄν δελημε να παρακολουθήσουμε μαθηματικά τὴν ἐνέργεια αὐτή πού ἀλορροφήθηκε, θά κάναμε τοὺς παρακάτω ὑπολογισμούς.

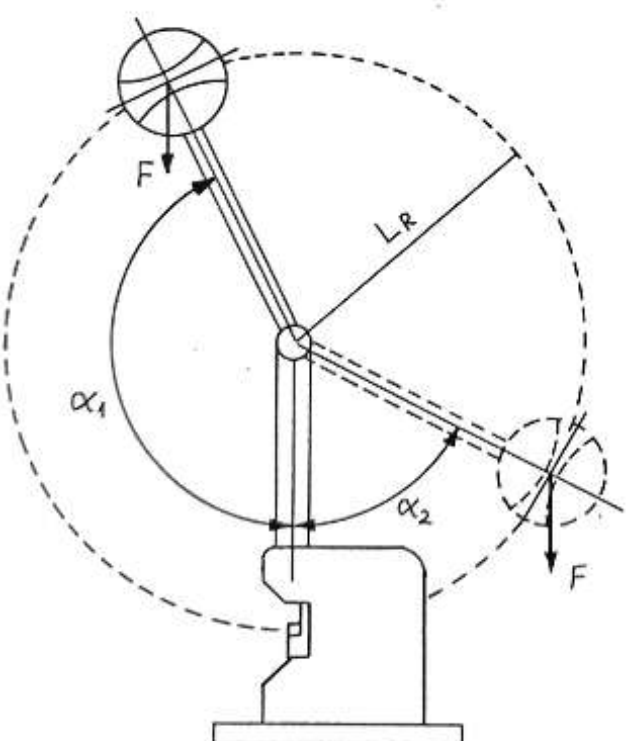
"Εστω L_R ἡ ἀπόσταση τοῦ κ.β. τοῦ ἐκκρεμοῦ ἀν' τῷ σημεῖο ἀναρτήσεως, F τὸ βάρος τοῦ ἐκκρεμοῦ, σι. ἡ γωνία πού εἶχε περιεστραφεῖ πρὶν ἀπὸ τὴν πτώση τοῦ καὶ α_2 ἡ γωνία πού εἶχε περιεστραφεῖ μετά τὴν κρούση.

Η γωνία α_1 εἶναι ἀν' τὸν καταβεναστή έχει ὑπολογισθεῖ ὡστε να ἀντιστοιχεῖ σὲ δυναμική ἐνέργεια κ τοῦ ἐκκρεμοῦ ἵεν μὲ 1,5 κρ.μ (= 15 Joules).

Αὐτή ἡ ἐνέργεια μπορεῖ να γραφεῖ:

$$K = F \cdot L_R [1 + \pi \mu (\alpha_1 - 90^\circ)].$$

Μετά τὴν δραύση τοῦ δοκιμίου, ἡ ἐνέργεια T πού εἶχε



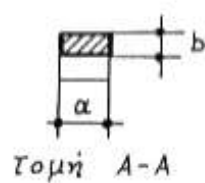
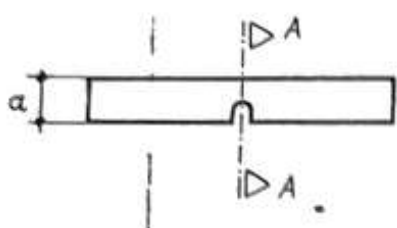
απομένει το έκκρεμές, είναι:

$$T = F \cdot L_R (1 - \alpha_1)$$

"Εποιητική" ένέργεια που χρησιμοποιήθηκε για τη δράση, είναι:

$$E = K - T \text{ (kp.m)}$$

Αυτή η ένέργεια διαβάζεται κατ' εύθεαν στην έξωστη βαθμολογημένη κλίμακα του δίσκου.



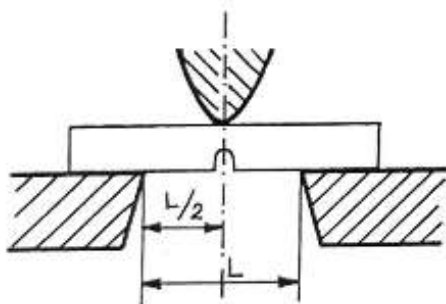
"Εποιητική" ένέργεια $A = a \cdot b$
είναι το έμβαδόν
της διατομής δράσ-
ης που τον υλικού,

το οποίο θα αντοχή του υλικού σε δράση (KCU), είναι:

$$KCU = E/A \text{ kp.m/cm}^2$$

Για την εκτελέση του πυραματού, δένουμε τις συρι-
ζες του δοκιμίου σε απόσταση 30 mm. Εποιητική ένέργεια
τον αυτής της αποστάσεως να ευμπίπτε με την ψροχία
του κρουνετήρα του έκκρεμούς.

Θέτουμε τον δίσκο του δίσκου σε δέση 1,5 kp.m (15 Joules).



Κάνουμε μια δοκίμια του
έκκρεμους χωρίς δοκίμιο για
να ξέρουμε τον μηδενισμό.
τον δείκτη (διά πρέπει χωρίς
δοκίμιο $\alpha_1 = \alpha_2$). Αν είναι

απαραιτούμε, ρυθμίζουμε τη δέση του δείκτη με εναν
κατάλληλο μικρό κοχλία.

Θέτουμε το δοκίμιο στις συριζες με την έγκοπη
στην έφελκυόμενη σημείωση, εποιητική ένέργεια ή ψροχία του κρου-
νετήρα του έκκρεμούς να ευμπίπτε με την έγκοπη του δο-
κιμίου.

Υγιάνουμε το έκκρεμές στην αρχική του δέση ($K=1,5 \text{ kp.m}$).

Απελευθερώνουμε τέλος τό δικριτές ώστε με την πιώση του να επάσει τό δοκίμιο, και διαβάζουμε κατ' εύθειαν την απορροφητεία ενέργεια.

ΑΝΑΔΙΠΛΩΣΗ

Η δοκιμασία άναδιπλωσης άποκοπή στόν καδορισμό τον βαθμού όλκιμότητας τον ύλικον που πρόκειται να έξεταστει και άνηκει στις καλούμενες τεχνολογικές δοκιμές. Είναι δοκιμασία ούσιωδης επιμασίας και προβλέπεται σαν βασικό στοιχείο της ποιότητας τον μεταλλου, ιδάξιο πρός την άντοχη σε έφελκυσμό και την άνημένη έπιμήκυνση θραύσης. Τά δοκιμια στή δοκιμασία αυτή μπορούν να έχουν μορφή είτε έπιπλων λωρίδων για τη δοκιμή μεταλλικῶν έλασμάτων ή κυλινδρική, όταν πρόκειται για δοκιμής ράβδων σιδήρου.

Η δοκιμή συνίσταται στήν κάμψη τον δοκιμίου "έν γυχρῷ" και στό μέσον του, γίνεται δέ είτε μέχρι θραύσης τον δοκιμίου είτε μέχρι που τά δυό σκέλη του ξέρδουν σε έπαρη.

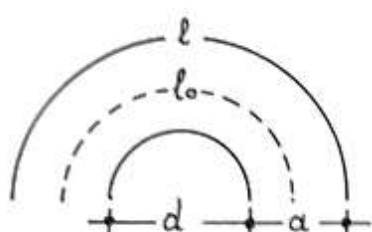
Κατά τή δοκιμή αυτή η έφελκυόμενη έξωσερική ίνα τον δοκιμίου υφίσταται ίσχυρή έπιμήκυνση. "Ετει ἀν τό ὄριο όλκιμότητας υπερβληθεῖ, θά εχηματιετούν στήν έφελκυόμενη ζώνη ρωγμές κάθετες πρός τόν διαμήκη αἴσονα τον δοκιμίου.

Σάν μέρος άντοχής σε άναδιπλωση λαμβάνεται η γωνία κάμψης α κατά την οποία παραγίται η πρώτη ρωγμή.

Για να είναι τά διάφορα άποτελέσματα τών πειραμά-

των μας ευγκρίσιμα, χρησιμοποιούμε τόν λεγόμενο συντελεστή Tetmayer (Bg). Αύτός καθορίζεται ως έξης:

Για πάχος δοκιμίου a , διάμετρο στελέχους (ειαγόνας) d , και l_0 και l ^{μήκος} της μέσης και άκρωτας έφελκυόμενης ίνας θά έχουμε:



$$\frac{l}{l_0} = \frac{\frac{1}{2}\pi(d+2a)}{\frac{1}{2}\pi(d+2\frac{a}{2})} = \frac{d+2a}{d+a}$$

και η ανηγμένη έπιμπκυνση της έφελκυόμενης ίνας είναι:

$$\varepsilon = \frac{\Delta l}{l_0} = \frac{l - l_0}{l_0} = \frac{d + 2a}{d + a} - 1 = \frac{a}{d + a}.$$

Η είκεραζόμενη έπι τοις έκατό δίνει τόν συντελεστή Tetmayer πού οι τιμές του κυμαίνονται μεταξύ 0 και 100.

Για την εύγκριση της δοκιμότητας μιᾶς ευρᾶς δοκιμιών από διάφορα ύλικά, θά πρέπει νά φροντίσουμε, ώστε για οδα τά δοκίμια νά έχουμε τόν ίδιο συντελεστή Tetmayer.

Ο κανονισμός ορίζει ότι γωνία άναδιπλώσεως την γωνία 180° , ταυτόχρονα δέ, για τά διάφορα ύλικά, καθορίζει την σχέση πού πρέπει νά υπάρχει μεταξύ των d και a . Ετσι για χαλυβδόγυψη π.χ. ST 37 I καθορίζει ότι πρέπει νά υπάρχει η σχέση $d = 0,5a$, όπότε ο συντελεστής Tetmayer θά έχει την τιμή 66,67% και έπομένως ένα δοκίμιο από τό ύλικό αύτό θά δεωρούμε ότι άντεχει ικανοποιητικά στη δοκιμή άναδιπλώσεως, εφ' όσον για την παραπάνω τιμή του συντελεστή Tetmayer και γωνία άναδι-

πλωσης 180° , δέν παρουσιάζει στήν έπιφανεία του καμμία ρωγμή.

Ο κανονισμός όριζε επίσης ότι για χαλυβδόφυλλα ST 37 II θα πρέπει $d = 0,5a + 2a$ ή $d = a + 3a$, για όπλισμό εκυροδέματος $d = 2a$ κ.ο.κ.

Οι τιμές του συντελεστή Bg που αντιστοιχούν στις διάφορες τιμές της διαμέτρου d εντίκονται εύκολα απ' τὸν τύπο:

$$Bg = 100 \cdot \varepsilon = 100 \frac{a}{d+a}$$

Ένδεικτικά είναι:

$d =$	0	$0,5a$	a	$1,5a$	$2a$	$2,5a$	$3a$
$Bg = 100$	100	66,67	50	40	33,3	28,6	25

Έκτος από τη δοκιμή αυτή της άναδιπλωσης υπάρχει και η δοκιμή της έπαναληπτικής άναδιπλωσης, η συσκευή της οποίας διατίθεται στο Εργαστήριο Αντοχῆς Υλικῶν. Η χρήση της έπαναληπτικής άναδιπλωσης περιορίζεται βασικά στή δοκιμή της ολκιμότητας τῶν καλωδίων.

Κατ' αυτήν τά δοκίμια από καλώδια η σύρματα υφίστανται έπαναληπτική έναλλακτική κάμυη σε ειδικό μηχανικά που ρυθμίζεται άναλογα με τη διάμετρο του καλωδίου και τού αριθμού τῶν κλώνων του. Μετά μετρεῖται ο αριθμός τῶν έπαναληπτικῶν άναδιπλώσεων μέχρι τή θραύση του καλωδίου ο οποίος και χαρακτηρίζει τήν ολκιμότητά του. Ένδεικτικά αναφέρεται ότι σύμφωνα με τίς προδιαγραφές Λειτουργίας της συσκευής που δίνονται σε λίγα που άκολουθει, ο συντελεστής Tetmayer που αντιστοιχεί είναι 14,29, χωρίς βέβαια να είναι καθοριστικός για κάθε πείραμα, που γίνεται άναλογα με τό ιδικό και τὸν κανονισμό.

Περιγραφή τῆς μηχανῆς.

Η συσκευή έκτελεῖ έπαναληπτικές κάμψεις σε δοκίμια από σύρματα, στό ίδιο πάντα έπίπεδο, έξεταζοντας εἴτε τὴν εύπαθειαν ἢ τὴν ἀντίστασην που προβάλλει τὸ ύλικό μέχρι τὴν δραύσην του.

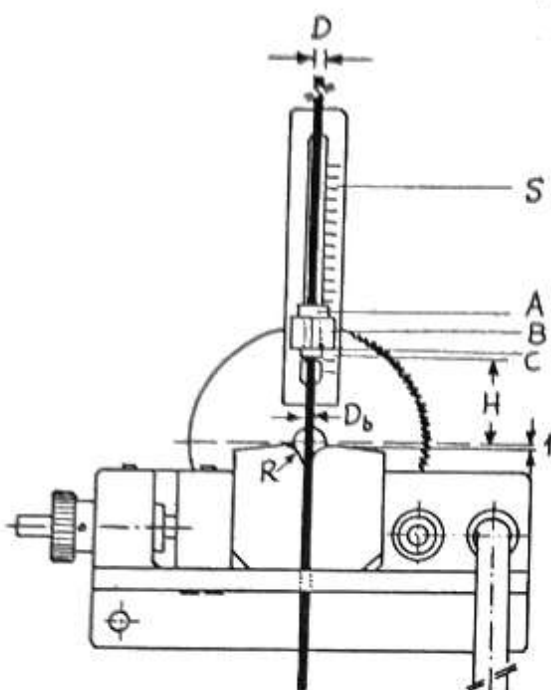
Αποτελείται από έναν μεγάλο οδοντωτό τροχό ὃ ὅποιος μπορεῖ νά περιστρέψεται κατά 180° σε κατακόρυφο έπίπεδο. Κατά μῆκος τῆς κατακόρυφης ἀκτίνας του εἶναι προεταρμοσμένο ἔνα στελέχος S μέ κλίμακα ἀποστάσεων από τὸ κέντρο κάμψης, στή βάση B τοῦ ὅποιου μπορεῖ νά τοποθετείται κοχλιωτά ἔνας οδηγός A μέ κατάλληλη ὅπη διαμέτρου D, ἀνάλογα μέ τὴν ὄνομαστική διάμετρο D τοῦ σύρματος (δοκιμίου).

Στή βάση τῆς συσκευῆς ἀκριβῶς κάτω ἀπ' τὸν οδηγό τοποθετείται ἔνα ζευγάρι σιαγόνων που εφίγγει τό δοκίμιο μέ τὴν βοήθεια ἑνὸς εργαλείου. Οἱ σιαγόνες καταλήγουν σε καμπύλα τμῆματα. Η ἀκτίνα καμπυλότητας τῶν τμημάτων αὐτῶν καθορίζεται σύμφωνα μέ τὸ DIN. 51.211 ἀνάλογα μέ τὴν διάμετρο τοῦ σύρματος.

Η περιστροφή τοῦ οδοντωτοῦ τροχοῦ γίνεται μέ χειροκίνητη μανιβέλλα και μέ συχνότητα ἔνα δευτερόλεπτο γιά κάθε ημιπεριστροφή τοῦ δοκιμίου περίου. Γιά νά εἶναι ἡ συχνότητα αὐτή ἐφικτή σε εκληρά ἢ μαλακά δοκίμια, ύπαρχουν δύο ύποδοχές γιά τὴν τοποθέτηση τῆς μανιβέλλας που δίνουν διαφορετική γωνιακή ταχύτητα περιστροφῆς τοῦ τροχοῦ.

Οἱ διάμετροι τῶν συρμάτων που μποροῦν νά ἔξε-

τασθούν σε άναδιπλωση μέ τη συσκευή αύτή μπορούν νά ποικίλλουν ἀπό 1,5 ἕως 12 mm.



χεῖσα και ἔξαρτήματα τῆς συσκευῆς γιά τή σώστη ἔκτέλεση τοῦ πειράματος.

Προϋπόθεση γιά τήν ἔκτέλεση ἐνός πειράματος σε άναδιπλωση ἐνός συρμάτινου δοκίμου εἶναι νά μή ἔχει ύποτε τοῦτο προγομένως καμμία καμπτική κατάπονη και ὅπωδεδήποτε νά εἶναι εὐδυγραμμισμένο.

Σύμφωνα μέ τὸν παρακάτω πίνακα, ἀνάλογα μέ τήν διάμετρο τοῦ σύρματος καθορίζονται και τά ύποδοιπα στοιχεῖα και ἔξαρτήματα τῆς συσκευῆς γιά τή σώστη ἔκτέλεση τοῦ πειράματος.

D (mm)	S (mm)	D _b (mm)	R (mm)	H (mm)
1,5 - 2	60	2,5	5	20
2 - 3	60	3,5	7,5	25
3 - 4	60	4,5	10	35
4 - 6	60	7	15	50
6 - 8	80	9	20	75
8 - 10	100	11	25	95
10 - 12	120	13	30	115

Οι στῆλες τοῦ πίνακα ἀναφέρονται στὰ παρακάτω στοιχεῖα:

D : ὄνομαστική διάμετρος τοῦ σύρματος.

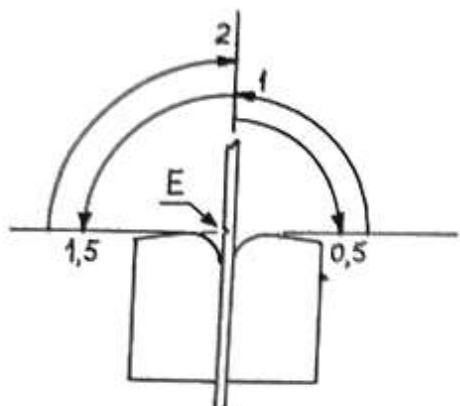
S : ἀπόσταση τοῦ κάτω μέρους τῆς βάσης B ἀπό

τό πάνω μέρος τῶν σιαγόνων.

D_b : διάμετρος τῆς ὅπης τοῦ ὁδηγοῦ A.

R : ἀκτίνα καμπυλότητας τῶν σιαγόνων

H : ἀπόσταση τοῦ κάτω μέρους τοῦ ὁδηγοῦ A
ἀπὸ τό πάνω μέρος τῶν σιαγόνων.

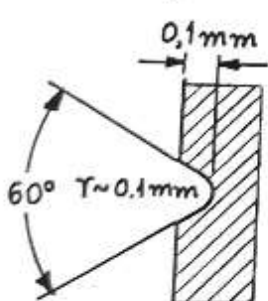


"Ἐνας μετρητής (κοντέρ) που βρί-
βεται πίσω ἀπὸ τὸν ὁδοντωτὸν τροχό^ν
μετράει τὸ πλήθος τῶν ἀναδιπλώσεων
(ῆμιπεριστροφῶν) που ὑφίεται τὸ σύρμα.

'Η ἀριθμητικὴ γίνεται ὡς φαίνεται
ετὸ διπλανὸν σκαριέπμα. Μὲ ἔνα περι-
στροφικό κουμπί που βρίσκεται δίπλα

ετὸν ἔνδειξη ὁ μετρητής μπορεῖ νὰ μηδενιστεῖ.

Ἐίναι δυνατὸν τὸ πείραμα τῆς ἀναδιπλώσης νὰ γίνει
ἄφοῦ προηγουμένως ετὸ συρμάτινο δοκίμιο χαραχθεῖ μιά
ἔγκοπή, ἐτεὶ ὥστε ετὸ σημεῖο ἐκεῖνο νὰ ἔχουμε σταδερώ-
τερη συγκέντρωση τάσεων. Τό δοκίμιο χαράσσεται ἔγκάρεια



μὲ τὴ βούδεια ἑνὸς χαρακτικοῦ ἔργαλείου
που ἐπιτρέπει τὴν δημιουργία χαραγῆς μέ-
γιστου βάδους 0,3 mm (ἐπιτρεπόμενο βάδος
0,1 mm), ὡς φαίνεται ετὸ διπλανὸν σκαρι-
έπμα. Γιά τὸ σκοπὸν αὐτὸν ἀγκυρώνουμε τὸ

σύρμα δέ μιά μέγγενη· καὶ, ἔχοντας τὴν ἀκίδα τοῦ κοπ-
τικοῦ ἔργαλείου ἔγκάρεια ετὸν ἐπιδυμητή δέση, χαράσσουμε
τὸ δοκίμιο μὲ ἔνα σταδερό σύρειμο.

'Ομοιόμορφες ἔγκοπες είναι δυνατὸν νὰ γίνουν ἄφοῦ
κρεμάσουμε ετὸ χαρακτικὸ ἔργαλείο ἕνα βάρος 10 kg.

'Η δέση τῆς ἔγκοπῆς E δέ μετρεται μὲ τὶς σιαγό-

νες τῆς μηχανῆς φαίνεται στὸ πρῶτο ἀκαριόπιμα τῆς προηγούμενης σελίδας

Σύρματα ποὺ ἔχουν μεγάλη εὐαίσθησια στὶς ἐγκοπές συχνά σπάζουν πρὶν ἀπὸ τὴν πρώτην ἢ δεύτερην κάμυν. Στὴν περιπτωσην αὐτή εἶναι ἀπαραίτητο νὰ σημειώνεται ἡ γωνία τῆς κάμυνς γιὰ τὴν ὅποια συμβαίνει ἢ δραύει.

Ἐκτέλεση τοῦ πειράματος.

Ἄροῦ ἐλέγχουμε τὸ δοκίμιο:

- 1) ἂν εἶναι εὐδυγραμμισμένο
- 2) ἂν προηγουμένως ἔχει ύποστεῖ καμπτική παραμόρφωση
- 3) ἂν ἔχει μῆκος τούλαχιστον 30cm,
μετροῦμε τὴν ὄνομαστική του διάμετρο.

Στήν συνέχεια μὲ βάση τὸν πίνακα τῆς σελ. 74, ἢ τὸν συντελεστή Tetmayer ποὺ μᾶς ἔχει δοθεῖ ἢ μᾶς δίνεται ἀπὸ τὸν κανονισμό ἀνάλογα μὲ τὸ ὑπερικό τοῦ δοκιμίου, καθορίζουμε τὰ ὑπόλοιπα στοιχεῖα καὶ ἐξαρτήματα τῆς συσκευῆς γιὰ τὴν ενεργή ἐκτέλεση τοῦ πειράματος μὲ ἢ χωρὶς ἐγκοπή.

Φέρνουμε τὸ στέλεχος τοῦ ὁδοντωτοῦ τροχοῦ κατακόρυφα.

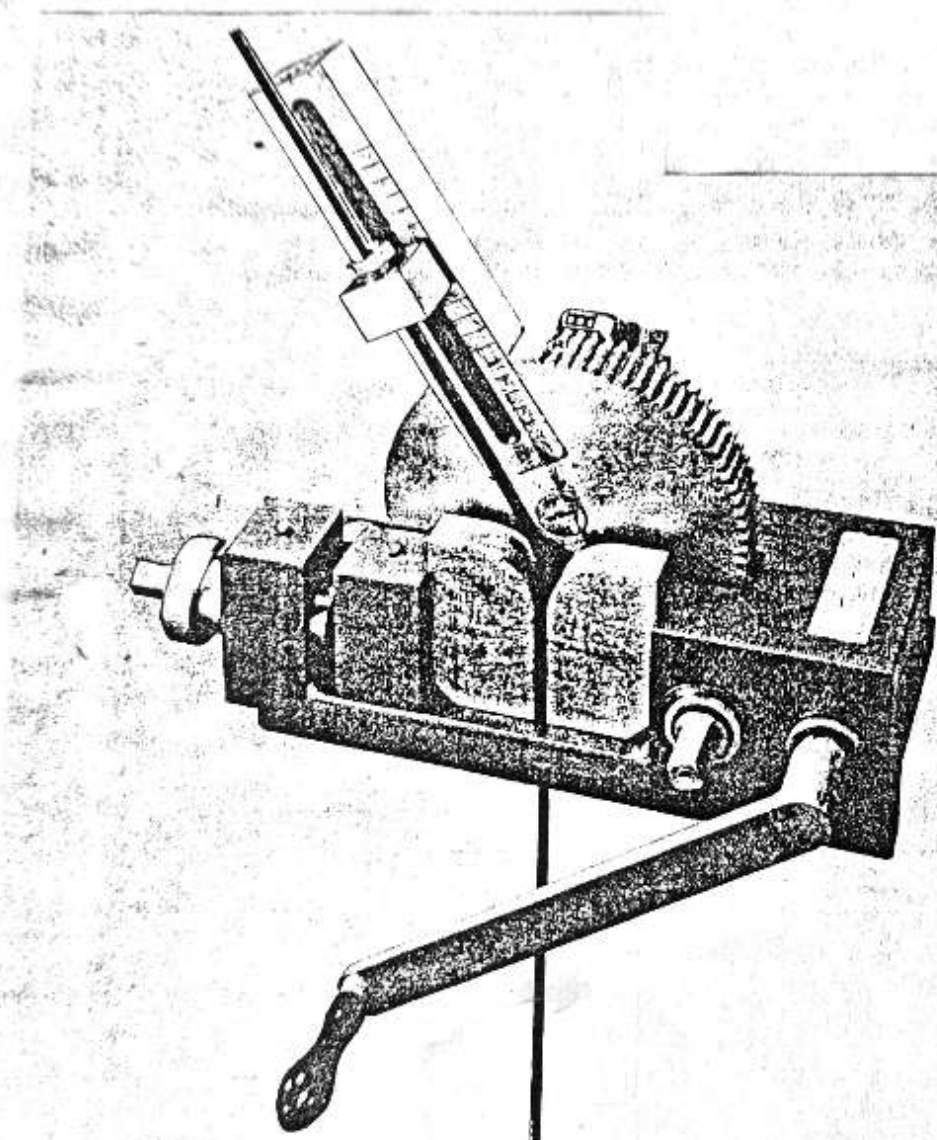
Τοποθετοῦμε τὴν βάση B στὴν κατάλληλη δέση καὶ βιδώνουμε πάνω τὸν κατάλληλο ὁδηγό A.

Περνάμε τὸ σύρμα μέσα ἀπὸ τὸν ὁδηγό καὶ τὸ εφίγουμε μὲ τὶς σιαγόνες ποὺ ἔχουμε ἢδη ἐκλέξει. "Αν ἔχουμε ἐγκοπή φροντίζουμε ὥστε ἢ δέση τῆς νὰ εἶναι στὴν πάνω ἐπιγάνεια τῶν σιαγόνων.

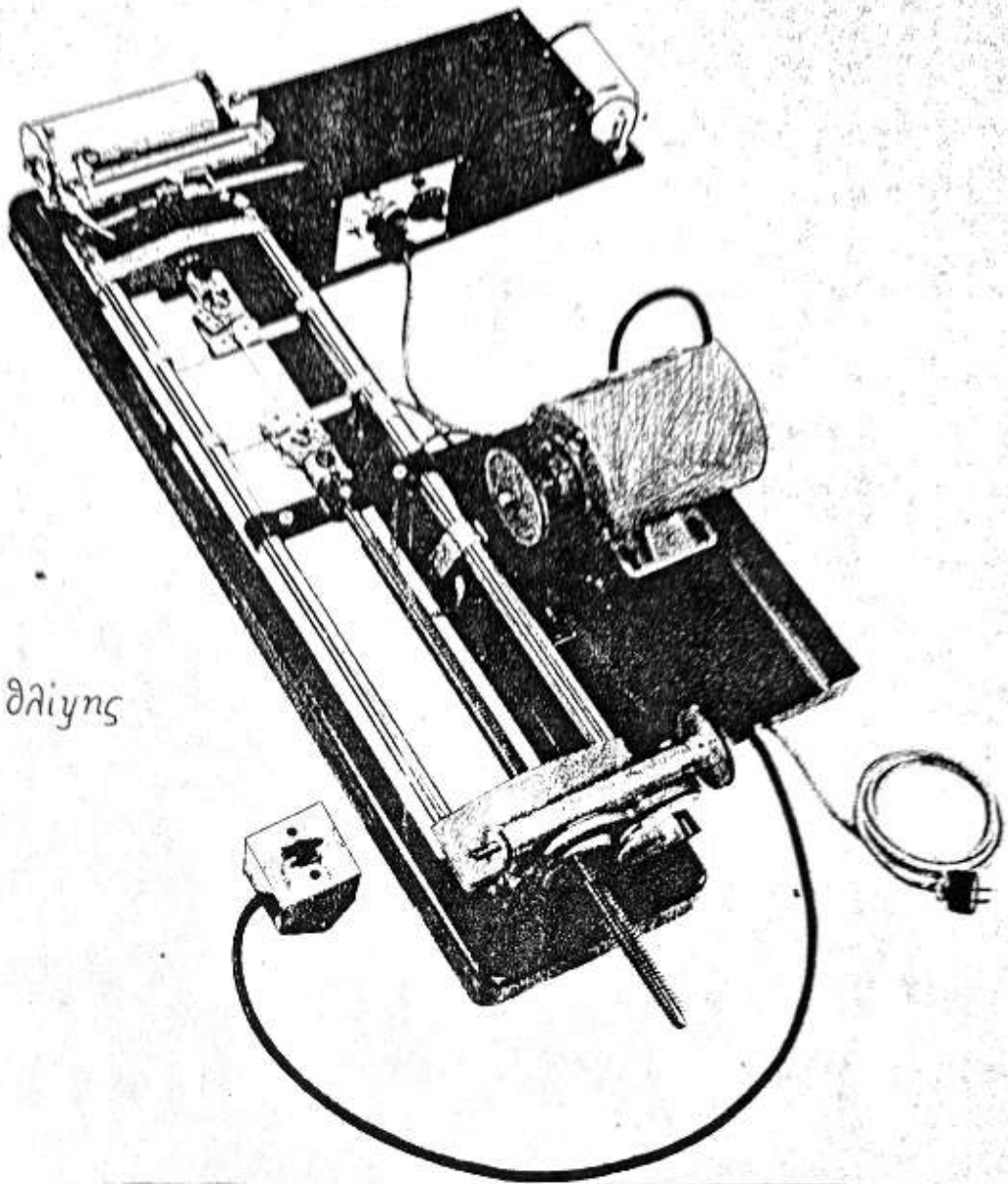
Μηδενίζουμε τὸν μετρητή καὶ μέ τὴν βούθεια τῆς μα-

νιβέλας ετήν κατάλληλη ύποδοχή της ήμιπεριετρέσουμ
τό δοκίμιο με συχνότητα περίου 1 sec/ήμιπεριετροφή.

Ο άριθμός των ήμιπεριετροφών μέχρι τή δραύση
τοῦ δοκιμίου ή ή γωνία δραύσεως κατά τήν πρώτη
ήμιπεριετροφή χαρακτηρίζουν τήν όλκιμότητα τοῦ θλικοῦ
τοῦ δοκιμίου.

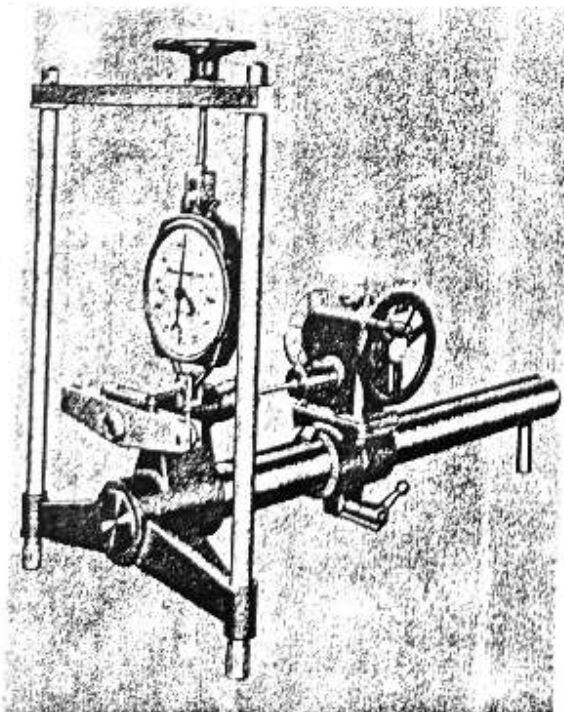


Συσκευή Αναδίπλωσης.



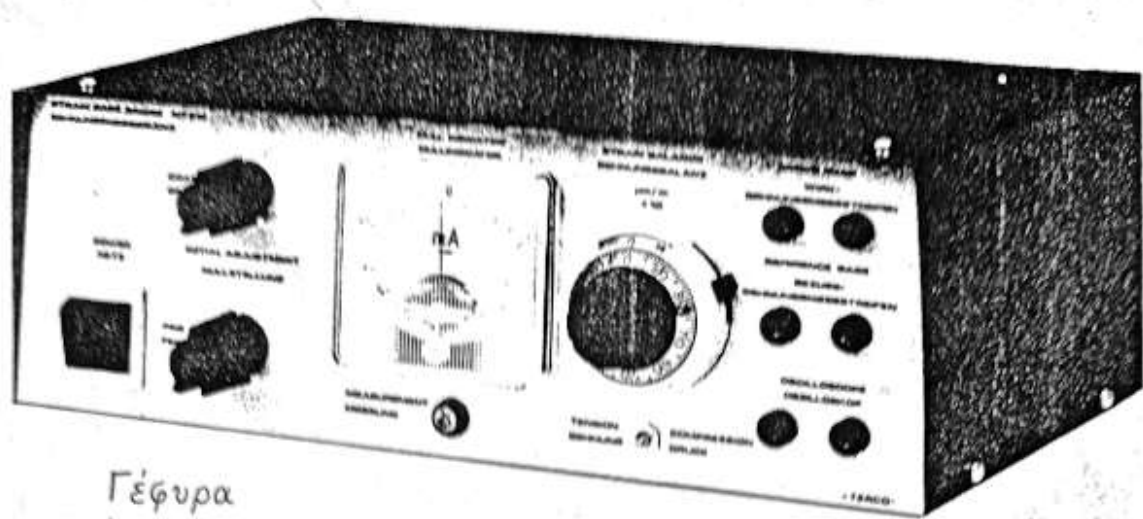
Μηχανή

Έρευνας - θλίψης

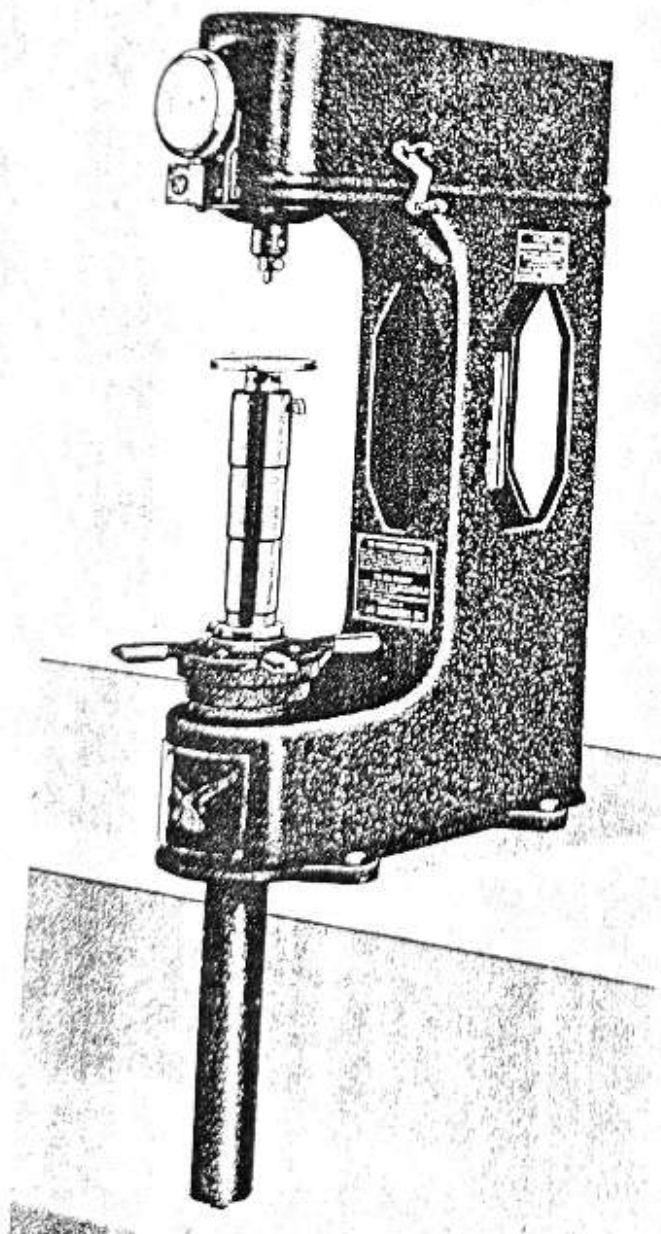


Μηχανή

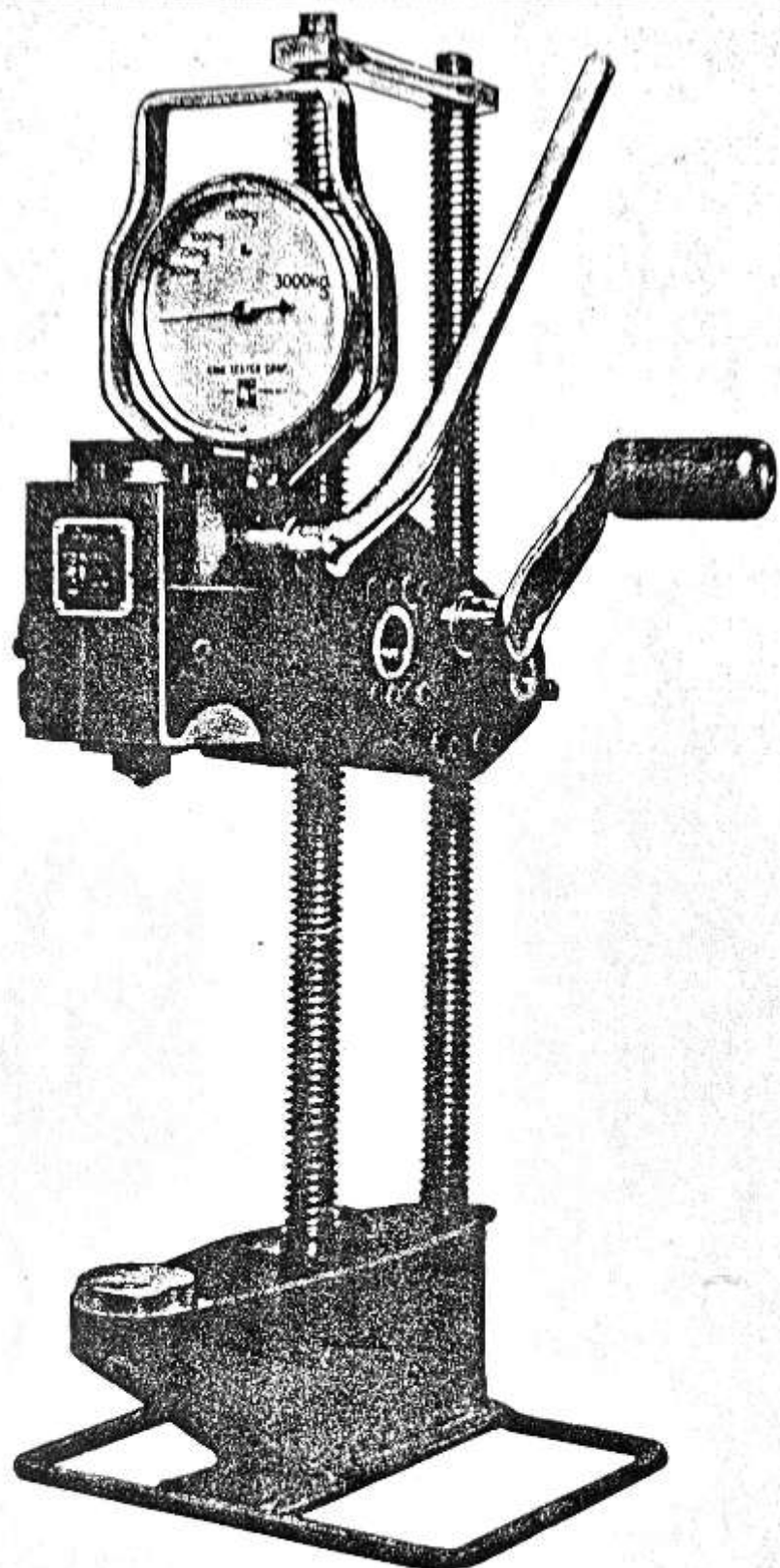
Στρέγης



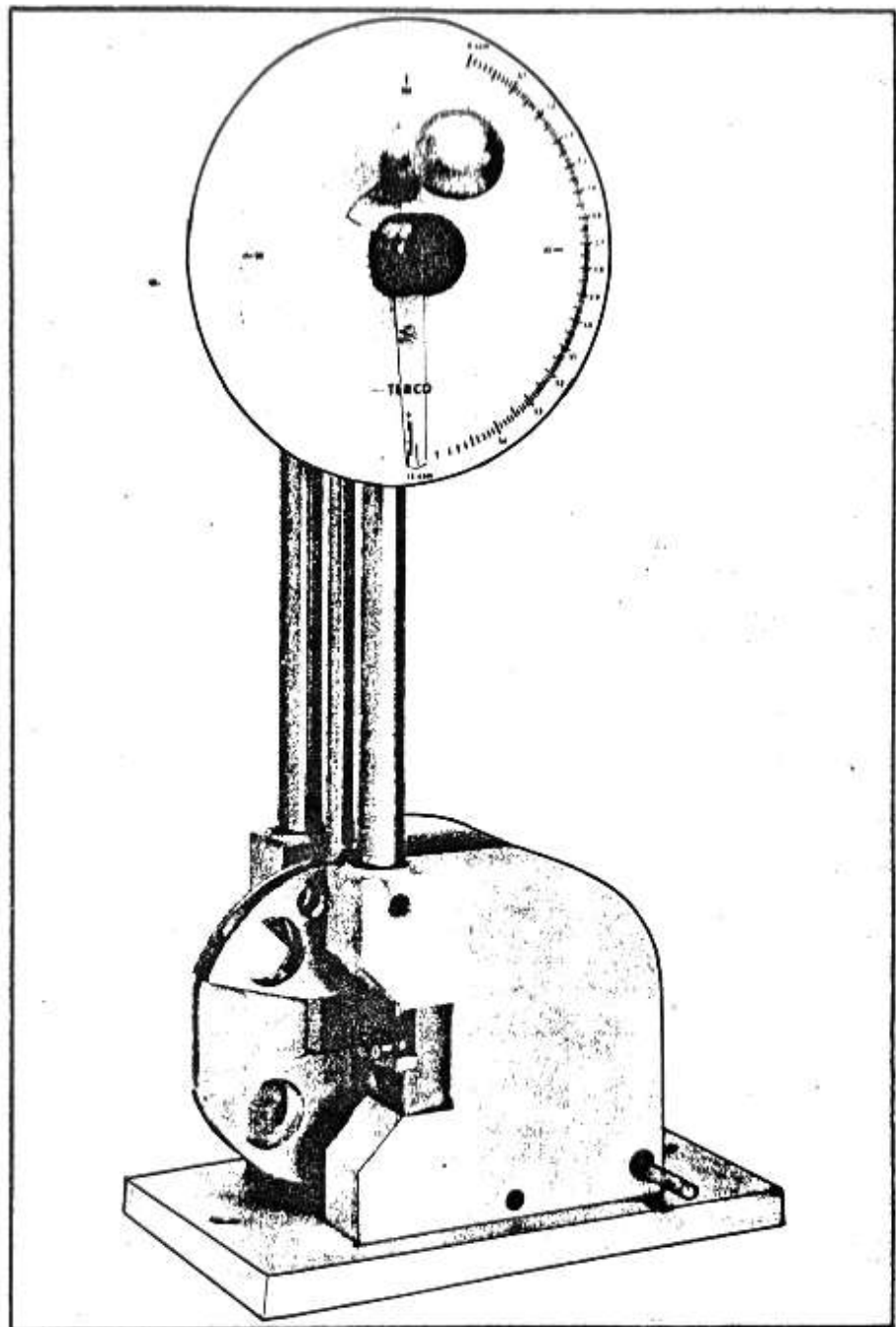
Γέφυρα
Έξιεσπροπότεως ηλεκτρικής αντιετάσεως



Τυπική συσκευή
σκληρομετρίσεως
κατά
ROCKWELL



Συσκευή εκληρομετρίσεως κατά¹
BRINNEL



Συνέκενή δοκιμασίας σε κρούση
κατά CHARPY.